

Prohlášení

Jsem si vědom/a/ toho, že diplomová práce je majetkem školy, že s ní nemohu sám/a/ bez svolení školy disponovat a že může být zapůjčena či objednána za účelem využití jejího obsahu.

Beru na vědomí, že po pěti letech si mohu diplomovou práci vyžádat v Univerzitní knihovně Technické univerzity v Liberci, kde je uložena. Pokud tak neučiním, bude po pěti letech skartována.

(Janek Janík)
podpis

Jméno a příjmení JANA JEREK JANÍKOVÁ

Adresa stálého bydliště JARAZINA 38 dr. Stará Líbovná

06531 , SK

Technická univerzita v Liberci

Textilní fakulta

Fakulta textilná

Glossy - Textilní a strojírenské technologie

Základné - Projektovanie konfekčných výrobkov

Katolícky teologický fakult



Adhezné spájanie textílií latexom

Alena Džavoronková

diplomová práca

1997

TECHNICKÁ UNIVERZITA V LIBERCI

Textilná fakulta

Obor : 31 168 Všeobecná technológia

Zameranie : Projektovanie konfekčných výrobkov

Katedra odevníctva

Adhezné spájanie textilií latexom

Alena Džavoronková

KOD - 335

Vedúci diplomovej práce : Prof. RNDr. Ing. Lumobír Sodomka, CSc., F.A.B.I.

Rozsah práce a príloh

Počet stran : 52

Počet tabuliek : 19

Počet obrázkov : 9

Počet príloh : 5

Fakulta textilní

Katedra oděvnictví

Školní rok: 1996/97

ZADÁNÍ DIPLOMOVÉ PRÁCE

pro Džavoronkovou Alenu
obor 31-16-8 Oděvní technologie
zaměření projektování konfekčních výrobků

Vedoucí katedry Vám ve smyslu zákona č. 172/1990 Sb. o vysokých školách určuje tuto diplomovou práci:

Název tématu: Adhezní spojování textilií latexem.

Zásady pro vypracování :

1. Proveďte literární průzkum adhezního spojování textilií pro konfekční aplikace.
2. Proveďte výběr vhodných textilií a zjistěte jejich významné charakteristiky pro jejich adhezní spojení.
3. Zjistěte charakteristické vlastnosti latexových pojiv.
4. Určete optimální geometrické a fyzikálně-chemické podmínky pro lepení vybraných textilií latexovými pojivy v jedné a více vrstvách v závislosti na jejich orientaci.
5. Proveďte měření mechanických vlastností spojů, vyhodnoťte adhezní energii spojů a ekonomicky zhodnoťte vlastní provedený výzkum.

Rozsah grafických prací: cca 40 grafů

Rozsah průvodní zprávy: cca 40 stran textu

Seznam odborné literatury:

1. Ježková, J.: Adhezní spoje v techn.konf. jejich mechanické a reologické vlastnosti
Diplomová práce, TU Liberec, 1996
2. Sodomka, L.: Energie a adhezní síly uhlíkových vláken a epoxidovou matricí
Plasty a kaučuk 29, 1992, 7/8
3. Foltín : Příručka pro chem.vláknaře

Vedoucí diplomové práce: Prof.RNDr.Ing.L. Sodomka, CSc.

Konzultant: *[Handwritten signature]*

Zadání diplomové práce: 30.10.1996

Termín odevzdání diplomové práce: 30.5.1997



Doc.Ing.Otakar Kunz, CSc.
Vedoucí katedry

Prof.Ing.Jiří Milítký, CSc.
Děkan

V Liberci dne 30.10.1996

Miestopísané prehlásenie :

Miestopísané prehlasujem, že som diplomovú prácu vypracovala samostatne s použitím uvedenej literatúry a s pomocou vedúceho diplomovej práce.

Alena Džavoronková

Alena Džavoronková

V Liberci dňa 30. mája 1997

POĎAKOVANIE

Chcela by som podakovať Prof. RNDr. Ing. L. Sodomkovi, CSc., F.A.B.I. za odborné vedenie a pomoc pri vypracovaní diplomovej práce.

OBSAH

ÚVODNÝ LIST

ZADANIE DIPLOMOVEJ PRÁCE

PREHLÁSENIE.....

str. 1.

POĎAKOVANIE.....

str. 2.

OBSAH.....

str. 3.

ZOZNAM POUŽITÝCH SKRATIEK A SYMBOLOV.....

str. 5.

1. ÚVOD.....

str. 6.

2. CIEL PRÁCE.....

str. 6.

TEORETICKÁ ČASŤ

3. ADHÉZIA

str. 7.

3.1. Úvodná časť.....

str. 7.

3.2. Prehľad teórií adhézie.....

str. 8.

3.2.1. Mechanická teória.....

str. 8.

3.2.2. Teória špecifickej adhézie.....

str. 9.

3.2.3. Teória priamych chemických väzieb.....

str. 12.

3.3. Zhrnutie teórií adhézie

str. 12.

4. LEPENIE.....

str. 12.

4.1. Úvodná časť.....

str. 12.

4.2. Predpoklady lepenia.....

str. 13.

4.3. Štruktúra lepeného spoja.....

str. 14.

4.4. Vplyv lepeného materiálu a lepidla na vlastnosti spoja.....

str. 14.

4.5. Technologické podmienky spracovania lepených spojov.....

str. 18.

5. LATEXOVÉ POJIVÁ.....

str. 20.

5.1. Úvodná časť.....

str. 20.

5.2. Prehľad typov syntetických latexov a ich rozdelenie.....

str. 21.

5.3. Vlastnosti syntetických latexových pojiv.....

str. 22.

5.4. Polyakrylátové disperzie.....

str. 23.

5.5 Aplikačné metódy latexových lepidiel.....

str. 23.

6. POUŽITIE ADHÉZNEHO SPOJOVANIA.....

str. 24.

6.1. Úvodná časť.....

str. 24.

6.2. Odevný priemysel.....	str.24.
6.3. Čalúnický priemysel.....	str.25.
6.4. Obuvnícky a kožiarsky priemysel.....	str.25.
7. MECHANOLUMINISCENCIA.....	str.25.
7.1. Základné pojmy.....	str.25.
7.2. Teória mechanoluminiscencie.....	str.26.
7.3. Javy mechanoluminiscencie.....	str.26.
7.4. Mechanoluminiscenčné materiály.....	str.27.
7.5. Mechanoluminiscencia u kaučukov.....	str.27.
<u>EXPERIMENTÁLNA ČASŤ</u>	
8. CHARAKTERISTIKY TKANÍN A LEPIDLA.....	str.28.
8.1. Všeobecné charakteristiky bavlnených a sklenených tkanín.....	str.28.
8.2. Významné charakteristiky použitých tkanín.....	str.29.
8.3. Charakteristiky lepidla.....	str.30.
9. PRÍPRAVA VZORIEK.....	str.30.
9.1. Úvodná časť.....	str.30.
9.2. Príprava vzoriek pre skúšku pevnosti v ťahu a ťažnosti vystuženej tkaniny	str.31.
9.3. Príprava vzoriek pre skúšku pevnosti spoja vrstiev.....	str.33.
9.4. Príprava vzoriek pre skúšku pevnosti v ťahu a ťažnosti textílie.....	str.34.
9.5. Váženie.....	str.35.
10. MERANIE MECHANICKÝCH VLASTNOSTÍ SPOJOV.....	str.41.
10.1. Popis prístroja.....	str.41.
10.2. Priebeh merania.....	str.43.
10.3. Výsledky merania.....	str.43.
10.4. Zhodnotenie výsledkov merania	str.44.
<i>10.4.1. Skúška pevnosti v ťahu a ťažnosti vystuženej tkaniny.</i>	str.44.
<i>10.4.2. Skúška pevnosti spoja vrstiev.....</i>	str.46.
<i>10.4.3. Skúška pevnosti v ťahu a ťažnosti textílie.....</i>	str.46.
11. EKONOMICKÉ ZHODNOTENIE.....	str.49.
12. ZÁVER.....	str.50.
ZOZNAM LITERATÚRY.....	str.51.
ZOZNAM A ROZSAH PRÍLOH	str.52.

ZOZNAM POUŽITÝCH SKRATIEK A SYMBOLOV

E_{pk}energia polárnych (Keesomových) síl

E_{pl}energia disperzných (Londonových) síl

E_{pd}energia indukčných (Deleyeových) síl

θdotykový uhol

T.....teplota

k_BBoltzmanova konšanta

w_Aadhezná práca

O.....vzorka strihaná po osnove

Ú.....vzorka strihaná po útku

45°vzorka strihaná pod uhlom 45°

$\varnothing M_{lep}$priemerná spotreba lepidla

1. ÚVOD

Adhezné spojovanie je obor na začiatku svojho vývoja. Preto o ňom nie je veľa publikovaného a každý poznatok z tejto oblasti je cennou informáciou. Toto spojovanie poskytuje nové kombinačné možnosti a dovoľuje získať spoje takých tvarov a vlastností, ktoré nie sú dosiahnuteľné bežnými metódami spojovania. Kombinácia klasického a adhézneho spôsobu spojovania nie je vylúčená. Lepenie je vhodné pre upevňovanie veľkého počtu malých súčasťí, vhodnosť použitia lepeného spoja sa ovšem musí pre každý jednotlivý prípad vždy dopredu overiť a hodnoty dosiahnutých pevností porovnať s hodnotami vlastností pôvodného materiálu.

2. CIEĽ PRÁCE

Účelom diplomovej práce bolo určiť optimálne geometrické a fyzikálno - chemické podmienky pre lepenie vybraných textilií latexovými pojivami v jednej a viacero vrstvách v závislosti na ich orientácii a previesť meranie mechanických vlastností spojov. Pretože existuje množstvo tkanín, pre túto prácu boli vybrané dva druhy tkanín : bavlnená a sklenená. K adhézneemu spojovaniu sa použila disperzia styrénakrylátového kopolyméru SOKRAT. K štúdiu mechanických vlastností spojov boli zvolené dve skúšky : skúška pevnosti spoja vrstiev s použitím jednostranne preplátovaného spoja a skúška pevnosti v ľahu a ľažnosti textílie s použitím jednoducho preplátovaného spoja. Pre určenie závislosti optimálnych geometrických a fyzikálno - chemických podmienok pre lepenie textilií latexom na orientácii a počte vrstiev bola zvolená skúška pevnosti v ľahu a ľažnosti vystuženej tkaniny.

TEORETICKÁ ČASŤ

3. ADHÉZIA

3.1 ÚVODNÁ ČASŤ

Vlastnosti pojiv a spojov závisia na mnohých podmienkach, k udržaniu týchto vhodných podmienok vedie aj znalosť teórie adhézie.

Problematika adhézie sa pohybuje v oblasti a na rozhraní niekoľkých vedných odborov ako je chémia, fyzika, fyzikálna chémia, makromolekulárna chémia, elektronika a ďalšie. Hoci štúdiu adhézie bolo venované úsilie, nedá sa konštatovať, žeby dnes existovala všeobecne platná teória adhézie. Preto sa nedajú bezpečne predvídať alebo projektovať vlastnosti spojov a pojených útvarov, aj keď sú známe niektoré vzťahy medzi chemickou povahou a adheznými vlastnosťami a poznáme druhy väzných síl, podmienky ich pôsobenia a ich veľkosť. Podstatu adhezných javov sa pokúsila teoreticky aj experimentálne objasniť rada autorov.

Takto vznikli tieto teórie[1]: **mechanická teória**

- teória špecifickej adhézie**
 - polarizačná
 - elektrostatická
 - difúzna
 - adsorbčná

teória priamych chemických väzieb

Základnou požiadavkou pre vytvorenie pevnej väzby medzi textíliami pomocou adheziva je, aby sa medzi pojivom a textíliou vytvorila pevná väzba (fyzikálna alebo chemická), a aby vrstva pojiva mala dobré mechanické vlastnosti. Súdržnosť celého spoja je daná súladom oboch typov väzných síl : adhezných - pôsobia na rozhraní styčných plôch
kohezných - pôsobia vo vrstve pojiva

ZÁKLADNÉ POJMY

Adhezné spojovanie je proces spojovania súčastí pomocou lepidiel.

Z fyzikálneho hľadiska sa spojovanie lepením vysvetluje pomocou *adhézie* a *kohézie*.

Adhézia [2] je súhrn chemických a fyzikálnych síl, ktorými sa navzájom pútajú častice príbližených materiálov (lepeného materiálu = adherendu a lepidla = adheziva).

Kohézia [2] je mechanizmus, ktorý drží molekuly alebo atómy v homogennej látke pohromade, na druhu a veľkosti kohezných síl závisí fyzikálny stav a mechanické vlastnosti materiálu.

Adhezivo [2] je najčastejšie makromolekulárna látka vhodných deformačných schopností. Sú najlepivejšie v kvapalnom stave, v ňom sa pri lepení používajú. Prevádzajú sa do neho rozpustením, roztavení alebo emulgáciou. Tvarová stálosť spoja zlepenej odevnej súčasti sa dosiahne stuhnutím adheziva. To predstavuje fyzikálnu alebo chemickú zmenu (napr. odparenie rozpúšťadla, tuhnutie, chemická reakcia).

Adhezná práca je práca potrebná k prekonaniu súdržnosti dvoch rôznych povrchov (fázi) o jednotkovom priereze, kvantitatívne vyjadruje adhezné sily.

Pre adhéziu kvapaliny na pevnom povrchu je výpočet adheznej práce :

$$w_A = \gamma_L (1 + \cos \theta) \quad w_A \dots \text{adhezná práca} \quad (3.1)$$

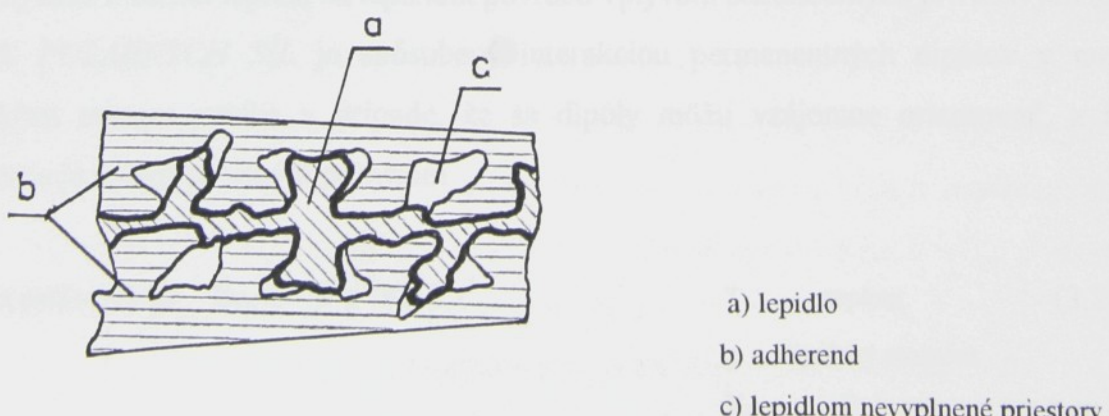
$\theta \dots \text{dotykový uhol}$

$\gamma_L \dots \text{medzipovrchové napätie medzi kvapalinou a plnom}$

3.2. PREHLAD TEÓRIÍ ADHÉZIE [1,2]

3.2.1. MECHANICKÁ TEÓRIA [Mc Bain,D.G.Hopkins]

Vznikla z empiricky zistených vzťahov medzi pórovitostou a veľkosťou adhézie u niektorých materiálov. Vysvetľuje proces lepenia prenikaním tekutého adheziva do pórov zlepovaním materiálov. Po zatvrdnutí lepidla dojde k spojeniu oboch povrchov mechanickými mostíkmi adheziva. Tie sú zakotvené v póroch zlepovaných materiálov.



Obr. 3.1. Prenikanie lepidla do mikropovrchu

[Zdroj : Osten, 1986]

Vychádza z úvah, že prenikanie pojiva je účinné len do takej hĺbky, pokiaľ sily adhézie vztiahnuté na takto zväčšenú styčnú plochu dosiahnú úrovne kohezných síl. Hlbšie prenikanie už k zvyšovaniu pevnosti nevedie. Potvrzuje sa tu iba to, že pevnosť spoja u členitého, pórovitého povrchu je väčšia než u hladkého povrchu. Táto teória dlho neobstála, napr. pre vysvetlenie adhézie lepidiel k nepórovitým materiálom (sklu a kovom) je nepoužiteľná, pretože podľa nej by bolo možné zlepovať len materiály s poréznym povrhom alebo vlákenné materiály.

3.2.2. TEÓRIA ŠPECIFICKÉJ ADHÉZIE

Teória predkladá predstavu o adhézii ako výsledok špecifického vzájomného pôsobenia povrchu dvoch spojovaných plôch (pôsobenie chemických väzných síl, molekulárne, elektrické a difúzne javy na rozhraní dvoch lepených fáz).

a) polarizačná teória [de Bruyn] : zaoberá sa vzťahom adhézie a vzájomnou účinnosťou molekúl lepeného materiálu a lepidla, atómy v molekule sú spojené väzbami :

chemickými (primárne väzby) - iontové

- atómové (elektrokovalentné a kovalentné)
 - kovové

fyzikálnymi van der Waalsove sily (sekundárne väzby) - polárne (Keesomove)
- disperzné (Londonove)
- indukčné (Delyeove)

vznik adhézie má dve fáze:

1. absolutný kontakt molekúl lepidla s molekulami adherendu
 2. zachytenie molekúl lepidla na lepenom povrchu vplyvom sekundárnych príťažlivých síl

VZNIK POLÁRNÝCH SÍL je spôsobený interakciou permanentných dipólov v molekule, interakčná energia vzniká v prípade, že sa dipóly môžu vzájomne orientovať, a že táto orientácia je rušená tepelným pohybom

$$\text{energia polárnych súl } E_{PK} = - \frac{4}{3} \frac{p^4}{K_B T} r^{-6}$$

T teplota (3.2)

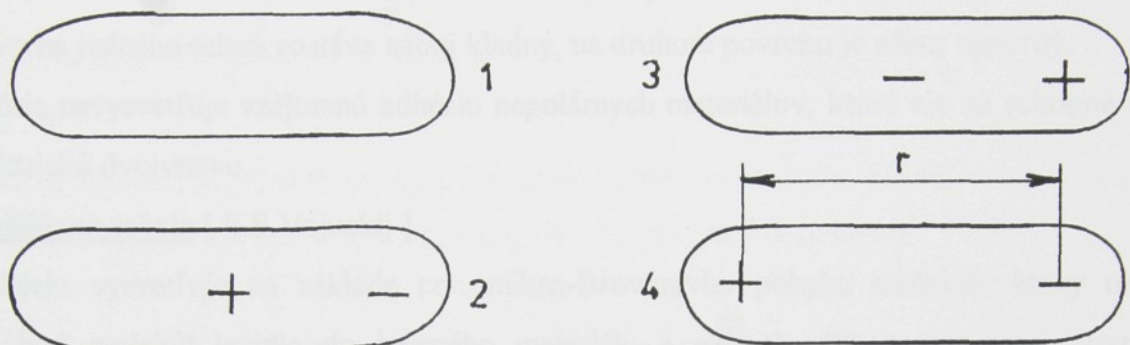
p dipólový moment

K_B Boltzmanova konštanta

r vzdialenosť dipólov

Podľa polohy elektricky aktívnych miest možno molekuly rozlišovať takto:

- a) **nepolárne** - molekuly bez aktívnych miest — 1
- b) **negatívne polárne** - molekuly s aktívne negatívnymi miestami — 2
- c) **pozitívne polárne** - molekuly s aktívne pozitívnymi miestami — 3
- d) **pozitívne a negatívne polárne** - molekuly s aktívne pozitívnymi a negatívnymi miestami — 4



r.....vzdialosť jadier

Obr. 3.2. Polarita látok

[Zdroj : Osten, 1986]

VZNIK INDUKČNÝCH SÍL - každý dipól indukuje v susednej molekule dipól, tým ľahšie, čím je väčšia polarizovateľnosť takejto molekuly

$$\text{energia indukčných síl } E_{PD} = -2a \cdot p^2/r^6 \quad r \dots \text{vzdialosť dipólov} \quad (3.3)$$

a.....súč. indukovanej polarizovateľnosti
p.....veľkosť permanentného dipólu

Indukčné sily sú závislé na asymetrickom rozložení náboja, pre lepenie nemajú väčší význam.

VZNIK DISPERZNÝCH SÍL - vznikajú polarizáciou molekúl, ktoré nemajú permanentné dipoly v dôsledku vibrácií elektrónov, pri ktorej sa nemení vzájomná poloha jadier a elektrónov

$$\text{energia disperzných síl } E_{PL} = -3 \alpha^3 E_0 / 4 r^6 \quad a \dots \text{polarizovateľnosť} \quad (3.4)$$

E₀.....energia ionizačných potenciálov
r.....vzdialosť dvoch atómov alebo molekúl

Disperzné a polárne sily sú veľmi dôležité pre vznik špecifickej adhézie.

Vodíkové mostíky sú zvláštnym prípadom vzájomného pôsobenia dipólov. Vytvára ich vodík, kovalentne viazaný na elektronegatívnych atónoch. Mostíky môžu vznikať medzi molekulami, aj vo vnútri molekúl. Tvorí silnejšie väzby než van der Waalsove sily. Vodíkové mostíky sa významne podielajú na adhézii a kohézii filmu lepidla.

Táto polarizačná teória nevysvetľuje adhezné javy medzi nepolárnymi látkami.

b) **elektrostatická teória** [Derjagin,Krotovová,Morozovová]

Spojenie vysvetľuje elektrickou dvojvrstvou na styčnom povrchu medzi obidvoma fázami (pri úzkom kontakte dvoch nerovnakých polymérov alebo polyméru a kovu dochádza medzi nimi k prechodu elektrónov). Jedna z hraničných vrstiev sa takto stáva chudobnejšou a druhá bohatšou na elektróny, čo vedie podľa teórie k vzniku dvojvrsty, ktorá je akýmsi mikrokondenzátorom. Pri mechanickom oddelení povrchov sa dvojvrstva rozdelí tak, že na povrchu jedného telesa zostáva náboj kladný, na druhom povrchu je náboj záporný.

Teória nevysvetľuje vzájomnú adhéziu nepolárnych materiálov, ktoré nie sú schopné vytvoriť elektrickú dvojvrstvu.

c) **difúzna teória** [S.S.Vojuckij]

Adhéziu vysvetľuje na základe tzv. mikro-Brownovho pohybu molekúl, ktorý umožňuje prechod molekúl lepidla do lepeného materiálu a naopak. Ide o vytvorenie rozptýlenej (neostrej) styčnej vrstvy, v ktorej môžu byť obidva druhy molekúl viazané medzimolekulárnymi silami. Túto teóriu podporuje zistenie, že vplyv tlaku, ktorý difúzii urychlí, zlepšuje tiež spojenie.

Difúzna teória platí za predpokladu, že:

- polymérne látky obsiahnuté v lepidle a lepenom materiále sú rozpustné a navzájom miešateľné
- makromolekuly adheziva a adherendu vykazujú dostatočnú pohyblivosť

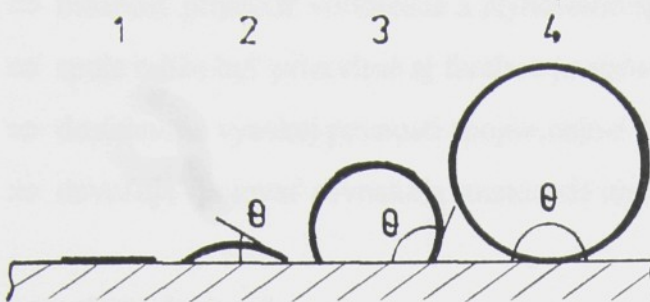
Zo vzťahu medzi účinnosťou a podmienkami, za ktorých došlo ku kontaktu, boli vyvodené tieto závery:

- adhezná účinnosť sa zväčšuje s dobou kontaktu adherendov a lepidla
- zvýšením tlaku sa zväčší plocha kontaktu, tým aj množstvo difundujúcich molekúl
- zvýšením teploty stúpa rýchlosť difúzie molekúl
- molekuly menších rozmerov difundujú rýchlejšie, ale poskytujú len filmy s nižšou kohéziou
- molekuly rozvetvené a kopolyméry s kryštalickou štruktúrou difúzii stážajú a znížujú adheznú účinnosť lepidel

d) **adsorbčná teória** [Sharp,Schonhorn]

Ide o termodynamické úvahy o zmáčaní pevného povrchu kvapalinami. U kvapalin, ktorých molekuly sú v povrchovej vrstve vystavené prevážne jednostrannému pôsobeniu medzimolekulárnych síl z vnútra hmoty, sa na povrchu vytvára „blanka“, ktorá sa snaží zbalit kvapalinu do objemu s čo najmenším povrhom (do tvaru gule).

U pevných látok, ktoré sa nemôžu deformovať, ovplyvňuje voľná povrchová energia roztečenie kvapaliny alebo lepidla po povrchu, čím dochádza k rôznemu stupňu zmáčania.



Obr. 3.3

1 úplné zmáčanie povrchu $\theta = 0$

2 čiastočné zmáčanie povrchu $0 < \theta < \pi/2$

3 málo zmáčaný povrch $\pi/2 < \theta < \pi$

4 celkom zmáčaný povrch $\theta = \pi$

[zdroj : Osten 1986]

Sharpova hypotéza: práca spojená s adhéziou kvapaliny na povrchu pevnej hmoty sa nemení ani vtedy, ak kvapalina prejde v určitom okamžiku do pevného skupenstva.

3.2.3. TEÓRIA PRIAMYCH CHEMICKÝCH VAZIEB

Primárne chemické väzby môžu zaistieť podstatne pevnejšie spojenie molekúl než sily medzimolekulárnej príťažlivosti. Všeobecný význam chemických väzieb ako hlavnej zložky adhéznych sôl neboli preukázany, dá sa priпустiť ich evidentný podiel na adhézii.

3.3. ZHRNUTIE TEÓRII O ADHÉZIÍ

Empirický vývoj v tejto oblasti predišiel teóriu, tá zatiaľ iba dopĺňuje a prispieva aspoň vo vymedzených podmienkach k vytvoreniu modelu, možno sa mu priblížiť pri znalosti teoretických problémov.

4. LEPENIE

4.1. ÚVODNÁ ČASŤ

Tak ako klasická metóda spojovania textilií (=štie) má výhody a nevýhody i lepenie sa vyznačuje svojimi kladmi aj niektorými zápornými činiteľmi. Pri rozhodovaní o type spoja treba zvážiť prednosti a nevýhody lepenia s ostatnými spôsobmi spojovania. Niektoré z vlastností tohto spôsobu spojovania sú :

pozitívne vlastnosti:

- ⇒ nie je narušovaná celistvost' spojovaných dielov
- ⇒ možnosť pripraviť vodotesné a plynutesné spoje
- ⇒ spoje môžu byť priesvitné aj farebne prispôsobené
- ⇒ dosiahnutie vysokej pevnosti spojov, najmä pri namáhaní v šmyku a rázovej húževnatosti
- ⇒ dovoľuje spojovať rovnaké a roznorodé materiály bez ohľadu na ich hrúbku

negatívne vlastnosti:

- ⇒ nerozoberateľnosť spoja
- ⇒ citlivosť voči namáhaniu v odlupovaní
- ⇒ maximálna pevnosť spoja je dosiahnutá po určitej dobe
- ⇒ obmedzená odolnosť voči vyšším teplotám
- ⇒ obmedzenie životnosti reaktívnych lepiacich zmesí
- ⇒ spoj z termoplastických lepidiel je citlivý voči dlhodobému statickému namáhaniu
- ⇒ priemyselné lepenie je náročné na vybavenie pracoviska
- ⇒ vysoké požiadavky na čistotu povrchu lepených dielov a rovinnosť

Pri výbere vhodného lepidla pre daný spoj vychádzame z týchto základných požiadaviek na lepidlo:

- adhézia k lepenému materiálu
- mechanické vlastnosti materiálu
- odolnosť v podmienkach, ktorým bude textília vystavená (chemická odolnosť, pranie, chemické čistenie, poveternostné vplyvy, stárnutie, teplota, atď.)

4.2. PREDPOKLADY LEPENIA

Pre pevnosť lepeného spoja je významná adhézia lepidla k lepenému materiálu a súdržnosť filmu lepidla po stuhnutí alebo vytvrdení (kohézia). Ak je adhézia lepeného spoja väčšia ako kohézia spojovaných materiálov, dôjde pri mechanickom namáhaní k porušeniu materiálu mimo lepený spoj. Ak je kohézia lepeného materiálu väčšia ako adhézia lepeného spoja, dôjde pri mechanickom namáhaní k destrukcii lepeného spoja.

Pre vznik súdržného spoja je potrebné, aby lepený materiál a lepidlo prešli následujúcimi fázami:

- ⇒ lepidlo musí byť nanesené na obe styčné plochy a musí ich v tekutom stave zmáčať
- ⇒ musia byť splnené podmienky k vytvoreniu rovnomenného filmu lepidla v spoji
- ⇒ film lepidla musí v spojovanom mieste stuhnúť a viazať povrch oboch dielov

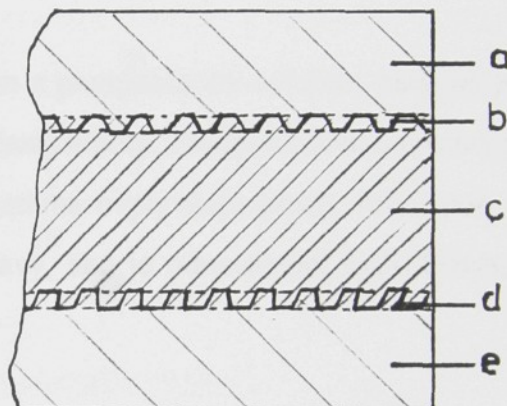
4.3. ŠTRUKTÚRA LEPENÉHO SPOJA [4]

Každý lepený spoj možno považovať za súbor piatich navzájom viazaných vrstiev, kde miera adhézie jednotlivej vrstvy k susedným vrstvám a kohézia samotných vrstiev môže značne ovplyvniť celkovú kvalitu spoja.

Ide o tieto vrstvy:

- a) lepený materiál na jednej strane spoja
 - b) mikrovrstva na jednej strane spoja
 - c) vlastný film lepidla
 - d) mikrovrstva na druhej strane spoja
 - e) lepený materiál na druhej strane spoja
- pre b) a d) platí : v mikrovrstve sa prelínajú lepidlo a nerovnosti (póry) povrchu zlepovaného materiálu

Obr. 4.1. Schéma štruktúry lepeného spoja



[zdroj : Osten 1972]

4.4 VPLYV LEPENÉHO MATERIÁLU A LEPIDLA NA VLASTNOSTI SPOJA. [1]

Na vlastnosti spoja má vplyv ako lepený materiál, tak lepidlo. U lepeného materiálu sú dôležité tieto charakteristiky :

- a) geometria povrchu
- b) zloženie a chemická účinnosť
- c) zmáčavosť
- d) čistota povrchu
- e) priepustnosť pre plyny
- f) hrúbka a tuhost'
- g) súdržnosť povrchu
- h) rozpustnosť a bobtnavosť
- i) teplotná dĺžková roztažnosť

ad a)

U lepených plôch sa rozlišujú tri druhy povrchu :

- *viditeľný povrch*, je daný konštrukčnými rozmermi spoja
- *mikropovrch*, je to teoreticky možná styčná plocha s nerovnosťami a pórmí
- *účinný povrch*, je časťou mikropovrchu skutočne zmáčaného lepidlom

Účinnosť zmáčania mikropovrchu lepidlom je tým väčšia, čím je menšia hĺbka a priemer nerovností

ad b)

Optimálne ovplyvnenie súdržnosti spoja nastáva v prípade autoadhézie, alebo ak sú vhodné podmienky pre vznik chemických väzieb.

ad c)

Ak má kvapalina pevnú látku zmáčať, to je jeden z predpokladov adhézie, musí jej povrchové napäť byť menšie než povrchové napätie zmáčanej hmoty. Predpokladom adheznej aktivity je menší dotykový uhol než 30° . Zmáčavosť negatívne ovplyvňujú prach, tuky, pot. Priaživo zmáčavosť ovplyvňujú niektoré dodatočné úpravy, ako je odmaštanie, hydrofilácia, oxidácia chemickými alebo fyzikálnymi prostriedkami.

ad d)

Jedným z predpokladov dosiahnutia súdržného spoja je maximálny kontakt lepidla s mikropovrhom adherendu. Ak je kontaktná plocha znečistená, nie je možné očakávať dobré výsledky. Lepidlo sa nedostane k povrchu lepeného materiálu, ale len k povrchu nečistoty, takže pevnosť spoja potom závisí na súdržnosti nečistoty s podkladom.

ad e)

Je to dôležitý činitel pri výbere lepidla a pracovného postupu. Je podmienená veľkosťou, počtom a prepojením pórov. Kombinácia pripustného na pripustný adherend a pripustného na nepripustný umožňuje široký výber lepidiel bez obmedzenia tuhnutia v spoji. Varianta nepripustný na nepripustný adherent dovoľuje použiť len reaktívne a tavné lepidlá, ktorých tuhnutie v spoji nie je závislé na vysiakovaní a odparovaní väčšieho množstva rozpúšťadiel.

ad f)

Ak hrubší materiál je aj menej ohybný, klesá zo zväčšujúcou sa hrúbkou adherentov aj pravdepodobnosť deformácie spoja a zvyšuje sa jeho odolnosť v dynamickom namáhaní. Pri spojovaní navzájom ohybných materiálov (tkaniny, fólie) sa vyberie lepidlo s ohybným a vláčnym filmom s komprimisnými vlastnosťami pevnosti v šmyku a odlupovaní. Pri lepení

ohybných alebo pružných materiálov na tvrdý neohybný podklad sa vyberie lepidlo s tvrdým a húzevnatým filmom s maximálnou pevnosťou v odlupovaní a primeranou pevnosťou v šmyku.

ad g)

Materiály s nízkou súdržnosťou nemôžu vytvoriť pevný spoj. Súdržnosť je daná zložením adherendu, jeho štruktúrou, popr. spôsobom povrchovej úpravy.

ad h)

Rozpustnosť adherendu v organických rozpúšťadlách možno výhodne využiť pre aplikáciu rozpúšťadlových lepidiel k lepeniu, pretože dáva predpoklad pre vznik autoadhézie. Rozpustnosť môže byť aj na závadu, napr. pri práci s fóliami, hmotami s penovou štruktúrou.

ad i)

Ak sú lepené dva rovnaké materiály v rovnakom smere štruktúr lepidlom rovnakého zloženia, je zmena rozmerov spoja vyvolaná teplotnou dĺžkovou roztažnosťou minimálna. Ak sú spojované dva rôzne materiály, môže byť ich rozličná teplotná dĺžková roztažnosť príčinou vnútorného pnutia v spáre, ktoré sa môže prejavit' deformáciou súboru, odlupovaním vrstiev alebo popraskaním povrchu.

Na vlastnosti spoja u lepidla majú vplyv tieto charakteristiky :

- a) zloženie a tvar makromolekuly
- b) polymeračný stupeň
- c) viskozita
- d) zásaditosť a kyslosť lepidla
- e) homogenita
- f) objemová
- g) štruktúra a zloženie plniva

ad a)

Podstatou lepidiel sú makromolekulárne látky prírodného alebo syntetického pôvodu. Zloženie makromolekuly, čo do obsahu a pomeru aktívnych skupín na jej reťazci do značnej miery je určujúce pre stupeňadhéziek podkladu, zatial' čo jej konečný tvar je smerodatný pre tepelnú vľivivosť a rozpustnosť lepidla.

ad b)

s rastúcou dĺžkou makromolekúl stúpa viskozita roztoku a kohézia filmu lepidla, adhézia však klesá. Lepidlá, obsahujúce polyméry s nižším polymeračným stupňom lepšie difundujú do

mikropovrchu adherendu, poskytujú však filmy s nižšou kohéziou. Pre správnu funkciu lepidla v spoji je nutná ako vysoká adhézia, tak kohézia jeho filmu, musia byť v lepidle zastúpené vysokomolekulárne a nízkomolekulárne zložky.

ad c)

Viskozita je mierou vnútorného trenia v lepidle. Závisí na obsahu a polymeračnom stupni filmotvornej látky, obsahu a kvalite plniva, na pomere rozpúšťadla k riedidlu a na teplote. Čím je lepidlo viskoznejšie, tým sa horšie nanáša a roztiera. V extrémnom prípade dochádza k nedokonalému zmáčaniu mikropovrchu adherendu.

ad d)

Existuje mnoho lepidiel, kde pre ich výrobu alebo funkciu sú nutné kyslé alebo zásadité katalyzátory, ktoré môžu ovplyvniť akosť povrchovej vrstvy adherendu, týmto aj nepriamo akosť spoja.

ad e)

Homogenita lepidla je základným predpokladom spoľahlivého spoja. Preto je nutné u lepidiel s obsahom nerozpustných prísad a lepidiel viaczložkových ich pred použitím dôladne premiešať. Aby sa všetky zložky lepidla dokonale premiešali, treba zvoliť správne poradie pridávaním plniva a tvrdidla. Tvrnidlo sa väčšinou pridáva ako posledné.

ad f)

Je to zmena, ku ktorej dochádza pri premene tekutého lepidla na tuhý film. Čím vyšší je obsah aktívnych zložiek a paliv, tým menšie sú následné objemové zmeny.

ad g)

Je dôležitá pre tepelné, elektrické, mechanické a chemické vlastnosti spoja. Aplikujú sa organické i anorganické plnivá. Organické plnivá dobre rozvádzajú vnútorné pnutie v lepidle a hodia sa k zahujšťovaniu tmelov. Ďalšou ich prednosťou je mäkkosť. Nevýhodou je, že znižujú vodevzdornosť a objemovú stabilitu filmu lepidla. Anorganické plnivá sa delia do troch skupín podľa štruktúry:

- *s doštičkovou* : zvyšujú konzistenciu zmesi a zhoršujú mechanické vlastnosti spoja
- *s vláknitou* : zvyšujú viskozitu zmesi
- *ostrohranné* : zvyšujú tepelnú či elektrickú vodivosť filmu lepidla

4.5. TECHNOLOGICKÉ PODMIENKY SPRACOVANIA LEPENÝCH SPOJOV [4,5]

- Náleží k nim:
- a) konštrukcia lepených spojov
 - b) predbežná úprava spojovaných plôch
 - c) príprava lepiacich zmesí
 - d) nanášanie lepidla
 - e) tlak
 - f) teplota
 - g) podmienky a doba tuhnutia lepidla
 - h) stav spracovateľského zariadenia

ad a)

Pri navrhovaní a vývoji konštrukčných spojov je najprv vyrobený jednoduchý spoj, jeho vhodnosť sa pre danú konštrukciu preskúša. Veľkosť spoja najsúčasťou odhadujeme na základe údajov o veľkosti spojovaných častí a hrubej predstavy o tom, aký veľký presah je potrebný k prenosu zaťaženia. Takýto predbežný návrh spoja sa ďalej upresňuje a zlepšuje.

ad b)

Chemickou alebo fyzikálnou aktiváciou lepeného materiálu sa podľa potreby zlepšia adhezné vlastnosti.

ad c)

Nie vždy možno lepidlo spracovať priamo v stave v akom bolo dodané (úprava viskozity, odplyňovanie, miešanie s prísadami, atď.)

ad d)

Podmienkou správneho nanášania lepidla sa rozumie rovnomernosť, súvislosť a správna hrúbka nánosu lepidla na jednej alebo na obidvoch styčných plochách spoja. Väčšina lepidiel má optimálne adhezné vlastnosti pri hrúbke nánosu lepidla v medziach 0,05 - 0,25 mm. O tom či má byť námos jednostranný alebo obojstranný, rozhoduje druh lepidla a charakter spoja. Obojstranný námos lepidla je vhodný pri použití rozpúšťadlových a disperzných lepidiel, pri spracovaní kontaktných rozpúšťadlových lepidiel je nutný. Zásadne sa ako prvé v poradí nanáša lepidlo na menej porézny povrch. Jednostranný námos sa používa pri práci s lepidlami reaktívneho typu (dvojzložkové), tavnými a lepidlami citlivými na tlak (lepiace pásky). Množstvo nanášaného lepidla sa udáva v g/m^2 lepenej plochy. Limity sú udávané v medziach 90 - 300 g/m^2 .

Lepidlo musí byť nanesené v takom stave, aby v určitom momente spracovania vytvorilo tekutú rozplývavú vrstvu, ktorá zmáčka póry povrchu.

ad e)

Pôsobenie tlaku na lepenú plochu napomáha fixácií proti posunutiu alebo odlepovaniu lepených plôch a prispieva k rovnomernému rozvrstveniu lepidla po celej ploche spoja, pritom sa súčasne vyrovnávajú menšie nerovnosti podkladu a lepidlo ľahšie prenikne do povrchových pórov.

Chyby, ktorých sa treba vyvarovať:

NADMERNÝ TLAK - lepidlo sa zo spoja môže vytlačiť a vznikne nesúdržný spoj

NEDOSTATOČNÝ TLAK - môže dôjsť k nerovnomernému rozvrstveniu lepidla, čo

vedie k nespôahlivosti spoja z hľadiska pevnosti, u čirých materiálov i k nekvalitnému vzhľadu

ad f)

Lepenie rozlišujeme:

- za normálnej teploty - spoj tuhne pri teplote miestnosti 15 - 25 °C
- za zvýšenej teploty - spoj tuhne pri teplote miestnosti 25 - 100 °C
- za horúca - lepidlo sa v spoji necháva tuhnúť pri teplote viac ako 100 °C

Teplota je účinným regulátorom viskozity lepidla. Zvýšenie teploty urýchľuje vytvrdzovanie a tuhnutie lepidla. Teplotný režim ovplyvňuje kvalitu nánosu lepidla a časový priebeh jeho tuhnutia v spoji.

! pri lepení za vyšších teplôt sa nesmie prekročiť hranica tepelnej odolnosti spojovaných materiálov

! zvýšená teplota nesmie byť príčinou vzniku pnutia medzi dvoma materiálmi s podstatne rozdielnou tepelnou dĺžkovou rozťažnosťou

ad g)

Tuhnutie lepidla v spoji je závislé na jeho zložení, pórovitosti lepených plôch a teplote okolia. U *reaktívnych lepidiel* je príčinou ich tuhnutia chemická reakcia, vyvolaná pridaním tvrdiaceho katalyzátora. U *nereaktívnych lepidiel* (patria tu najmä roztoky a disperzie termoplastických polymérov) je tuhnutie lepidla v spoji podmienené dvoma faktormi: predbežným odparením rozpúšťadla a vsiaknutím rozpúšťadla do pórovitého podkladu.

ad h)

Vznik závad: - opotrebovanými nástrojmi a válcami

- zanesenie zariadenia stvrdnutým lepidlom z predchádzajúcich operácií
- pokles tlaku v lisovacom zariadení
- nerovnomerný prívod tepla a atď.

5. LATEXOVÉ POJIVÁ

5.1. ÚVODNÁ ČASŤ

Názvom „*Latex*“ sa pôvodne označovala mliečna kvapalina vytekajúca z rôznych rastlín, s rozvojom polymeračnej techniky sa tento pôvodne botanický názov preniesol aj na mliečne emulzie syntetických kaučukových polymérov a disperzie plastických hmôr.

LATEX je koloidný systém skládajúci sa z kvapalnej a tuhej fáze = vodná disperzia vysokomolekulárnych polymérov, či už prírodných alebo synteticky vyrábaných.

Vodné disperzie polymérov (latexe) majú zákonitú stavbu, ktorá zahrňuje:

⇒ *vnútornú fázu* = polymér vo forme častic homo alebo kopolyméru

⇒ *vonkajšiu fázu* = voda, emulgátory, ochranné koloidy - stabilizátory, prípadne prímesi termostabilné alebo zmáčacie, zmäkčovadla, penidla, pigmenty, stabilizátory voči UV žiareniu, tepelnému rozkladu, antioxidanty, prípravky k zníženiu horľavosti, antibiotika, antistatické a hydrofobizačné prímesi a iné

Zloženie vonkajšej fáze má vplyv ako na spracovateľské vlastnosti disperzie, tak aj na mnohé vlastnosti stuženého pojiva.

5.2. PREHLÁD SYNTETICKÝCH LATEXOV A ICH ROZDELENIE [6]

rozdelenie podľa povahy monomérov, z ktorých vychádza do štyroch skupín:

I. Syntetické latexy butadienových polymérov,kopolymérov a terpolymérov

butadiénové

karboxylované butadiénové

butadiénstyrénové

karboxylované butadiénstyrénové

butadiénstyrénové s obsahom vinylpyridinu

butadiénakrylonitrilové

karboxylované butadiénakrylonitrilové

butadiénvinylidenchloridové

butadiénpiperylenové

butadién-a-metylstyrenové

II. Syntetické latexy chloropropylénových polymérov a kopolymérov

polychloroprény

karboxylované polychloroprény

kopolyméry chloropénu s akrylonitrilom

III. Špeciálne typy syntetických latexov a vodné disperzie kaučukov

polysulfidové latexy (disperzie)

butylový latex

izoprénakrylonitrilový latex

latexový kopolymér vinylidenfluoridu a fluórovaného propylénu

regenerátové disperzie

rôzne

IV. Syntetické latexy a disperzie plastických hmôt

polyvinylacetátu a kopolymérov

polyvinylchloridu a kopolymérov

polymetylmetakrylátu a kopolymérov

polystyrénu a kopolymérov

polytetrafluóretylénu

polyvinylidenchloridu a kopolymérov

5.3. VLASTNOSTI SYNTETICKÝCH LATEXOVÝCH POJIV

Latexy sú veľmi jemné disperzie polymérov vo vode, disperzia týchto častic je stabilizovaná živičnými mydlami alebo syntetickými povrchovo aktívnymi látkami. Mnohé z latexov majú tak rovnomernú veľkosť častic, že bývajú brané za základné merítko napr. u elektrónového mikroskopu.

Po vsiaknutí a odparení vody dochádza k vytvoreniu súvislého filmu z maličkých polymérnych čiastočiek. K tomuto môže dôjsť len nad tzv. minimálnou filmotvornou teplotou, odlišnou pre rôzne disperzie. Filmy rôznych latexov sa odlišujú vo svojich vlastnostiach. Podľa zloženia polymérov sú filmy od mäkkých lepivých typov až po tvrdé, od kaučukovitých elastických ľažných až po tuhé, neťažné typy filmov. Filmy latexov vysokomolekulárnych polymérov sú po vyschnutí nerozpustné vo vode a elastické.

prednosti latexových lepidiel:

- ⇒ obsahujú nepatrné množstvo hygienicky a požiarne nebezpečných organických rozpúšťadiel
- ⇒ možno ich riediť vodou a vodou možno umývať pracovné pomôcky
- ⇒ nízka viskozita i pri pomerne vysokom obsahu sušiny 50 až 60 %
- ⇒ viskozita nezávisí na polymeričnom stupni polyméru a na vyššej relatívnej molekulovej hmotnosti polyméru
- ⇒ nepodliehajú biologickému rozkladu
- ⇒ spracovávajú sa za normálnej teploty ako jednozložkové lepidlá, teda bez tvrdiacich prísad, prítomná voda sa musí vsiaknuť, preto najmenej jeden z lepených materiálov musí byť porézny a priepustný pre vodnú páru

nevýhody latexových lepidiel:

- ⇒ pomalé zasychanie
- ⇒ horšia zmáčavosť celistvého nepolárneho povrchu
- ⇒ nemožnosť úniku vody z filmu lepidla hydrofóbnou celistvou plochou
- ⇒ menšia počiatočná pevnosť zlepenia, tj. pomalší vývin súdržnosti spoja

5.4. POLYAKRYLÁTOVÉ DISPERZIE

Kopolymérne akrylátové disperzie vyrábajú CHEMICKÉ ZÁVODY SOKOLOV pod označením SOKRAT. Pre lepidlá sa používajú ako vinylacetátkakrylátové, tak styrénakrylátové i čisto akrylátové typy.

K výrobe polyakrylátovej disperzie slúži okolo 30 rôznych monomérov polymerovaných a kopolymerovaných za rôznych podmienok a v rôznych pomeroch. Takže existuje veľmi veľa variácií polyakrylátových pojiv s rovnako početnými variáciami vlastností, a to od rozpustných vo vode až po nerozpustné, od veľmi tvrdých až po extrémne mäkké.

vlastnosti: výborná stálosť na svetle a vzduchu, odolnosť voči ozónu a poveternostným vplyvom, odolnosť voči rozpúšťadlám, vode, starnutiu, dobrá teplovzdornosť, stálosť v namáhaní, hygienická nezávadnosť, mäkký omak, malá trvalá deformácia, vytvára pružné a tažné filmy, lepidlá sú zároveň termoplastické, ovšem so zvýšenou teplotou pevnosti spojov výrazne klesajú

použitie: pre výrobu pojených textilií (impregnácia), v papierenskom priemysle, pre hygienické účely - výrobky na jedno použitie (vysokocenené vložky do prádla a odevov), rôzne technické účely, na úpravu vpichovaných podlahovin

5.5. APLIKAČNÉ METODY LATEXOVÝCH LEPIDEL

1. postup

Disperzné lepidlo, obsahujúce termoplastický polymér dispergovaný vo vode, sa nanesie na tenkostený diel a nechá sa pri otvorenom zostavení celkom zaschnúť. Spoj sa uzavrie a lepidlo sa aktivuje zvýšením teploty za súčasného pôsobenia tlaku na súbor. Tento postup sa označuje ako zažehľovanie. Takto sa spracovávajú textilné materiály a syntetické fólie.

2. postup

Disperzné lepidlo sa nanesie na obidva spojované materiály (asoň jeden musí byť nasiakavý a priepustný pre plyny) a spoj sa po uplynutí doby otvoreného zostavenia fixuje a zaťaží. Lepidlo stuhne za normálnej teploty po vsiaknutí a vyparení vody. Tuhnutie možno urýchliť zvýšením teploty.

6. POUŽITIE ADHEZNÉHO SPOJOVANIA [1]

6.1. ÚVODNÁ ČASŤ

Súdržnosť povrchových vrstiev u tkanín je podstatne väčšia než u netkaných textílií a plstí. Adhezné vlastnosti textílií sú dané zložením vlákien a ich úpravami (šlichtovanie, antistatická a apretačná úprava). Na zložení vlákien závisí odolnosť textílie voči rozpúšťadlám a chemikáliám, z ktorých sa skladajú pojiva. Preto sú najodolnejšie vlákna prírodné (vlnené, bavlnené, sisalové). Syntetické materiály treba posudzovať každý jednotlivo.

Spracovávanie textílií pomocou lepidiel sa deje dvomi spôsobmi :

1. *úplným presýtením textílie pojivom* - je to typický spôsob pre priemyselnú výrobu viacvrstvých konštrukčných materiálov - laminátov
2. *povrchový nános lepidla* - využíva sa v odevnom a čalúnickom priemysle, pri výrobe kobercov

Lepidlo sa vyberá podľa druhu materiálu a požadovaných vlastností spojov. Kritériom akosti v odevnom priemysle je napr. pevnosť šitého spoja. Pevnosť lepených spojov v odlupovaní u tzv. nosných švov musí dosahovať minimálne hodnoty $200\text{N} \cdot 5\text{cm}^{-1}$. Vyžaduje sa primeraná tuhosť a pružnosť filmu voči horúcej vode a voči prostriedkom používaným pri praní alebo chemickom čistení.

6.2. ODEVNÝ PRIEMYSEL

Dáva sa prednosť tavným termoplastickým lepidlám, ich bod mäknutia leží v rozmedzí teplôt $105 - 125^\circ\text{C}$, ktorý možno dosiahnuť na bežných žehliacich strojoch. Je rozšírené napr. nanášanie tavných práškových lepidiel na textilné podkladové (vystužujúce) vložky. Po zažehlení s krycou textiliou vzniknú bodové spoje, ktoré si uchovávajú väčšinu priaznivých vlastností pôvodnej textílie, hlavne prieplustnosť pre plyny a celkovú vláčnosť. Nános tavného lepidla na textilnej podložke je okolo $40 - 50 \text{ g/m}^2$. Tako sa napr. vystužujú klopy, goliere a vložky do konfekcie.

Ďalšou formou adhézneho spojovania je použitie netkanej termoplastickej tkaniny - lepidla (Petex) o plošnej hmotnosti 50 g/m^2 . Používa sa k vystužovaniu košeľových golierov a manžiet.

Ako pojivo sa uplatňujú modifikované polyamidy vo forme monofilových vláken. V konfekcii sa používajú miesto prešívania alebo k stehovaniu záložiek.

Ďalšie spôsoby použitia adhezných spojov : lepenie tkanín na ľahčené hmoty (najmä na molitan), laminovanie oblekových tkanín.

6.3. ČALUNICKÝ PRIEMYSEL

Používajú sa dve varianty prevedenia lepených spojov :

1. *pištoľou na stlačený vzduch sa zriedené lepidlo nastrieka na povrch výplne*
2. *lepidlo sa v rovnomernej vrstve nanesie na sklenenú tabuľu, odkiaľ sa ľahkým pritisknutím prenesie na penu alebo gumovlásový nosič.*

Pre čalunické práce a spodné úpravy kobercov sú vhodné najmä mäkčené akrylátové disperzie z rady SOKRAT. Poskytujú trvale pružný spoj. Manipulácia s poťahovými materiálmi je možná už po 60 minútach.

6.4. OBUVNÍCKY A KOŽIARSKY PRIEMYSEL

Tento priemysel potrebuje vodovzdorné a vlhku odolávajúce spoje textilných materiálov s pryzovými výrobkami alebo s kožou. Používajú sa rozpúšťadlové lepidlá na báze prírodného alebo chloroprénového kaučuku. Aby sa predišlo presakovaniu tekutých lepidiel na lícnu stranu textílie, nanáša sa lepidlo najskôr na podklad, na ktorom sa predsuší.

7. MECHANOLUMINISCENCIA [7]

Mechanoluminiscencia je jednou z foriem luminiscencie, pri ktorej sa mechanická energia mení na svetelnú (žiarivú). Luminiscencia má tri štádiá : *excitáciu, transport energie látkou a rekombináciu*. Pre mechanoluminiscenciu sú najdôležitejšie prvé dve.

7.1. ZÁKLADNÉ POJMY

Luminiscenciou sa podľa Vavíľova rozumie taká vlastnosť plynných a kondenzovaných látok, ktorých odozva na pôsobiacu vonkajšiu energiu sa prejavuje vyžiarením, emisiou elektromagnetického (väčšinou svetelného) žiarenia po vylúčení tepelného žiarenia v dobe dlhšej než 10^{-10} s. Luminiscencia sa kvalifikuje ako nerovnovážne žiarenie. Podľa trvania

luminiscencie po excitácii doznievania delíme luminiscenciu na : ***fluorescenciu a fosforescenciu***. Pri fluorescencii dochádza po prerušení vonkajšieho pôsobenia k doznievaniu luminiscencie podľa exponencionálneho zákona s časovou konštantou nezávislou na intenzite excitačnej energie ani na teplote. Fluorescencia je závislá na vnútornej štruktúre energetických hladin systému.

Fosforescencia je oproti fluorescencii zložka pomalejšia, ktorá doznieva s oveľa zložitejšou kinetikou. Niektorí autori, ako napr. Garlich, definujú fluorescenciu ako emisiu žiarenia pri excitácii a fosforescenciu ako emisiu žiarenia po excitácii.

Luminiscencia je pozorovateľná vo všetkých skupenstvách u látok organických aj anorganických. V pevných látkach, luminoforoch, závisí luminiscencia na nečistotách alebo poruchách štruktúry. Tie sú zodpovedné za charakteristickú luminiscenčnú emisiu a nazývajú sa aktivátory.

7.2. TEÓRIA MECHANOLUMINISCENCIE

Ide o veľmi zložitý jav, pretože pri mechanickom pôsobení na kondenzované látky dochádza obvykle k zložitým mechanickým prejavom, ako je elastická, plastická deformácia, prípadne rozrušenie látok, ktoré ide ľahko separovať. Pri rozrušovaní sa tvoria nové lomové plochy. Vznikajú elektrické potenciály. Pri opakovanom mechanickom pôsobení vznikajú v látkach vysoké tlaky, koncentrované do malých oblastí i vysoké teploty. Javy, vznikajúce pri odtrhávaní jednej látky od druhej, sa nazývajú adhezo-luminiscenciou.

7.3. JAVY MECHANOLUMINISCENCIE

Javy mechanoluminiscencie sa delia do troch skupín, a to :

- a) priame mechanoluminiscenčné javy
- b) javy, pri ktorých je mechanické pôsobenie sekundárnym pôsobením
- c) javy, ktoré možno pozorovať pri niektorých typoch mechanoluminiscencie a nimi možno identifikovať príslušný typ mechanoluminiscencie

Delenie mechanoluminiscenčných javov podľa doby trvania mechanoluminiscencie na :

- *dočasnú mechanoluminiscenciu* - schopnosť mechanoluminiscencie sa stráca s časom
- *trvalú mechanoluminiscenciu* - možno ju pozorovať v ľubovoľnom čase pri mechanickom namáhaní tuhej látky

7.4. MECHANOLUMINISCENČNÉ MATERIÁLY

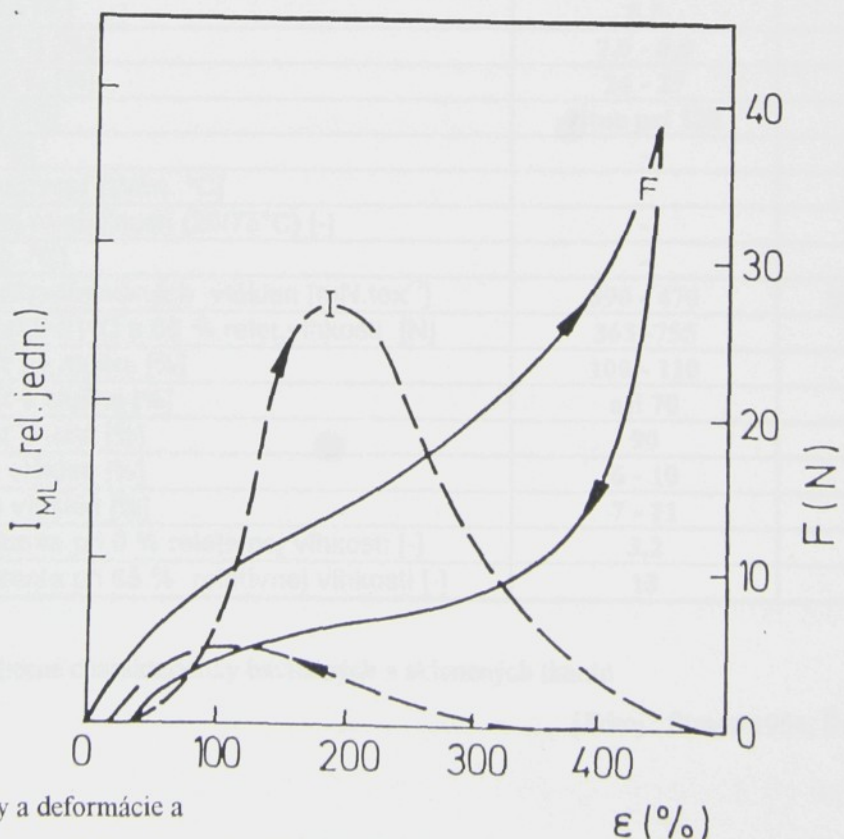
Medzi anorganickými a organickými látkami sa dajú nájsť tri veľké skupiny mechanoluminiscenčných látok podobnej štruktúry, a to :

- alkalické halogenidy kryštalickej štruktúry chloridu sodného
- kryštály wurtzitického a sfalerického typu štruktúry sulfidu zinočnatého
- alauny = látky s kationtovou skupinou

Sulfid zinočnatý - javí najintenzívnejšiu mechanoluminiscenciu, väčšina mechanoluminiscenčných zákonitostí bola zistená na práškovom sulfide zinočnatom

7.5. MECHANOLUMINISCENCIA U KAUČUKOV

Z grafu závislosti sily a mechanoluminiscenčnej intenzity na relatívnej deformácii je vidieť, že mechanoluminiscencia vzniká v nelineárnej časti deformačnej krivky a má maximum v jej inflexnom bode. Pri odľahčovaní sa obe krivky líšia. Mechanoluminiscenčná intenzita pri odľahčovaní je omnoho nižšia než mechanoluminiscenčná intenzita pri zaťažovaní vzorky. Pri opakovanom zaťažovaní vzorky bolo možné pozorovať mechanoluminiscenčnú intenzitu len vtedy, ak sila prekročila hodnotu predchádzajúceho namáhania.



Obr. 7.1. Priebeh sily a deformácie a mechanoluminiscencie na deformáciu u kaučuku
[Zdroj : Sodomka, 1985]

EXPERIMENTÁLNA ČASŤ

Predmetom skúmania mojej diplomovej práce je adhezné spojovanie textílií latexovým pojivom, a to určenie optimálnych geometrických a fyzikálno-chemických podmienok pre lepenie textílií latexovým pojivom a meranie mechanických vlastností spojov.

8. CHARAKTERISTIKY TKANÍN A POJIVA

8.1. VŠEOBECNÉ CHARAKTERISTIKY BAVLNENÝCH A SKLENENÝCH TKANÍN

Tabuľka 1 dáva prehľad všeobecných charakteristik bavlnených a sklenených tkanín. Tieto charakteristiky sú považované za základné popisujúce vlastnosti tkanín [9,10]

	bavlnené vlákna	sklenené vlákna
merná hmotnosť suchých vlákien [g/cm^3]	1,55	2,49 - 2,54
merná hmotnosť klimatizovaných vlákien [g/cm^3]	1,49	2,44 - 2,48
vlhkostná prirážka [%]	8,5	1,5
navlhavosť pri 65 % [%]	7,0 - 8,5	-
navlhavosť pri 95 % [%]	24 - 27	0,4
teplota mäknutia [$^\circ\text{C}$]	žltne pri 120	500 - 600
teplota topenia [$^\circ\text{C}$]	-	1100 - 1200
merná tepelná vodivosť [$\text{W/m. } ^\circ\text{C}$]	-	0,98
koeficient tepelnej roztažnosti ($20/75^\circ\text{C}$) [-]	-	4,8
merné teplo [$\text{J/kg. } ^\circ\text{C}$]	-	8,0
merná pevnosť klimatizovaných vlákien [mN.tex^{-1}]	390 - 470	800 - $1000 \cdot 10^3$
pevnosť v ťahu pri $t=21^\circ\text{C}$ a 65 % relat.vlhkosti [N]	363 - 755	1370 - 1470
relatívna pevnosť za mokra [%]	100 - 110	90 - 95
relatívna pevnosť v slučke [%]	asi 70	8 - 10
relatívna pevnosť v uzle [%]	90	10 - 30
tažnosť suchých vlákien [%]	6 - 10	asi 2
tažnosť mokrých vlákien [%]	7 - 11	1,7 - 1,8
dielektrická konštanta pri 0 % relatívnej vlhkosti [-]	3,2	3,7
dielektrická konštanta pri 65 % relatívnej vlhkosti [-]	18	4,4

Tabuľka 8.1. : Všeobecné charakteristiky bavlnených a sklenených tkanín

[Zdroj : Simon 1954, Švendová 1978]

8.2. VÝZNAMNÉ CHARAKTERISTIKY POUŽITÝCH TKANÍN

Účelom rozboru tkanín použitých v experimente bolo určenie ich základnej štruktúry. Merania mechanických vlastností spojov sa prevádzali na vzorkách pripravených z dvoch druhov tkanín : na režnej bavlnenej a na sklenenej tkanine. Ich významné charakteristiky sú uvedené v tabuľke 2.

	bavlnená tkanina	sklenená tkanina
väzba tkaniny	plátno P 1 / 1	plátno P 1 / 1
druh použitej priadze	bavlnené	sklenené
plošná hmotnosť	163,20	205,79
dĺžková hmotnosť osnovy [tex]	27,7	69
dĺžková hmotnosť útku [tex]	20	70,5
dĺžková hustota osnovy [nití/1 cm]	34	12
dĺžková hustota útku [nití/1 cm]	22	17
zotkanie osnovy [%]	4,7	0,75
zotkanie útku [%]	5,1	0,65
hrúbka tkaniny [mm]	0,96	0,77

Tabuľka 8.2. : Charakteristiky tkanín použitých v experimente

Dĺžková hmotnosť (jemnosť) priadzí : vypárame z tkaniny z každého druhu priadze 1 až 5 m priadze a zvážime, dĺžkovú hmotnosť osnovnej (útkovej) priadze určíme zo vzťahu :

$$T_{o(u)} = m/l \cdot 10^3 \quad T_{o(u)} [\text{tex}] \dots \text{dĺžková hmotnosť osnovnej (útkovej) priadze} \quad (8.1.)$$

m [g] hmotnosť priadze

l [m] dĺžka priadze

Dĺžková hustota (dostava) tkaniny : udáva hustotu jednotlivých sústav nití na 10 mm, v praxi sa bežne udáva na 1 cm, pre výpočet platí vzťah :

$$D_{o(u)} = n/l \quad D_{o(u)} [\text{cm}^{-1}] \dots \text{dĺžková hustota osnovy (útku)} \quad (8.2.)$$

n [-] počet nití zistený na úseku dĺžky l

l [cm] dĺžka, na ktorej boli spočítané nite

Zotkanie osnovy (útku) : je rozdiel medzi rozmerom tkaniny a dĺžkou nite vytiahnutej z tkaniny, zotkanie vypočítame zo vzťahu :

$$S_{o(u)} = (L_{o(u)} - L_{tk} / L_{tk}) \cdot 100 \quad S_{o(u)} [\%] \dots \text{zotkanie osnovy (útku)} \quad (8.3.)$$

$L_{o(u)}$ [cm] dĺžka osnovnej (útkovej) nite vytiahnutej z tkaniny

L_{tk} [cm] dĺžka tkaniny

8.3. CHARAKTERISTIKY LEPIDLA

Pre lepenie adhezných spojov som používala anioaktívnu vodnú disperziu styrénakrylátového kopolyméru pod názvom SOKRAT 942 so 46% obsahom sušiny, ktorý bol zosieťovaný pri teplote 120 - 140°C, jeho pH = 2,5. Pojivo vyrábajú *Chemické závody SOKOLOV, a.s.*, Tovární 1, 356 80 Sokolov. Charakteristiky uvedené v nasledujúcej tabuľke sú získané z firemného prospektu pre polyakrylátové disperzie rady Sokrat[8].

viskozita [MPa.s]	72
tvrdosť (3/7 dní) [%]	8,9/7,4
lelivosť (3/7 dní) [g]	200/200
nasiakovosť [%]	26
pevnosť v ľahu [MPa]	3,4
prieťažnosť [%]	911
odolnosť voči mrazu [°C]	-5
odolnosť voči alkalickej hydrolýze [%]	94
povrchové napätie [mN/m]	40
objemová merná hmotnosť [g/cm ³]	1,04
stupeň hydrolýzy v alkalických roztokoch [%]	15
absorpčná kapacita v H ₂ O [%]	53
absorpčná kapacita po vytvrdení [%]	25
Tg [°C]	-2

Tabuľka 8.3. : Charakteristiky pojiva použitého v experimente

- Upozornenia k práci a k skladovaniu :
- nie je toxicke
 - u citlivých osôb chrániť kožu
 - chrániť pred zmrznutím
 - 6 mesačná záručná doba

Použitie : tuženie, netkané textilie, pasty na zatieranie, kašírovanie, ako lepidlo

9. PRÍPRAVA VZORIEK

9.1. ÚVODNÁ ČASŤ

Je to časovo a organizačne náročná časť experimentu. Vyžaduje pracnú prípravu a hlavne presnosť označovania vzoriek.

Pre meranie sa pripravovali vzorky pre tri druhy skúšok :

- a) pre skúšku pevnosti v ľahu a tāžnosti vystuženej tkaniny
- b) pre skúšku pevnosti spoja vrstiev
- c) pre skúšku pevnosti v ľahu a tāžnosti textilie lepenej jednoducho preplátovaným spojom

Pri príprave vzorkov sa musia dodržať následujúce podmienky :

- pre daný spôsob lepenia a zároveň smer strihania vzoriek sa pripravujú vždy po tri vzorky plus jeden skúšobný vzorok, ktorý slúži k nastaveniu zapisovacieho grafu trhacieho prístroja
- všetky vzorky je nutné riadne označiť, aby nedošlo k zámene a k prípadnému skresleniu výsledku celého merania
- aby nedochádzalo k preklízavaniu alebo narušeniu vroriek v čelustiach trhacieho zariadenia, upínacie konce vzoriek sa oblepia prúžkom bavlneného materiálu o rozmeroch 30x40 mm.
- aby nedochádzalo k preklízavaniu nití u sklenenej tkaniny v osnove a v útku, je nutné po vystrihnutí vzoriek oblepiť kraje disperzným lepidlom

V experimente neboli dodržané rozmerové údaje vzoriek dané normami, a to z ekonomických dôvodov.

Norma ČSN 800812 (zmena a-5/91) pre zisťovanie pevnosti v ťahu a ťažnosti pre plošné textílie stanovuje upínaciu dĺžku pre textílie zo sklenených vláken a pojene tkaniny 200 mm, šírku vzorky 5 cm, počet vzoriek na jednu skúšku je päť. Norma doporučuje elementárne vzorky zo sklenených vláken, kvôli zamedzeniu pretrhu v upínacích čelustiach, polepovať. Platnosť skúšky pri pretrhu v upínacích čelustiach : ak dôjde k pretrhu v upínacích čelustiach alebo vo vzdialosti 5 mm od okraja upínacích čelustí, berie sa výsledok do úvahy v tom prípade, že pevnosť nie je menšia a ťažnosť nie je väčšia než hodnota platnej skúšky.

Norma ČSN 800830 pre stanovenie pevnosti spoja vrstiev pre plošné textílie stanovuje upínaciu dĺžku 100 mm, rozmery vzoriek 250x50 mm, počet vzoriek na jednu skúšku je päť. Skúška je neplatná, keď pri nej dôjde k pretrhu vrstvy.

9.2. PRÍPRAVA VZORIEK PRE SKÚŠKU PEVNOSTI V ŤAHU A ŤAŽNOSTI VYSTUŽENEJ TKANINY

STRIHANIE

Stríhali sa vzorky o rozmeroch 30x100 mm v troch rôznych smeroch po dĺžke vzorky : *po osnove, po útku a pod uhlov 45°*

LEPENIE

Vrstvy latexového pojiva sa nanášali na vzorky takto :

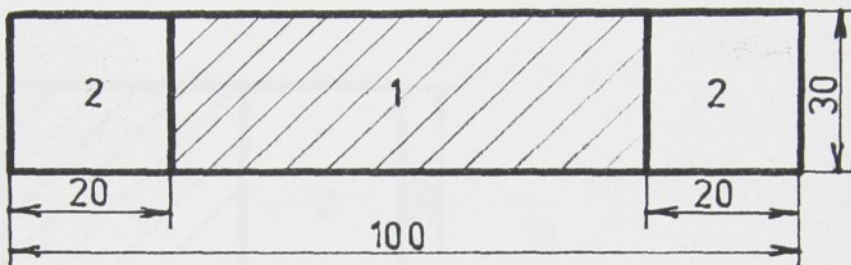
pre vzorky strihané po osnove platilo: 3x čistá vzorka bez nánosu pojiva

3x vzorka s jednou obojstrannou vrstvou pojiva

3x vzorka s dvomi vrstvami pojiva z obidvoch strán

3x vzorka s tromi vrstvami pojiva z obidvoch strán

To isté platí aj pre vzorky strihané po útku a pod uhlom 45°.



1.....nános pojiva

2.....oblepenie okrajov vzorky bavlnenou textíliou

obr. 9.1. Vzorka vystuženej tkaniny

Postup lepenia :

1. naniest' vrstvu latexu na jednu stranu vzorky
2. vysušiť vrstvu latexu
3. naniest' vrstvu latexu na druhú stranu vzorky
4. vysušiť vrstvu latexu
5. pokračovať v bodoch 1. - 4. až po dosiahnutie požadovaného počtu vrstiev
6. pripravenú vzorku uložiť na fóliu
7. prikryť vzorku fóliou
8. zaťažiť vzorku doskou a závažím a nechať zaťaženú 24 hodín
(použitý prítlak : 143 Pa)

ad 2,4) Pre rýchlejšiu prípravu vzoriek sa každý nános latexového pojiva sušil teplovzdušným fénom typu FERM H6 - 1500.

(Technické údaje : 220 V, 1500 W, teplotné stupne : 1. 300°C, 2. 500°C) Inak by sa muselo čakať, než vrstva pojiva zaschne, čo by značne časovo predĺžilo prípravu vzoriek. Po vysušení vrstvy sa nanášala ďalšia vrstva pojiva na druhú stranu vzorky a znova sa vysušila. Tento postup sa stále opakoval až po dosiahnutie požadovaného počtu nánosu vrstiev pojiva na obidvoch stranách vzorky.

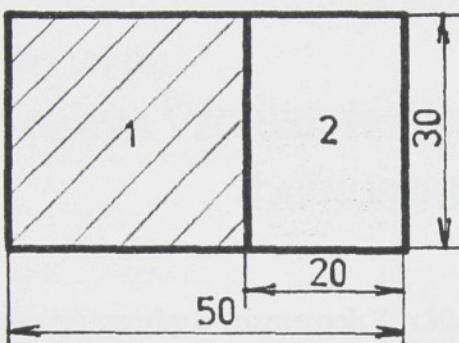
9.3. PRÍPRAVA VZORIEK PRE SKÚŠKU PEVNOSTI SPOJA VRSTIEV

STRIHANIE

Pre túto skúšku sa pripravovali vzorky o rozmeroch 30x50 mm strihané v troch smeroch : *po osnove, po útku a pod uhlom 45°*

LEPENIE

Dve vzorky sa zlepovali jednostranne preplátovaným spojom, šírka preplátovania bola 3 cm.



- 1.....zlepeneá časť - jednostranne preplátovaný spoj
2.....voľné konce na upnutie do trhacieho prístroja

obr. 9.2. Vzorka pre skúšku pevnosti spoja vrstiev

U bavlnenej tkaniny sa zlepovali vzorky jednostranne preplátovaným spojom takto :

O x O (3x)
U x U (3x)
O x U (3x)
O x 45° (3x)
U x 45° (3x)

Zo sklenenej tkaniny sa lepili dva druhy vzoriek. V jedenom druhu vzoriek sa do lepeného spoja pridával prášok ZnS, ktorý sa do spoja dával kvôli zist'ovaniu odozvy na mechanické namáhanie vzorky. U druhého druhu vzoriek sa v lepenom spoji nachádzalo len pojivo. Lepenie prebiehalo následovne :

bez prášku	O x O (3x)	s práškom	O x O (3x)
~	U x U (3x)		U x U (3x)
	O x U (3x)		O x U (3x)
	O x 45° (3x)		O x 45° (3x)
	U x 45° (3x)		U x 45° (3x)

Postup lepenia :

1. na jednu vrstvu vzorky sa v lepenom mieste naniesla vrstva pojiva
2. na druhú vrstvu vzorky sa v lepenom mieste naniesla vrstva pojiva
3. (len u vzoriek, kde sa v lepenom spoji použije prášok) rovnomerne posypať práškom jednu vzorku v mieste lepenia
4. zlepíť obe vzorky jednostranne preplátovaným spojom, šírka preplátovania je 30 mm
5. položiť vzorku na fóliu
6. prikryť vzorku fóliou
7. zaťažiť vzorku doskou a závažím a nechat' zaťaženú 24 hodín
(použitý prítlak : 143 Pa)

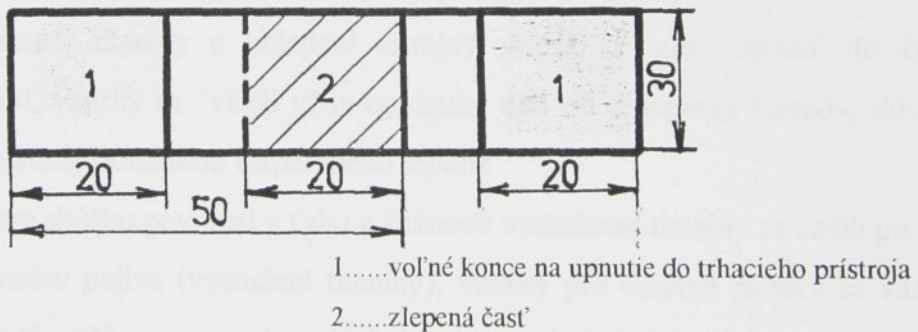
9.4. PRÍPRAVA VZORIEK PRE SKÚŠKU PEVNOSTI V ŤAHU A ŤAŽNOSTI TEXTÍLIE

STRIHANIE

Znova sa pripravovali vzorky o rozmeroch 30x50 mm z oboch druhov tkanín v troch smeroch : po osnove, po útku a pod uhlov 45°.

LEPENIE

Dve vzorky sa zlepovali jednoducho preplátovaným spojom - šírka preplátovania bola 2 cm.



obr. 9.3. Vzorka pre skúšku pevnosti v ťahu a ťažnosti textílie

Aj tieto spoje u sklenenej tkaniny boli lepené dvoma spôsobmi. V prvom spôsobe sa v lepenom spoji nachádzalo len pojivo, u druhého spôsobu bol v spoji použitý spolu s pojivom aj prášok ZnS. Vzorky sa zlepovali takto :

bez prášku	O x O (3x)	s práškom	O x O (3x)
	U x U (3x)		U x U (3x)
	O x U (3x)		O x U (3x)
	O x 45° (3x)		O x 45° (3x)
	U x 45° (3x)		U x 45° (3x)

Bavlnené vzorky sa lepili len jedným spôsobom, a to, že v lepenom spoji sa nachádzalo len pojivo, následovne :

O x O	(3x)
U x U	(3x)
O x U	(3x)
O x 45°	(3x)
U x 45°	(3x)

Postup lepenia je rovnaký ako pri príprave vzoriek pre skúšku v odlupovaní, rozdiel je v druhu vytvoreného lepeného spoja, ktorý je jednoducho preplátovaný.

9.5. VÁŽENIE

Účelom váženia vzoriek bolo zistenie hmotnosti a spotreby pojiva pre vytvorenie adhezných spojov. Váženie prebiehalo na analytických váhach 200 g - 1050/2.

(Technické údaje: váživosť 50 mg - 200 g, citlivosť 0.1 mg, hodnota delenia (d) 1 mg, presnosť 1. trieda - vynikajúca, medze chýb 0 - 50 g = 0.5 mg

$$50 - 200 \text{ g} = 1.0 \text{ mg}$$

Váženie prebiehalo u každej vzorky dvakrát, v dvoch fázach prípravy vzorky :

1. váženie : po vystrihnutí, oblepení okrajov disperzným lepidlom Gamafix bez rozpúšťadiel u sklenenej tkaniny a oblepení okrajov, ktoré sa budú upínať do čel'ustí, bavlneným materiálom, vzorky sa vážili vždy na druhý deň od oblepenia koncov, dôvodom bolo dostatočné zaschnutie použitého disperzného lepidla

2. váženie : vzorky pre skúšku pevnosti v ťahu a ťažnosti vystuženej tkaniny sa vážili po nanesení všetkých vrstiev pojiva (vystužení tkaniny), vzorky pre ostatné skúšky sa vážili po vytvorení lepeného spoja, váženie vzoriek prebiehalo až po uplynutí doby zaťaženia (24 hodín)

Na následujúcich stránkach sú uvedené tabuľky váženia vzoriek z bavlnenej a sklenenej tkaniny pre skúšky mechanických vlastností spojov.

V stĺpci označenom \mathbf{M}_{Pred} sú hmotnosti vzoriek 1. váženia, v stĺpci pod označením \mathbf{M}_{P_0} sú hmotnosti vzoriek 2. váženia. \mathbf{M}_{lep} označuje vypočítaný rozdiel hmotností \mathbf{M}_{P_0} a \mathbf{M}_{Pred} , čím dostaneme hmotnosť naneseného lepidla v lepenom spoji. \mathbf{M}_{1+2} znamená súčet hmotností dvoch vzoriek z 1. váženia. Stĺpec označený \mathbf{h} obsahuje údaje o hrúbke nánosu pojiva. Pod každou tabuľkou je uvedená priemerná spotreba lepidla.

Bavlnené vzorky 10x3 pre skúšku pevnosti a t'ažnosti vystuženej tkaniny

1.vrstva	Hmotnosť (g)	M _{Pred}	M _{Po}	M _{lep}	h(mm)
O	1	0,850	1,077	0,227	0,122
	2	0,880	1,132	0,252	0,135
	3	0,870	1,112	0,242	0,129
U	1	1,050	1,242	0,192	0,103
	2	1,000	1,249	0,249	0,133
	3	1,000	1,296	0,296	0,158
45	1	0,990	1,293	0,303	0,162
	2	1,030	1,295	0,265	0,142
	3	0,890	1,266	0,376	0,201

$$\bar{M}_{lep} = 0,267 \text{ g}$$

Tabuľka 9.1.

2.vrstva	Hmotnosť (g)	M _{Pred}	M _{Po}	M _{lep}	h(mm)
O	1	0,860	1,326	0,466	0,249
	2	0,880	1,237	0,357	0,191
	3	0,880	1,234	0,354	0,189
U	1	1,190	1,490	0,300	0,160
	2	1,070	1,538	0,468	0,250
	3	1,046	1,481	0,435	0,232
45	1	1,046	1,521	0,475	0,254
	2	1,020	1,468	0,448	0,239
	3	1,010	1,473	0,463	0,247

$$\bar{M}_{lep} = 0,418 \text{ g}$$

Tabuľka 9.2.

3.vrstva	Hmotnosť (g)	M _{Pred}	M _{Po}	M _{lep}	h(mm)
O	1	1,02	1,449	0,429	0,249
	2	0,98	1,497	0,517	0,191
	3	1,05	1,496	0,446	0,189
U	1	0,87	1,483	0,613	0,160
	2	0,95	1,683	0,733	0,250
	3	0,98	1,742	0,762	0,232
45	1	1,02	1,625	0,605	0,254
	2	1	1,729	0,729	0,239
	3	0,95	1,568	0,618	0,247

$$\bar{M}_{lep} = 0,606 \text{ g}$$

Tabuľka 9.3.

Sklenené vzorky 10x3 pre skúšku pevnosti a t'ažnosti vystuženej tkaniny

1.vrstva					
Hmotnosť (g)		M _{Pred}	M _{Po}	M _{lep}	h(mm)
O	1	1,454	1,580	0,126	0,067
	2	1,464	1,608	0,144	0,077
	3	1,534	1,676	0,142	0,076
U	1	1,575	1,698	0,123	0,066
	2	1,520	1,665	0,145	0,077
	3	1,483	1,655	0,172	0,092
45	1	1,515	1,641	0,126	0,067
	2	1,494	1,648	0,154	0,082
	3	1,494	1,639	0,145	0,077

$$\bar{M}_{lep} = 0,142 \text{ g}$$

Tabuľka 9.4.

2.vrstva					
Hmotnosť (g)		M _{Pred}	M _{Po}	M _{lep}	h(mm)
O	1	1,496	1,747	0,251	0,134
	2	1,365	1,635	0,270	0,144
	3	1,363	1,619	0,256	0,137
U	1	1,488	1,727	0,239	0,128
	2	1,455	1,675	0,220	0,118
	3	1,500	1,727	0,227	0,121
45	1	1,483	1,727	0,244	0,130
	2	1,436	1,720	0,284	0,152
	3	1,375	1,647	0,272	0,145

$$\bar{M}_{lep} = 0,251 \text{ g}$$

Tabuľka 9.5.

3.vrstva					
Hmotnosť (g)		M _{Pred}	M _{Po}	M _{lep}	h(mm)
O	1	1,535	1,878	0,343	0,183
	2	1,506	1,832	0,326	0,174
	3	1,115	1,449	0,334	0,178
U	1	1,406	1,805	0,399	0,213
	2	1,384	1,781	0,397	0,212
	3	1,116	1,422	0,306	0,163
45	1	1,466	1,807	0,341	0,182
	2	1,480	1,810	0,330	0,176
	3	1,100	1,403	0,303	0,162

$$\bar{M}_{lep} = 0,342 \text{ g}$$

Tabuľka 9.6.

Bavlnené vzorky 5x3 pre skúšku pevnosti spoja vrstiev

Hmotnosť (g)		M _{Pred}	M _{Pred}	M ₁₊₂	M _{Po}	M _{lep}	h(mm)
O - O	1	0,443	0,467	0,910	1,104	0,194	0,207
	2	0,449	0,445	0,894	1,119	0,225	0,240
	3	0,448	0,468	0,916	1,078	0,162	0,173
U - U	1	0,454	0,466	0,920	1,057	0,137	0,146
	2	0,467	0,428	0,895	1,031	0,136	0,145
	3	0,434	0,437	0,871	1,008	0,137	0,146
O - U	1	0,438	0,459	0,897	1,122	0,225	0,240
	2	0,429	0,468	0,897	1,107	0,210	0,224
	3	0,442	0,477	0,919	1,123	0,204	0,218
O - 45	1	0,435	0,456	0,891	1,080	0,189	0,202
	2	0,455	0,455	0,910	1,097	0,187	0,200
	3	0,449	0,448	0,897	1,085	0,188	0,201
U - 45	1	0,477	0,454	0,931	1,097	0,166	0,177
	2	0,437	0,454	0,891	1,094	0,203	0,217
	3	0,442	0,477	0,919	1,075	0,156	0,167

$$\bar{M}_{lep} = 0,182 \text{ g}$$

Tabuľka 9.7.

Bavlnené vzorky 5x3 pre skúšku pevnosti v tahu a t'ažnosti textílie

Hmotnosť (g)		M _{Pred}	M _{Pred}	M ₁₊₂	M _{Po}	M _{lep}	h(mm)
O - O	1	0,448	0,445	0,893	1,022	0,129	0,207
	2	0,449	0,439	0,888	1,022	0,134	0,215
	3	0,435	0,443	0,878	1,008	0,130	0,208
U - U	1	0,446	0,463	0,909	1,045	0,136	0,218
	2	0,433	0,454	0,887	1,010	0,123	0,197
	3	0,435	0,451	0,886	1,014	0,128	0,205
O - U	1	0,435	0,440	0,875	1,011	0,136	0,218
	2	0,437	0,456	0,893	1,067	0,174	0,279
	3	0,436	0,443	0,879	0,984	0,105	0,168
O - 45	1	0,458	0,457	0,915	1,043	0,128	0,205
	2	0,433	0,434	0,867	1,039	0,172	0,276
	3	0,457	0,430	0,887	1,039	0,152	0,244
U - 45	1	0,456	0,448	0,904	1,038	0,134	0,215
	2	0,445	0,465	1,510	1,065	0,155	0,248
	3	0,466	0,472	0,938	1,105	0,167	0,268

$$\bar{M}_{lep} = 0,140 \text{ g}$$

Tabuľka 9.8.

Sklenené vzorky 5x3 (bez prášku) pre skúšku pevnosti spoja vrstiev

Hmotnosť (g)		M _{Pred}	M _{Pred}	M ₁₊₂	M _{Po}	M _{lep}	h(mm)
O - O	1	0,649	0,682	1,331	1,368	0,037	0,040
	2	0,659	0,661	1,320	1,356	0,036	0,038
	3	0,676	0,545	1,221	1,287	0,066	0,071
U - U	1	0,553	0,504	1,057	1,149	0,092	0,098
	2	0,569	0,525	1,094	1,201	0,107	0,114
	3	0,537	0,556	1,093	1,178	0,085	0,091
O - U	1	0,579	0,562	1,141	1,209	0,068	0,073
	2	0,568	0,526	1,094	1,197	0,103	0,110
	3	0,588	0,531	1,119	1,201	0,082	0,088
O - 45	1	0,540	0,560	1,100	1,182	0,082	0,088
	2	0,541	0,528	1,069	1,151	0,082	0,088
	3	0,547	0,533	1,080	1,163	0,083	0,089
U - 45	1	0,549	0,542	1,091	1,197	0,106	0,113
	2	0,531	0,545	1,076	1,182	0,106	0,113
	3	0,515	0,553	1,068	1,180	0,112	0,120

$$\bar{M}_{lep} = 0,083$$

Tabuľka 9.9.

Sklenené vzorky 5x3 (bez prášku) pre skúšku pevnosti v tahu a t'ažnosti textílie

Hmotnosť (g)		M _{Pred}	M _{Pred}	M ₁₊₂	M _{Po}	M _{lep}	h(mm)
O - O	1	0,668	0,654	1,322	1,394	0,072	0,115
	2	0,591	0,646	1,237	1,319	0,082	0,131
	3	0,679	0,664	1,343	1,424	0,081	0,130
U - U	1	0,523	0,534	1,057	1,180	0,123	0,197
	2	0,543	0,520	1,063	1,167	0,104	0,167
	3	0,540	0,543	1,083	1,167	0,084	0,135
O - U	1	0,542	0,566	1,108	1,146	0,038	0,061
	2	0,561	0,528	1,089	1,120	0,031	0,050
	3	0,553	0,518	1,071	1,101	0,030	0,050
O - 45	1	0,732	0,481	1,213	1,245	0,032	0,051
	2	0,726	0,492	1,218	1,254	0,036	0,058
	3	0,735	0,493	1,228	1,255	0,027	0,043
U - 45	1	0,570	0,551	1,121	1,210	0,089	0,142
	2	0,572	0,594	1,166	1,220	0,054	0,087
	3	0,563	0,592	1,155	1,210	0,055	0,088

$$\bar{M}_{lep} = 0,063 \text{ g}$$

Tabuľka 9.10.

Sklenené vzorky 5x3(s práškom) pre skúšku pevnosti spoja vrstiev

Hmotnosť (g)		M _{Pred}	M _{Pred}	M ₁₊₂	M _{Po}	M _{lep}	h(mm)
O - O	1	0,765	0,641	1,406	1,525	0,119	0,127
	2	0,643	0,644	1,287	1,404	0,117	0,125
	3	0,647	0,678	1,325	1,446	0,121	0,129
U - U	1	0,535	0,526	1,061	1,170	0,109	0,116
	2	0,531	0,528	1,059	1,189	0,130	0,139
	3	0,536	0,529	1,065	1,164	0,099	0,106
O - U	1	0,555	0,528	1,083	1,227	0,144	0,154
	2	0,545	0,551	1,096	1,221	0,125	0,160
	3	0,564	0,548	1,112	1,229	0,117	0,125
O - 45	1	0,724	0,577	1,301	1,555	0,254	0,271
	2	0,731	0,493	1,224	1,337	0,113	0,121
	3	0,532	0,48	1,012	1,128	0,116	0,124
U - 45	1	0,542	0,637	1,179	1,307	0,128	0,137
	2	0,542	0,629	1,171	1,264	0,093	0,099
	3	0,542	0,539	1,081	1,227	0,146	0,156

$$\bar{M}_{lep} = 0,129 \text{ g}$$

Tabuľka 9.11.

Sklenené vzorky 5x3(s práškom) pre skúšku pevnosti v t'ahu a t'ažnosti textílie

Hmotnosť (g)		M _{Pred}	M _{Pred}	M ₁₊₂	M _{Po}	M _{lep}	h(mm)
O - O	1	0,569	0,579	1,148	1,190	0,042	0,067
	2	0,659	0,692	1,351	1,399	0,048	0,077
	3	0,660	0,669	1,329	1,394	0,065	0,104
U - U	1	0,551	0,517	1,068	1,132	0,064	0,102
	2	0,532	0,547	1,079	1,162	0,083	0,133
	3	0,546	0,551	1,097	1,174	0,077	0,123
O - U	1	0,547	0,548	1,095	1,157	0,062	0,099
	2	0,561	0,532	1,093	1,154	0,061	0,098
	3	0,553	0,552	1,105	1,171	0,066	0,106
O - 45	1	0,721	0,502	1,223	1,290	0,067	0,107
	2	0,721	0,481	1,202	1,281	0,079	0,127
	3	0,726	0,501	1,227	1,286	0,059	0,095
U - 45	1	0,584	0,547	1,131	1,229	0,098	0,157
	2	0,566	0,543	1,109	1,224	0,115	0,184
	3	0,589	0,556	1,145	1,286	0,141	0,226

$$\bar{M}_{lep} = 0,075 \text{ g}$$

Tabuľka 9.12.

Výpočet hmotnosti naneseného lepidla :

$$u \text{ vystuženej tkaniny} \quad m_{lep} = m_{PO} - m_{PRED}$$

m_{lep} [g].....hmotnosť naneseného lepidla (9.1.)

$$u \text{ lepených spojov} \quad m_{lep} = m_{PO} - m_{1+2}$$

m_{PRED} [g].....hmotnosť vzorky 1. váženia (9.2.)

m_{PO} [g].....hmotnosť vzorky 2. váženia

Hrúbka nánosu lepidla :

$$m_{1+2} \text{ [g]} \dots \text{súčet hmotností dvoch vzoriek 1. váženia}$$

$$h = m_{lep} \cdot 10 / \rho \cdot S$$

h [mm].....hrúbka nánosu lepidla

ρ [g/cm³].....objemová merná hmotnosť lepidla

S [cm²].....plocha lepenej časti vzorky

10. MERANIE MECHANICKÝCH VLASTNOSTÍ SPOJOV

Priame metody merania adhézie spočívajú na zisťovaní sily potrebnej k posunutiu a odtrhnutiu spoja. Merítkom adhézie môže byť sila, energia, doba, alebo počet zaťažení do okamžiku destrukcie. Väčšina skúšok, ktoré sa prevádzajú za účelom zisťovania mechanických vlastností adhezných spojov je empirických, prispôsobených podmienkam lepenia.

10.1. POPIS PRÍSTROJA

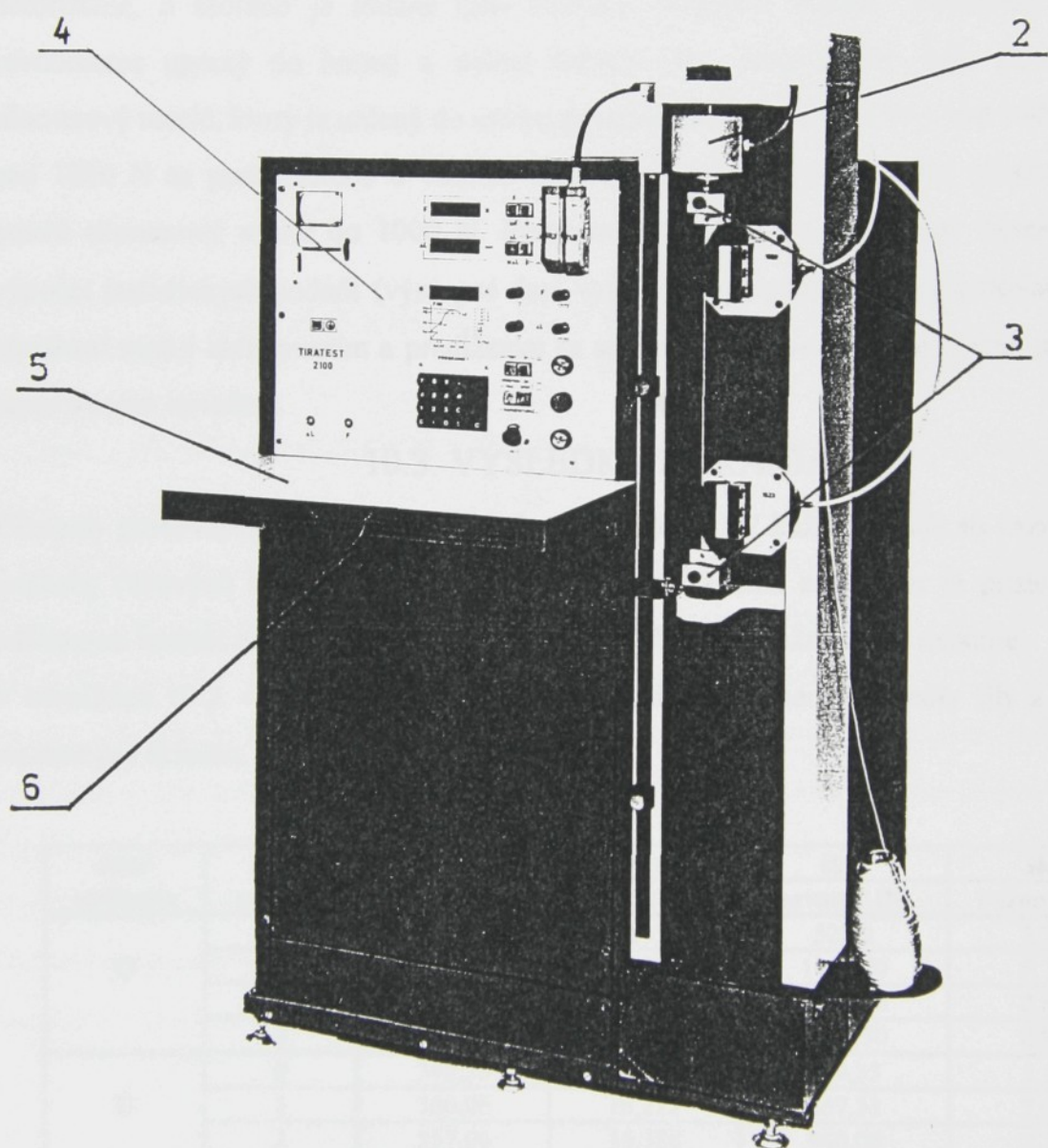
Celý experiment zisťovania mechanických vlastností spojov prebiehal na meracom prístroji TIRATEST 2150. Prístroj sa nachádza na katedre textilných materiálov. Je určený na skúšanie pevnosti, zmeny tvarov pevného materiálu pri namáhaní v tahu, tlaku a ohybe. Má široký výber upínacích zariadení, silomerových meničov a snímačov ľažnosti. Umožňuje skúšanie textilií, priadzí, tkanín, papiera, lepenky, umelých hmôt, fólií, gumy, drôtov, slabých plechov a pod. K dispozícii je zvolený program, ktorý zabezpečuje efektívny priebeh skúšky jednorázovým jednoduchým vkládaním dat, pohodlným upínaním vzorky a úplne automatický priebeh skúšky s vytisknutím dat a štatistickým výpočtom hodnôt.

maximálna skúšobná sila [kN]	5
rozsah merania sily [kN]	110 ⁻² - 5
rozsah zmeny dĺžky [mm]	10 ⁻² - 50
rozmery skúšobného priestoru (výška + šírka) [mm]	930x150
plynulý regulačný rozsah	1 : 33
vkladanie dat	cez numerickú klávesnicu
výstup dat	α-num. pásková tlačiareň

Tabuľka 10.1. Technické údaje meracieho prístroja TIRATEST 2150 [11]

- prístroj má detektor pretrhu a automatický rýchly spätný chod

- Popis prístroja :**
- 1) zaťažovacie zariadenie
 - 2) silomerový menič
 - 3) upínacie zariadenie
 - 4) meracia a ovládacia jednotka
 - 5) zapisovacia doska
 - 6) hlavný spínač



Obr. 10.1. TIRATEST 2150

10.2. PRIEBEH MERANIA

Pred začiatkom vlastného merania boli nastavené vstupné data a upínacia dĺžka :

(60 mm.... pre skúšku pevnosti a ľažnosti vystuženej tkaniny

20 mm.... pre skúšku pevnosti spoja vrstiev

40 mm.... pre skúšku pevnosti v ľahu a ľažnosti lepenej textílie)

Predpätie bolo vypnuté. Týmto krokom sa dosiahlo toho, že bol zaznamenaný celý priebeh deformácie, z ktorého je možné tuto hodnotu predpäťia odčítať. Zkúšobný vzorok bol rovnomerne upnutý do hornej a dolnej čeľuste. Pre danú skúšku bolo potrebné zvoliť silomerový menič, ktorý je určený do určitej pevnosti v ľahu (do 1000 N a nad 1000 N). Menič nad 1000 N sa použil jedine u vzoriek sklenenej vystuženej tkaniny. Pre ostatné skúšky sa použil silomerový menič do 1000 N. Pomocou programu bol prevedený záznam skúšky a výpočet štatistických hodnôt (výstupné data vytiskla α -numerická pásková tlačiareň). Krivky závislosti medzi zaťažovaním a predĺžením sa súčasne zaznamenávali do grafov na grafickom zapisovacom zariadení.

10.3. VÝSLEDKY MERANIA

Záznamy pracovných diagramov sú založené v prílohe 1. V každom grafe sú zaznamenané tri priebehy ľahových kriviek pre daný smer a spôsob lepenia a k tomu je príslušná tabuľka odčítaných hodnôt maximálnej dosiahnutej sily roztrhnutia a ľažnosti pri maxime.

V tabuľkách 10.2. - 10.3. sú pre prehľadnosť uvedené priemerné hodnoty sily a ľažnosti pri maxime pre tkaninu.

smer strihania	počet nánosov	bavlna	bavlna	sklo	sklo
		pevnosť [N]	Ľažnosť [%]	pevnosť [N]	Ľažnosť [%]
O	0	354,93	19,433	528,2	2,766
	1	347,36	24,700	1157,70	5,722
	2	365,73	24,200	1306,00	8,833
	3	346,33	22,600	1360,50	8,875
Ú	0	342,30	12,276	799,33	5,166
	1	360,06	16,222	867,33	7,920
	2	357,06	16,388	940,00	7,250
	3	385,76	15,116	966,00	5,250
45°	0	220,53	36,300	293,33	34,053
	1	250,53	38,166	388,33	62,600
	2	250,53	42,166	394,66	57,300
	3	261,46	37,333	44,33	35,944

Tabuľka 10.2.

	bavlna	bavlna	sklo _{bez prášku}	sklo _{bez prášku}	sklo _{s práškom}	sklo _{s práškom}
	pevnosť [N]	ťažnosť [%]	pevnosť [N]	ťažnosť [%]	pevnosť [N]	ťažnosť [%]
OxO	320,65	36,000	514,66	5,416	232,50	4,125
ÚxÚ	315,53	21,416	624,63	6,000	348,13	7,916
OxÚ	320,96	26,833	596,56	5,333	246,16	5,333
Ox45°	302,60	40,000	152,13	10,333	118,43	26,500
Úx45°	267,66	29,750	142,33	15,750	141,36	19,500

Tabuľka 10.3.

	bavlna	sklo _{bez prášku}	sklo _{s práškom}
	pevnosť [N]	pevnosť [N]	pevnosť [N]
OxO	22,099	5,5054	3,0855
ÚxÚ	18,274	4,8547	4,9168
OxÚ	21,012	4,4905	2,6600
Ox45°	18,302	5,5087	5,1682
Úx45°	17,333	5,1469	5,0054

Tabuľka 10.4.

10.4. ZHODNOTENIE VÝSLEDKOV MERANIA

10.4.1. SKÚŠKA PEVNOSTI V ŤAHU A ŤAŽNOSTI VYSTUŽENEJ TKANINY

Popis priebehu skúšky :

Deformačný proces prebiehal rozdielne u jednooso namáhaných vzoriek a u vzoriek strihaných šikmo. U vzoriek strihaných po osnove prebiehala trhacia skúška podobne ako u vzoriek strihaných po útku. V týchto prípadoch je na ťah namáhaná len jedna sústava nití, a to buď osnova alebo útok. Druhá sústava nití je namáhaná iba na ohyb. V dôsledku rastúceho ťahu dochádza k narovnávaniu namáhanej sústavy nití. Priečna sústava sa stále viac zvlnuje. Približne uprostred vzorky dochádza k zužovaniu a tým aj zhustňovaniu pozdĺžnych nití. S prvými narušenými niťami je porušená pevnosť celej vzorky. Merané vzorky boli porušené približne uprostred medzi čel'ustami.

Napätie v jednej ose charakterizuje :

šmyk priadzí

vyrovnanie skučeravenia

sploštenie priadze

zhustenie priadzí

rotácia vláken

prietah vláken

U vzoriek strihaných pod uhlom 45° dochádza k odlišnému priebehu deformácie. Sila potrebná k porušeniu vzoriek nie je sila potrebná k pretrhnutiu obidvoch sústav nití, ale iba sila potrebná k prekonaniu šmykového trenia medzi nitami. U tohto typu vzorky nie je ani jedna nить upevnená v obidvoch čel'ustiach trhacieho prístroja naraz. Pri zaťažovaní vzoriek tejto skupiny dochádza teda k šmykovému treniu medzi nitami. Pretrhy nastali vždy priamo v čel'ustiach, kde sa napätie pri zaťažovaní koncentrovalo. Tento jav je neočakávaný, predpokladali sme, že k pretrhu vzoriek bude dochádzať približne uprostred.

Zhodnotenie výsledkov :

bavlna

pevnosť : Najvyššie hodnoty pevnosti boli u vzoriek strihaných po útku, najnižšie u vzoriek pod uhlom 45° . U vzoriek pod uhlom 45° sa pevnosť zvyšuje s každou nanesenou vrstvou pojiva. To sa nedá tvrdiť u vzoriek v osnove a útku, hodnoty pevnosti s nanesením vrstvy kolísajú.

tažnosť : Najvyššia tažnosť bola u vzoriek šikmo strihaných, najnižšia u vzoriek v útku. S prvým a druhým nánosom vrstvy sa tažnosť zvyšuje, tretí nános vrstvy je príčinou zníženia tažnosti.

sklo

pevnosť : Najvyššia pevnosť je u vzoriek v osnove, najnižšia u šikmých vzoriek, nános vrstvy spôsobuje zvyšovanie pevnosti.

tažnosť : Najvyššia tažnosť je u šikmých vzoriek, nanesenie vrstvy pojiva spôsobilo dvojnásobné zvýšenie tažnosti vzorky, ktorá sa s ďalšími vrstvami začína znížovať. Nanášanie 1. vrstvy u osnovy spôsobilo tiež dvojnásobné zvýšenie tažnosti, u ďalších vrstiev dochádza k jej znížovaniu.

Vyhodnotenie skúšky :

Cieľom skúšky bolo zistenie vplyvu nanesenej vrstvy pojiva na tkanine na anizotropiu tkaniny (smerová závislosť mechanických vlastností tkanín). Predpoklad bol, že pri určitom počte nanosu vrstiev pojiva na tkanine prestane vplyv anizotropie tkaniny a na mechanické vlastnosti začne mať výrazný vplyv pojivo. Porovnaním grafických priebehov deformačných skúšok sme zistili, že námosy latexového pojiva SOKRAT na tkaninu nehrájú významnú úlohu. Vystužená tkanina sa pri mechanickom namáhaní chová ako pôvodná tkanina bez námosu pojiva. K výraznému zvýšeniu pevnosti námosom vrstvy pojiva oproti pevnosti tkaniny bez námosu vrstvy

došlo len u sklenenej tkaniny v osnove - pevnosť vzorku sa dvojnásobne zvýšila. U sklenených tkanín dochádzalo nánosom vrstvy k dvojnásobnému zvýšeniu ďažnosti.

10.4.2. SKÚŠKA PEVNOSTI SPOJA VRSTIEV

Popis priebehu skúšky :

U obidvoch druhov tkanín dochádzalo pri skúške k rozlepovaniu spoja.

Zhodnotenie výsledkov :

bavlna

Hodnoty pevnosti pri rôznych smeroch strihania vzoriek sú približne rovnaké, najvyššia pevnosť bola u spoja OxO, najnižšia u spoja Úx45°.

sklo

Hodnoty pevnosti sú u rôznych smerov približne rovnaké, všetky pevnosti spoja sú nízke.

Vyhodnotenie skúšky :

Pevnosť spoja vrstiev nezávisí na smere strihania tkaniny, u rôznych smerov strihania vzoriek boli pevnosti spoja u bavlny a u skla približne rovnaké.

10.4.3. SKÚŠKA PEVNOSTI V ŤAHU A ďAŽNOSTI TEXTÍLIE

Popis priebehu skúšky :

U bavlnenej tkaniny všetky vzorky roztrhalo mimo lepený spoj, pri mechanickom namáhaní sa prejavuje ďažnosť tkaniny a ďažnosť latexového pojiva mäkkým kľzaním vrstiev po sebe, v poslednej fáze došlo k pretrhu tkaniny mimo lepený spoj. U sklenenej tkaniny všetky vzorky roztrhalo v lepenom spoji. Pri mechanickom namáhaní sa prejavovala tvrdosť spoja, v poslednej fáze došlo k povoleniu spoja a čel'uste trhacieho prístroja sa vrátili späť.

Zhodnotenie výsledkov :

bavlna

pevnosť : Hodnoty pevnosti sú u rôznych smerov približne rovnaké, u spoja Ox45° je pevnosť najnižšia.

ďažnosť : Rozdiel v ďažnosti v rôznych smeroch je výraznejší, najvyššia ďažnosť je u spoja UxU.

sklo

pevnosť : Je výrazný rozdiel v pevnosti spoja, kde jednou zo zlepovaných častí bola tkanina strihaná pod uhlom 45°. Sú to spoje Ox45° a Úx45°, u obidvoch spojov je najnižšia pevnosť.

ďažnosť : Najvyššia ďažnosť je u spoja Úx45°, najnižšia je u spoja OxÚ.

Vyhodnotenie skúšky :

U bavlnenej tkaniny pevnosť spoja nezávisí na smere strihania = nevýrazná anizotropia, vo všetkých smeroch je približne rovnaká. Čažnosť je však rozdielna, má závislosť na smere strihania vzorky. Bavlnené spoje sú spoľahlivé, konajú veľkú adhéznu prácu. Spoje sú pevnejšie než pôvodná tkanina. U sklenených spojov je výrazná anizotropia. Pevnosť a čažnosť spoja závisí na smere strihania tkaniny. Najvyššiu čažnosť majú spoje, kde je jedna časť šikmo strihaná, najvyššiu pevnosť majú spoje UxU. Z grafického priebehu kriviek pevnosti a čažnosti spojov možno vyvodiť, že spoje OxO, OxÚ, ÚxÚ konajú malú adhéznu prácu a nie sú spoľahlivé. Spoľahlivé spoje sú s šikmo strihanou časťou, teda Ox45° a Úx45°

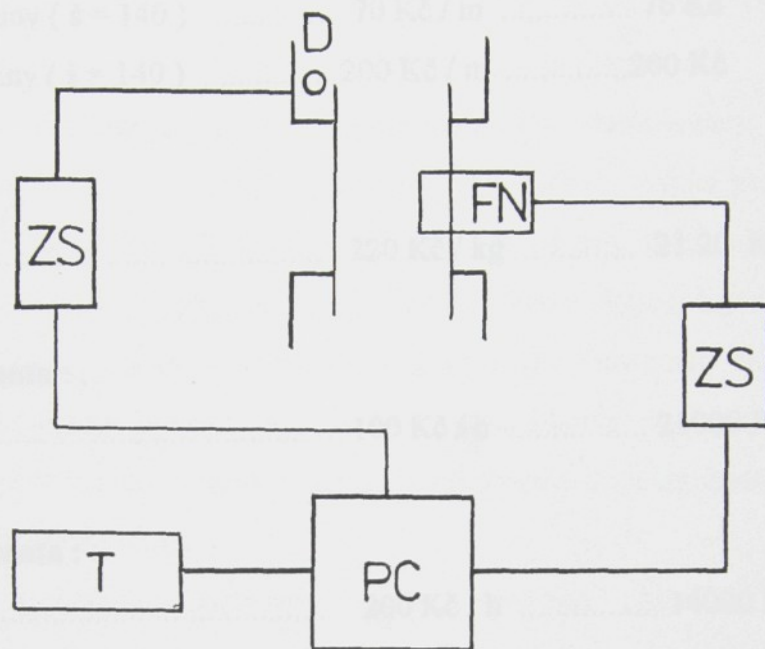
Pre experiment v diplomovej práci boli pripravované vzorky aj na zistovanie mechanoluminiscencie a akustickej emisie pri mechanickom zaťažovaní vzoriek. Toto meranie sa nepodarilo uskutočniť z toho dôvodu, že v dobe prevádzania experimentu neboli k dispozícii nutné meracie prístroje. Ako námet ďalšieho skúmania mechanických vlastností adhéznych spojov sú uvedené základné predpoklady tejto skúšky a schematické znázornenie potrebných prístrojov.

Akustická emisia je elastické vlnenie , ktoré je dôsledkom náhleho uvoľnenia energie v materiale.

Podmienky ideálneho experimentu [7] :

- 1) východzia látka (luminofór) musí byť v podobe monokryštálu , ktorého štruktúra a luminiscenčné vlastnosti sú presne známe
- 2) na takto známy monokryštál je nutné pôsobiť za presne definovaných podmienok, ktorými sú dynamické alebo statické namáhanie , pôsobiace v presne definovanom danom smere , za rovnakých vonkajších podmienok , teploty , tlaku , atmosféry , elektrického a magnetického poľa a podmienok vonkajšieho ožiarenia. Pri dynamickom namáhaní je treba vedieť výšku amplitúdy vonkajšieho pôsobenia , jeho periódu , tvar a časový priebeh vonkajšieho pulzu , prípadne jeho frekvenčný rozklad , a či pritom prebiehajúca deformácia je elastická , plastická alebo ide o lom.

Náčrt ideálneho zariadenia pre meranie mechanických vlastností lepených spojov,
mechanoluminiscencie a akustickej amisie :



D..... detektor

T..... tiskáreň

FN..... fotonásobič

ZS..... zosilovač

PC..... počítač

Obr.10.2. Náčrt ideálneho experimentu pre meranie lepených spojov

11. EKONOMICKÉ ZHODNOTENIE DIPLOMOVEJ PRÁCE

a) Spotreba materiálu :

0.80 m bavlnenej tkaniny (š = 140) 70 Kč / m 76 Kč

1.00 m sklenenej tkaniny (š = 140) 200 Kč / m 200 Kč

b) Spotreba lepidla:

0.0964 kg 220 Kč / kg 21.20 Kč

c) Počet hodín diplomanta :

210 h 100 Kč / h 21000 Kč

d) Počet hodín konzultanta :

70 h 200 Kč / h 14000 Kč

Celkové náklady tejto diplomovej práce činia **35 300**, Kč bez obchodnej prirážky .

12. ZÁVER

Adhezné spojovanie nie je v súčasnej dobe príliš rozšírenou technológiou spojovania. Je v štádiu vývoja. Predsa ale nachádza uplatnenie v technickej konfekcii, zvlášť tam, kde sa vyžaduje veľká pevnosť v šmyku a veľká rázová pevnosť. V odevnom priemysle sa tento netradičný spôsob spojovania obmedzuje prevažne na plošné podlepovanie.

V diplomovej práci sú zhrnuté poznatky o mechanických vlastnostiach lepených spojov bavlnenej a sklenenej tkaniny. Latexové pojivo SOKRAT vytvára mäkké pružné spoje, ktoré sú z praktického a estetického hľadiska použiteľné pre odevný priemysel. Vyhodnotením celého experimentu sa došlo k zaujímavým problémom, ktoré doporučujem ako námety do ďašich diplomových prác : zistenie závislosti mechanických vlastností na hrúbke vrstvy u jednoducho preplátovaného spoja, podrobnejšie preskúmanie mechanických vlastností sklenenej tkaniny v osnove po nanesení vrstvy, preskúmanie koncentrácie napätia u šikmo strihanej sklenenej vystuženej tkaniny.

Lepené spoje sú veľmi komplikované, ukazujú vysokú citlosť na dodržovanie technologických podmienok (teploty, tlaku). Bolo by zaujímavé podrobnejšie sa touto citlosťou zaoberať. Aj naše použité tkaniny (sklo = káblík, bavlna = priadza) sú veľmi komplikované pre teoretický popis adhézie. Bolo by vhodné ďalšie experimenty prevádztať na tkaninách z monofilových vláken pre preskúmanie teórie adhézie.

ZOZNAM LITERATÚRY

- [1] Osten,M.: Práce s lepidly a tmely, SNTL, Praha 1986
- [2] Motejl,T.: Stroje a zařízení v oděvní výrobě, SNTL, Praha 1984
- [3] Sodomka,L.: Nekonvenčné způsoby spojování a oddělování(přednášky), TU Liberec 1996
- [4] Osten,M.: Lepení plastických hmot, SNTL, Praha 1972
- [5] Osten,M.: Práce s lepidly a tmely, Grada Publishing 1996
- [6] Bábek,M.; Liška,J.; Valenta,V.: Latexy - jejich druhy a zpracování, SNTL, Praha 1996
- [7] Sodomka,L.: Mechanoluminiscence a její použití, Academia Praha 1985
- [8] Prospekt Chemických závodů Sokolov, a.s. pro polyakrylátové disperze rady SOKRAT
- [9] Simon,J.: Textilní materiály, Praha 1954
- [10] Švédová,J. a kol.: Technické textílie, VÚ lykových vláken, Šumperk 1978
- [11] Návod k obsluze TIRATESTU

ZOZNAM A ROZSAH PRÍLOH

	počet stran
1. Grafy a výsledky skúšky pevnosti v ťahu a ťažnosti vystuženej tkaniny	24
2. Grafy a výsledky skúšky pevnosti spoja vrstiev	10
3. Grafy a výsledky skúšky pevnosti v ťahu a ťažnosti textílie	15
4. Popis skúšiek na prístroji TIRATEST 2150	2
5. Vzor výpočtu adheznej práce	1

PRÍLOHA 1

(popis súčtu výpočtu)

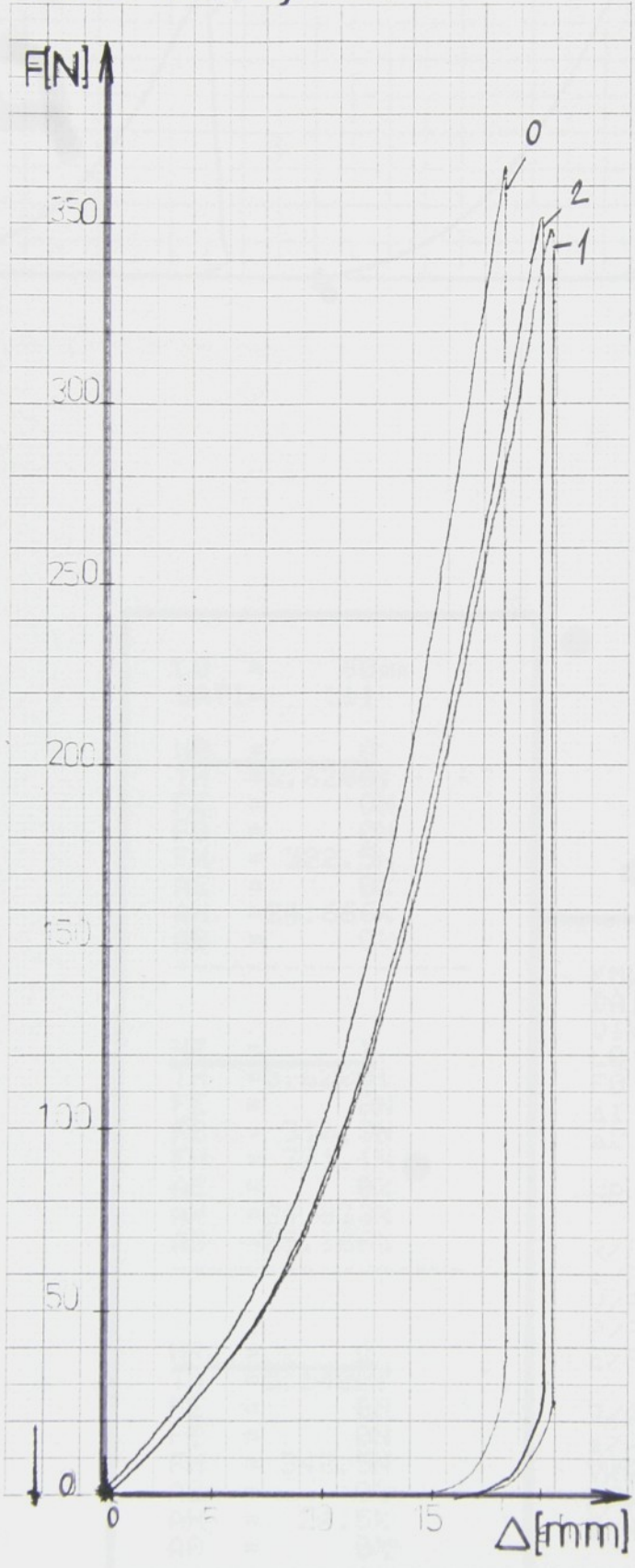
(popis súčtu výpočtu)

PRÍLOHA 1

Grafy a výsledky skúšky pevnosti v tahu a t'ažnosti vystuženej tkaniny

(počet stran 24)

O bez vrstvy ba



STANDARDPROGRAMM

TEXTIL

L0 = 100mm

z2 = 10N

DAT1 = 01

NR = 0

TH = 6.8801s

FE = 0N

FB = 366.6N

FH = 366.6N

AE = 0%

AH = 18.4%

AB = 18.4%

NR = 1

TH = 7.4801s

FE = 0N

FB = 346.6N

FH = 347.7N

AE = 0%

AH = 20%

AB = 20.2%

NR = 2

TH = 7.4401s

FE = 0N

FB = 350.5N

FH = 350.5N

AE = 0%

AH = 19.9%

AB = 19.9%

KMW: 1KN

DAT1 = 01

DIV = 1

L0 = 100mm

F0 = 0N

z1 = 0N

z2 = 10N

NR = 3

X/FH=354.93%

s/FH=10.201%

V/FH=2.8743%

P/FH=7.1357%

E/FH=344.73N

X/AH=19.433%

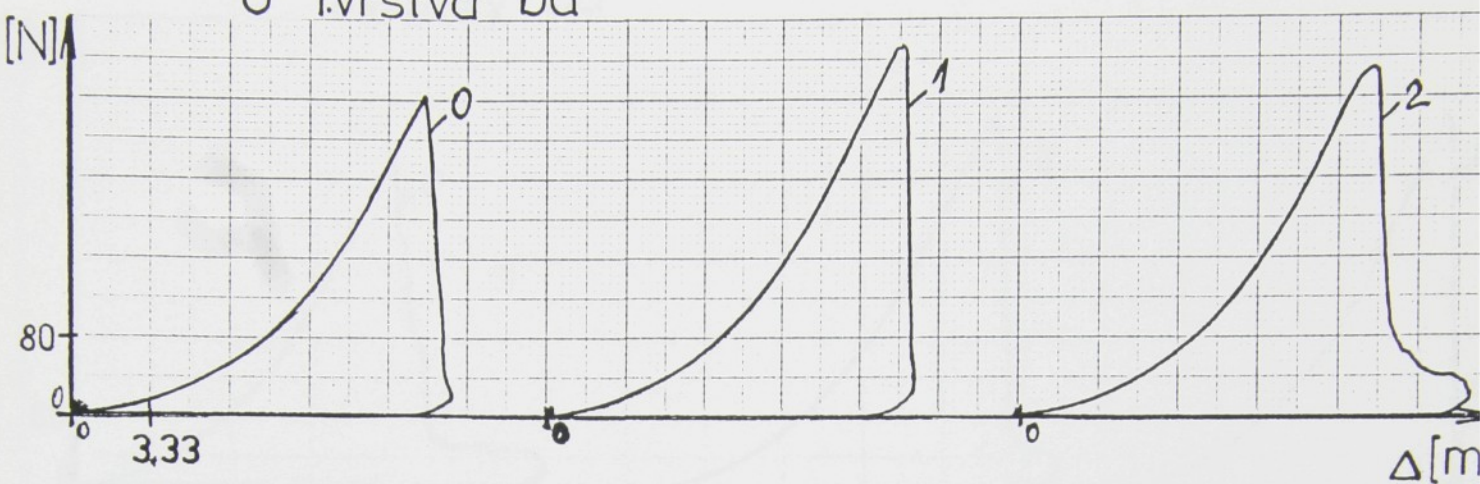
s/AH=0.8963%

V/AH=4.6125%

P/AH=11.451%

E/AH=18.537%

0 1vrstva ba



L0 = 60mm
DAT1= 111

NR = 0
TH = 5.6200s
FE = 0N
FB = 0N
FH = 322.5N
AE = 0%
AH = 24.666%
AB = 0%

NR = 1
TH = 5.6200s
FE = 0N
FB = 310.3N
FH = 371.1N
AE = 0%
AH = 24.833%
AB = 25.166%

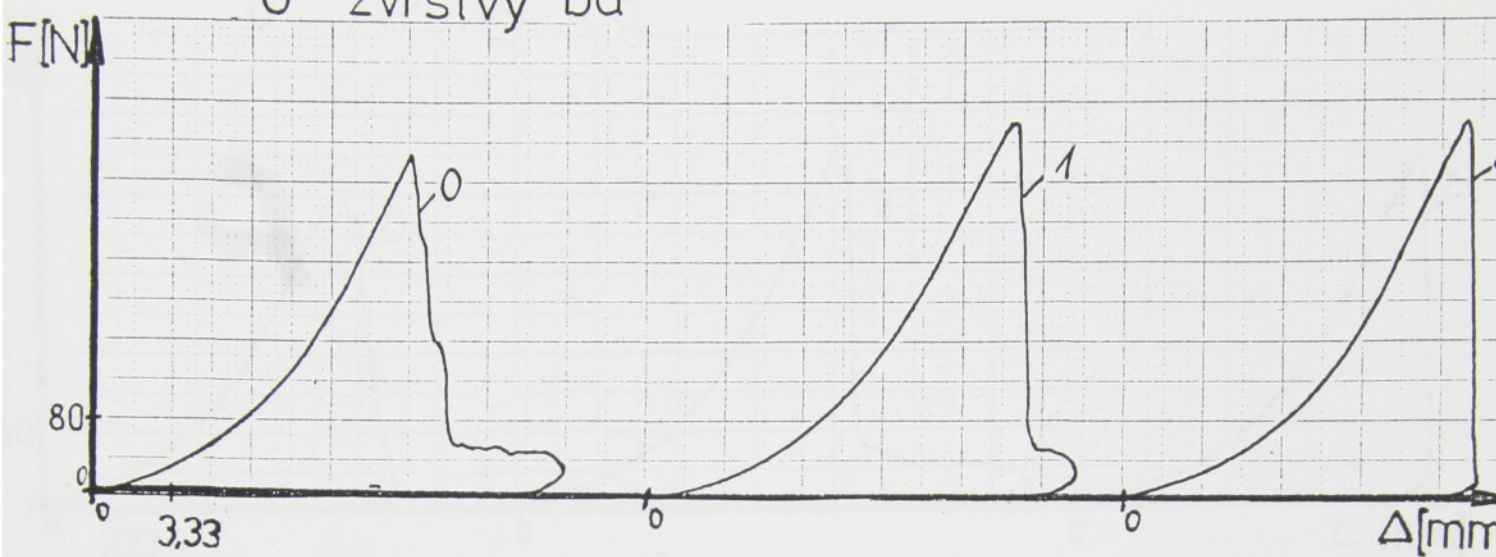
NR = 2
TH = 5.5480s
FE = 0N
FB = 0N
FH = 348.5N
AE = 0%
AH = 24.5%
AB = 0%

KMW: 1KN
DAT1= 111
DIV = 1
L0 = 60mm
FO = 0N
z1 = 0N
z2 = 100N

NR = 3
 $\bar{x}/FH = 347.36\%$
 $s/FH = 24.320\%$
 $V/FH = 7.0013\%$
 $P/FH = 17.381\%$
 $E/FH = 323.04N$

$\bar{x}/AH = 24.666\%$
 $s/AH = 0.1671\%$
 $V/AH = 0.6778\%$
 $P/AH = 1.6827\%$
 $E/AH = 24.499\%$

0 2vrstvy ba



DAT1= 121

NR = 0
TH = 5.2400s
FE = 0N
FB = 0N
FH = 343.9N
AE = 0%
AH = 23.166%
AB = 0%

NR = 1
TH = 5.7600s
FE = 0N
FB = 0N
FH = 379.3N
AE = 0%
AH = 25.5%
AB = 0%

NR = 2
TH = 5.4000s
FE = 0N
FB = 313.8N
FH = 374N
AE = 0%
AH = 23.833%
AB = 24%

KMW: 1KN
DAT1= 121

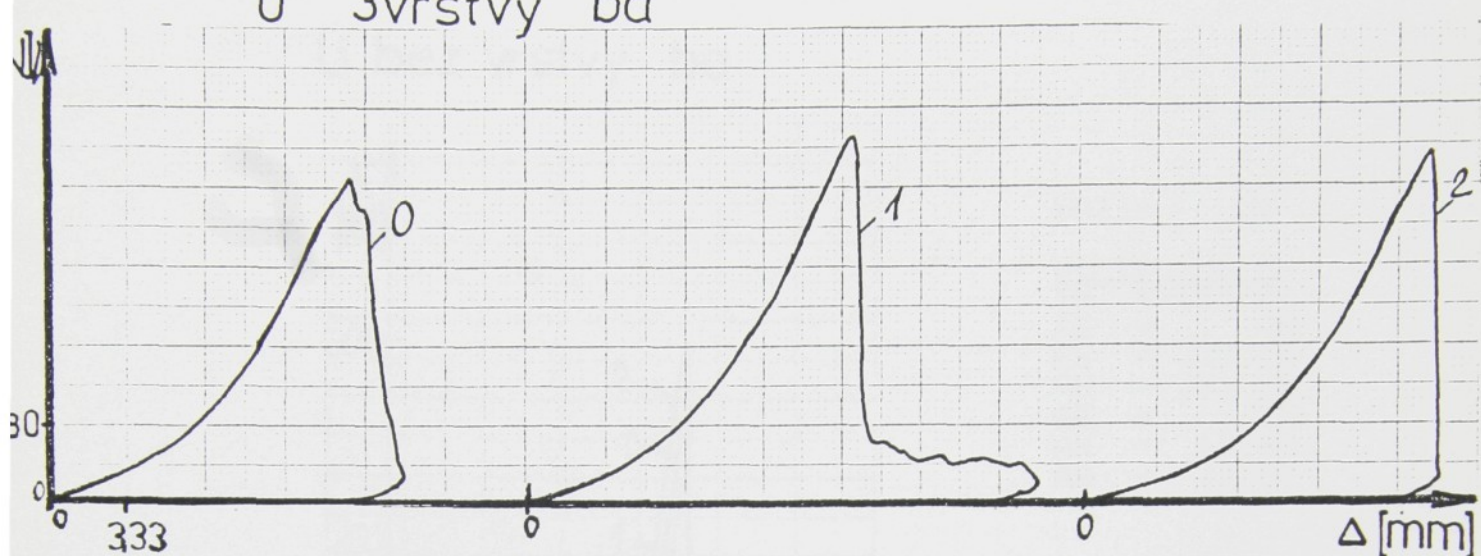
DIV = 1
L0 = 60mm
F0 = 0N
Δ1 = 0N
Δ2 = 100N

NR = 3

R/FH=365.73N
s/FH=19.093N
V/FH=5.2206%
P/FH=12.960%
E/FH=346.64N

R/AH=24.166%
s/AH=1.2018%
V/AH=4.9733%
P/AH=12.346%
E/AH=22.964%

0 3vrstvy ba



DAT1= 131

NR	=	0
TH	=	4.8400s
FE	=	0N
FB	=	0N
FH	=	322.1N
AE	=	0%
AH	=	21.333%
AB	=	0%

NR	=	1
TH	=	5.1000s
FE	=	0N
FB	=	0N
FH	=	366.1N
AE	=	0%
AH	=	22.5%
AB	=	0%

NR	=	2
TH	=	5.5800s
FE	=	0N
FB	=	294N
FH	=	358.8N
AE	=	0%
AH	=	24%
AB	=	24.166%

KMU: 1KN

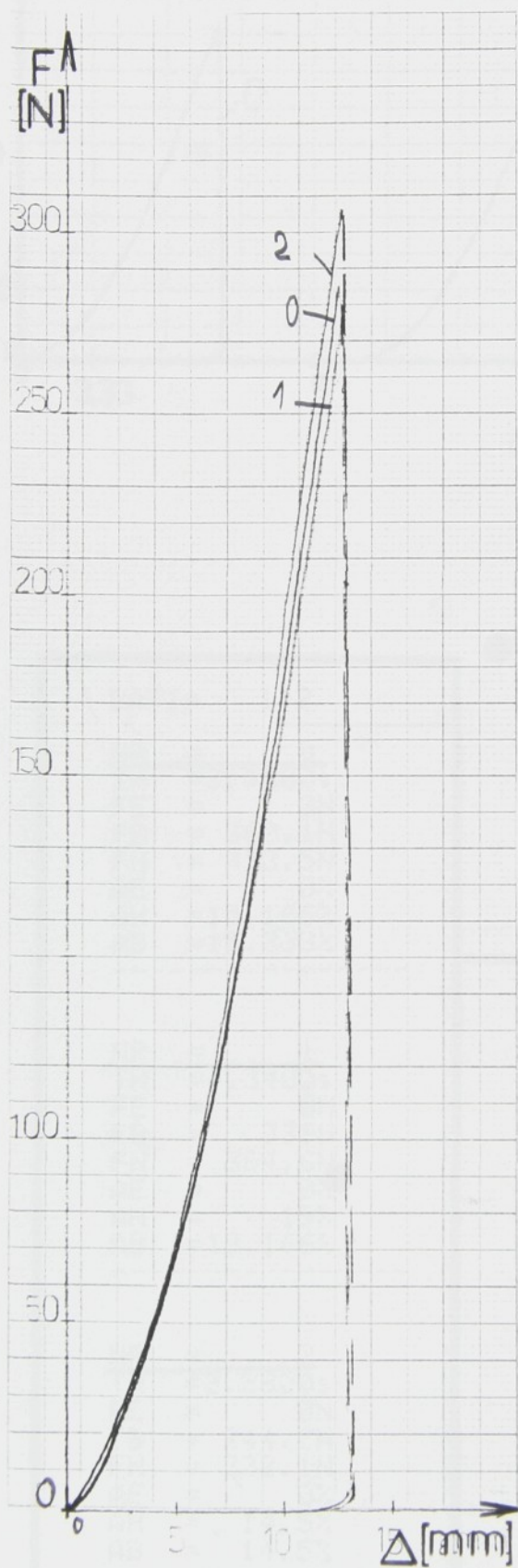
DAT1=	131
DIV	= 1
L0	= 60mm
FO	= 0N
A1	= 0N
A2	= 100N

NR = 3

X/FH=	346.33N
s/FH=	22.338%
V/FH=	6.4498%
P/FH=	16.012%
E/FH=	323.99N

X/AH=	22.611%
s/AH=	1.3368%
V/AH=	5.9122%
P/AH=	14.677%
E/AH=	21.274%

Ú bez vrstvy ba



DAT1= 21

NR =	0
TH =	4.8000s
FE =	0N
FB =	339.1N
FH =	339.1N
AE =	0%
AH =	12.8%
AB =	12.8%

NR =	1
TH =	4.7800s
FE =	0N
FB =	329.2N
FH =	329.2N
AE =	0%
AH =	12.7%
AB =	12.7%

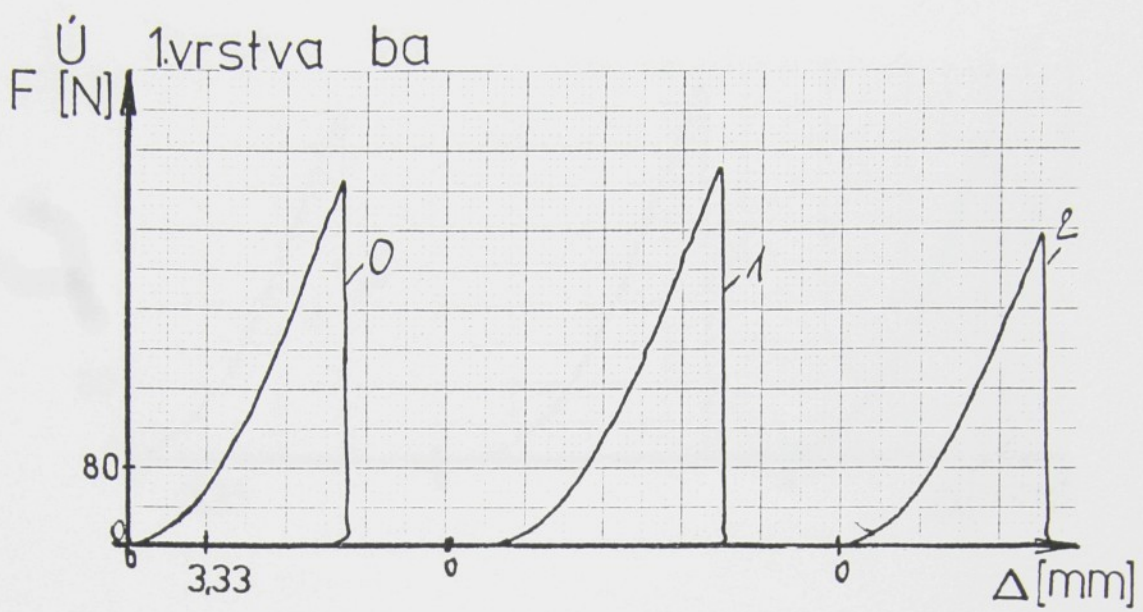
NR =	2
TH =	4.8000s
FE =	0N
FB =	358.5N
FH =	358.6N
AE =	0%
AH =	12.8%
AB =	12.8%

KMW: 1KN
 DAT1= 21
 DIV = 1
 L0 = 100mm
 F0 = 0N
 Δ_1 = 0N
 Δ_2 = 10N

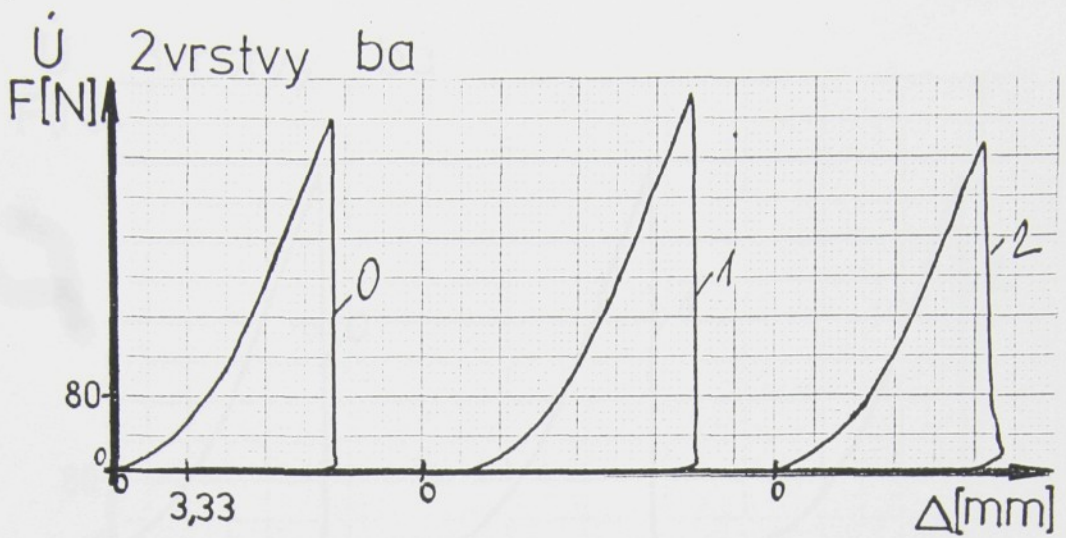
NR = 3

$\bar{x}/FH = 342.3\%$
 $s/FH = 14.959\%$
 $V/FH = 4.3702\%$
 $P/FH = 10.849\%$
 $E/FH = 327.34\%$

$\bar{x}/AH = 12.766\%$
 $s/AH = 0.0580\%$
 $V/AH = 0.4548\%$
 $P/AH = 1.1292\%$
 $E/AH = 12.708\%$



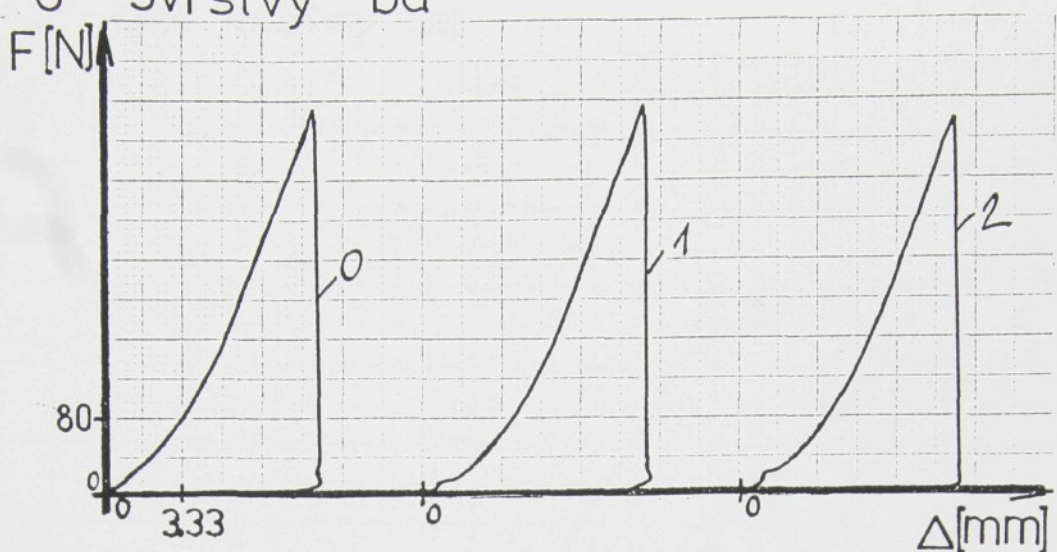
DAT1= 112		KMU: 1kN
NR = 0		DAT1= 112
TH = 3.4600s		DIV = 1
FE = 0N		L0 = 60mm
FB = 360.1N		FO = 0N
FH = 373.5N		A1 = 0N
AE = 0%		A2 = 100N
AH = 15.166%		
AB = 15.333%		
NR = 1		NR = 3
TH = 4.3400s		X/FH=360.06N
FE = 0N		s/FH=33.346%
FB = 339N		V/FH=9.261%
FH = 384.6N		P/FH=22.991%
AE = 0%		E/FH=326.72N
AH = 19%		
AB = 19.166%		X/AH=16.222%
		s/AH=2.4286%
NR = 2		V/AH=14.971%
TH = 3.2800s		P/AH=37.167%
FE = 0N		E/AH=13.792%
FB = 244.7N		
FH = 322.1N		
AE = 0%		
AH = 14.5%		
AB = 14.5%		



DAT1= 122	KMW: 1KN
NR = 0	DAT1= 122
TH = 3.5600s	DIV = 1
FE = 0N	L0 = 60mm
FB = 351.8N	FO = 0N
FH = 356.9N	Δ1 = 0N
AE = 0%	Δ2 = 100N
AH = 15.666%	NR = 3
AB = 15.833%	$\bar{x}/FH=357.06N$
-----	$s/FH=25.051N$
NR = 1	$V/FH=7.0158%$
TH = 4.4000s	$P/FH=17.417%$
FE = 0N	$E/FH=332.01N$
FB = 304.4N	$\bar{x}/AH=16.388%$
FH = 382.2N	$s/AH=2.4963%$
AE = 0%	$V/AH=15.231%$
AH = 19.166%	$P/AH=37.814%$
AB = 19.333%	$E/AH=13.892%$

NR = 2	
TH = 3.2600s	
FE = 0N	
FB = 0N	
FH = 332.1N	
AE = 0%	
AH = 14.333%	
AB = 0%	

Ú 3vrstvy ba



DAT1 = 132

NR	=	0
TH	=	3.4688s
FE	=	0N
FB	=	385.2N
FH	=	387N
AE	=	0%
AH	=	14.833%
AB	=	14.833%

NR	=	1
TH	=	3.1688s
FE	=	0N
FB	=	352.4N
FH	=	391.3N
AE	=	0%
AH	=	15.666%
AB	=	15.833%

NR	=	2
TH	=	2.8688s
FE	=	0N
FB	=	360N
FH	=	379N
AE	=	0%
AH	=	15%
AB	=	15%

KMU: 1KN

DAT1	=	132
DIV	=	1
L0	=	60mm
F0	=	0N
Δ1	=	0N
Δ2	=	100N

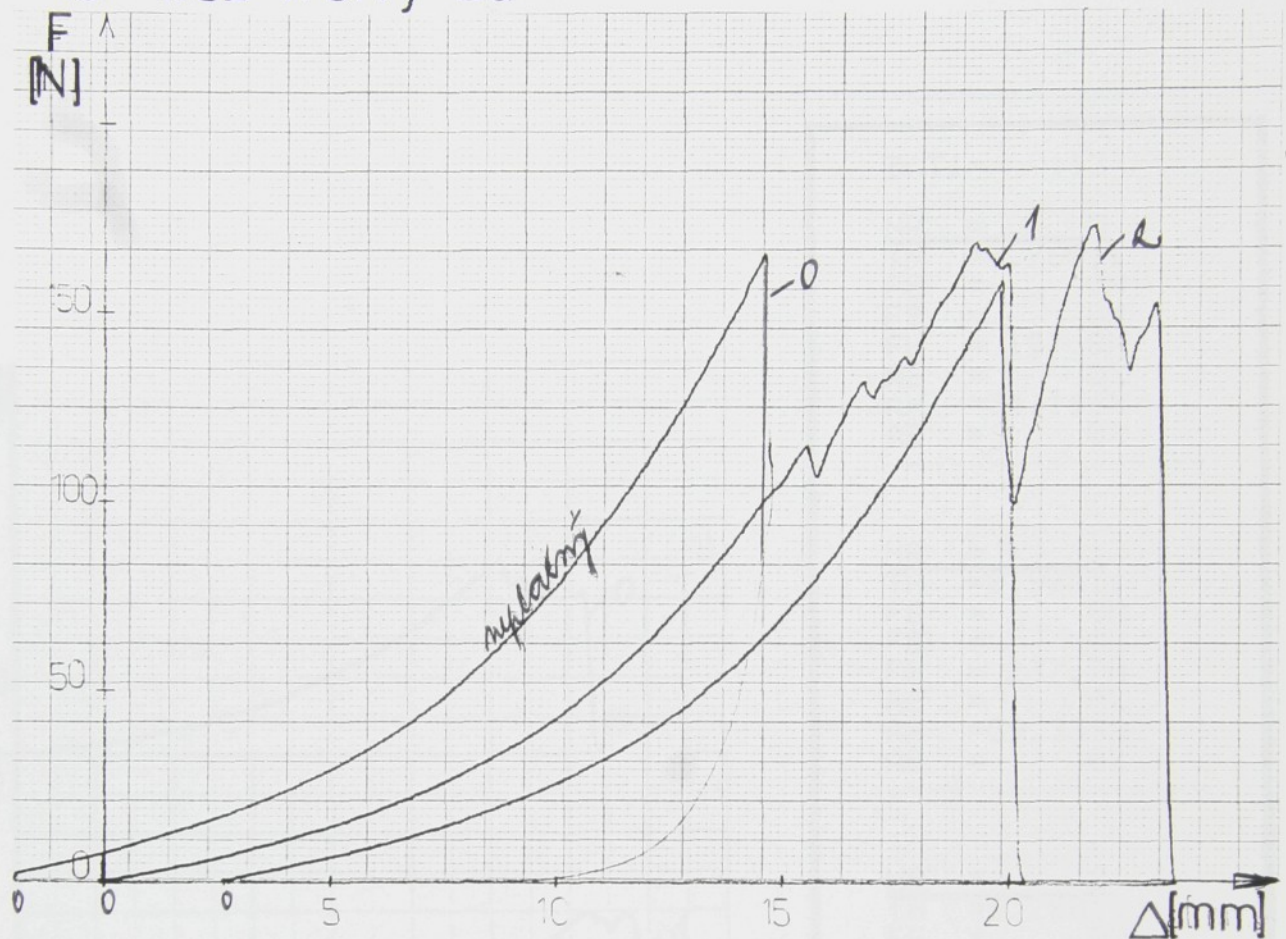
NR = 3

R/FH	=	385.76N
s/FH	=	6.2462N
V/FH	=	1.6191%
P/FH	=	4.0197%
E/FH	=	379.52N

R/AH	=	15.166%
s/AH	=	0.4410%
V/AH	=	2.9079%
P/AH	=	7.2193%
E/AH	=	14.725%

45° bez vrstvy ba

F
N



$$\Delta t_1 = 31 \\ \Delta t_2 = 100\text{N}$$

$$\begin{aligned} NR &= 0 \\ TH &= 13.660\text{s} \\ FE &= 0\text{N} \\ FB &= 0\text{N} \\ FH &= 160.9\text{N} \\ AE &= 0\% \\ AH &= 36.5\% \\ AB &= 0\% \end{aligned}$$

$$\begin{aligned} NR &= 1 \\ TH &= 13.520\text{s} \\ FE &= 0\text{N} \\ FB &= 0\text{N} \\ FH &= 165.3\text{N} \\ AE &= 0\% \\ AH &= 36.1\% \\ AB &= 0\% \end{aligned}$$

$$\begin{aligned} KMW &= 1\text{KN} \\ \Delta t_1 &= 31 \\ \Delta t_2 &= 100\text{N} \end{aligned}$$

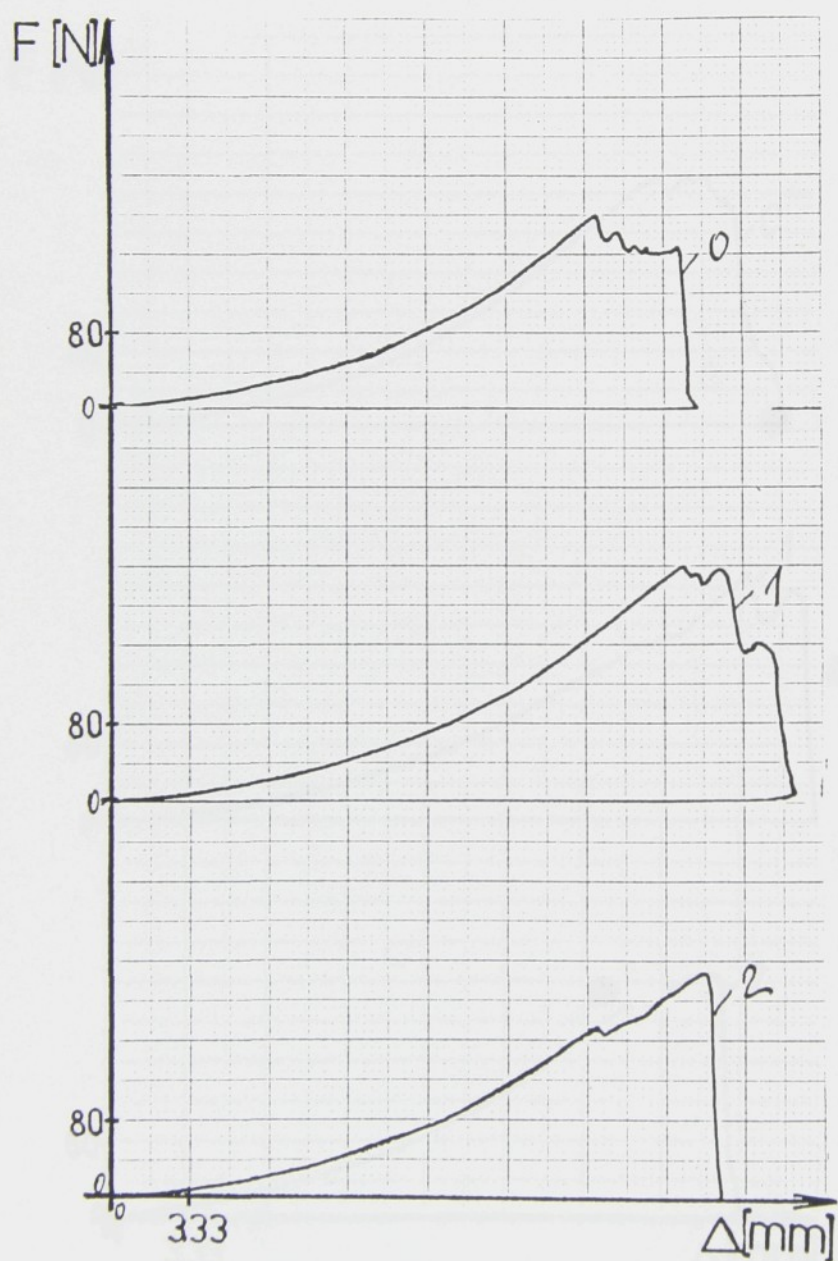
$$\begin{aligned} L_0 &= 100\text{mm} \\ F_0 &= 0\text{N} \\ \Delta_1 &= 0\text{N} \\ \Delta_2 &= 100\text{N} \end{aligned}$$

$$NR = 2$$

$$\begin{aligned} \bar{x}/FH &= 163.1\text{N} \\ s/FH &= 3.1118\% \\ V/FH &= 1.9079\% \\ P/FH &= 5.8012\% \\ E/FH &= 159.98\text{N} \end{aligned}$$

$$\begin{aligned} \bar{x}/AH &= 36.3\% \\ s/AH &= 0.2825\% \\ V/AH &= 0.7783\% \\ P/AH &= 2.3666\% \\ E/AH &= 36.017\% \end{aligned}$$

45° 1vrstva ba



DAT1= 113

NR	=	0
TH	=	7.7601s
FE	=	0N
FB	=	0N
FH	=	197.8N
AE	=	0%
AH	=	34.166%
AB	=	0%

NR	=	1
TH	=	8.9001s
FE	=	0N
FB	=	0N
FH	=	237.7N
AE	=	0%
AH	=	39.333%
AB	=	0%

NR	=	2
TH	=	9.2801s
FE	=	0N
FB	=	0N
FH	=	226.1N
AE	=	0%
AH	=	41%
AB	=	0%

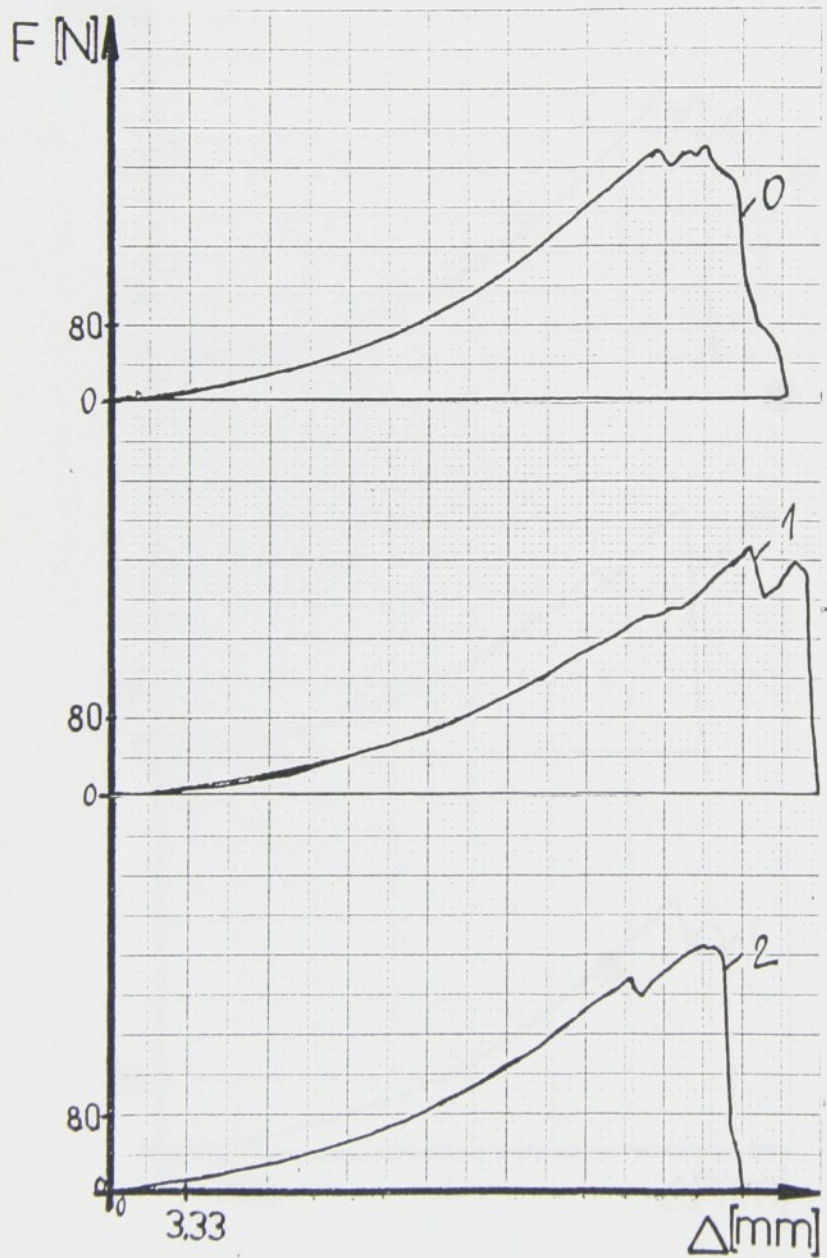
KMW: 1KN
 DAT1= 113
 DIV = 1
 L0 = 60mm
 F0 = 0N
 Δ_1 = 0N
 Δ_2 = 100N

NR = 3

$\bar{x}/FH=220.53\%$
 $s/FH=20.524\%$
 $V/FH=9.3067\%$
 $P/FH=23.104\%$
 $E/FH=200.00N$

$\bar{x}/AH=38.166\%$
 $s/AH=3.5630\%$
 $V/AH=9.3354\%$
 $P/AH=23.176\%$
 $E/AH=24.592\%$

45° 2vrstvy ba



DAT1= 123

NR	=	0
TH	=	9.3401s
FE	=	0N
FB	=	0N
FH	=	256.7N
AE	=	0%
AH	=	41.166%
AB	=	0%

NR	=	1
TH	=	9.96801s
FE	=	0N
FB	=	0N
FH	=	250.8N
AE	=	0%
AH	=	44.166%
AB	=	0%

NR	=	2
TH	=	9.32001s
FE	=	0N
FB	=	0N
FH	=	244.1N
AE	=	0%
AH	=	41.166%
AB	=	0%

KMW: 1KN
 DAT1= 123
 DIV = 1
 LO = 60mm
 FO = 0N
 Δ_1 = 0N
 Δ_2 = 100N

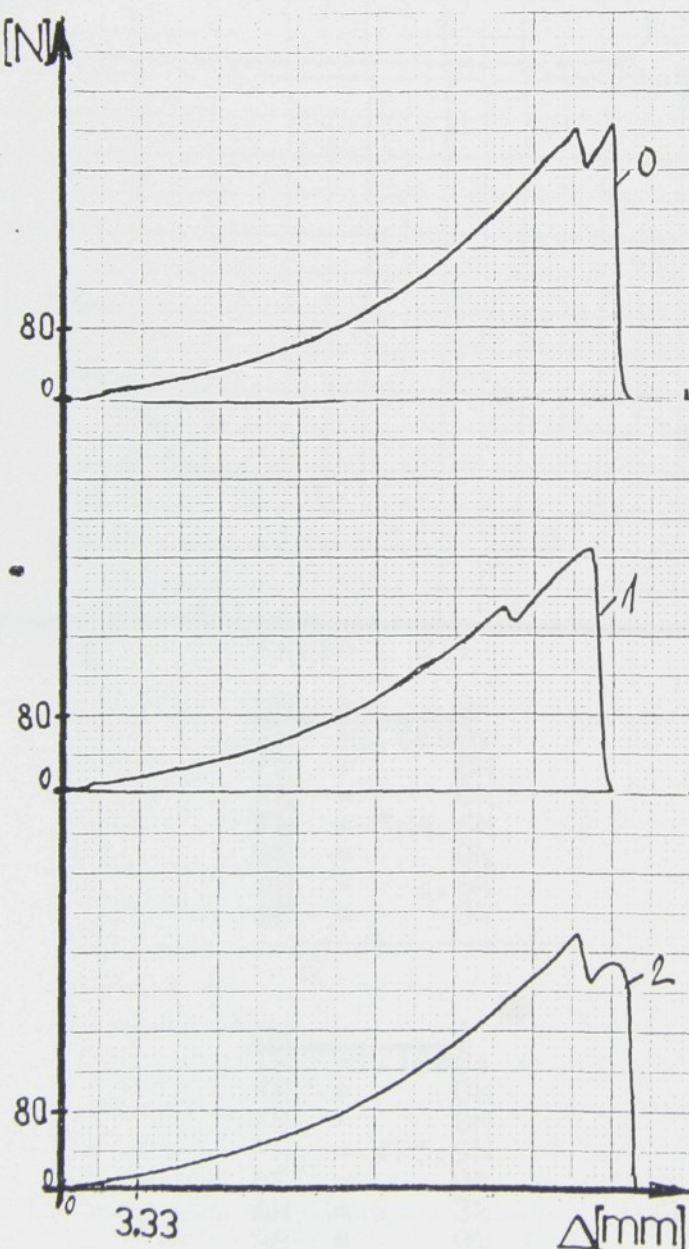
NR = 3

$\bar{x}/FH=250.53N$
 $s/FH=6.3053N$
 $V/FH=2.5167\%$
 $P/FH=6.2481\%$
 $E/FH=244.22N$

$\bar{x}/AH=42.166\%$
 $s/AH=1.7321\%$
 $V/AH=4.1078\%$
 $P/AH=10.198\%$
 $E/AH=48.434\%$

45° 3vrstvy ba

F[N]



DAT1= 133

NR	=	0
TH	=	8.1601s
FE	=	0%
FB	=	0%
FH	=	282.9N
AE	=	0%
AH	=	38.833%
AB	=	0%

NR	=	1
TH	=	7.9401s
FE	=	0%
FB	=	0%
FH	=	244.6N
AE	=	0%
AH	=	37.166%
AB	=	0%

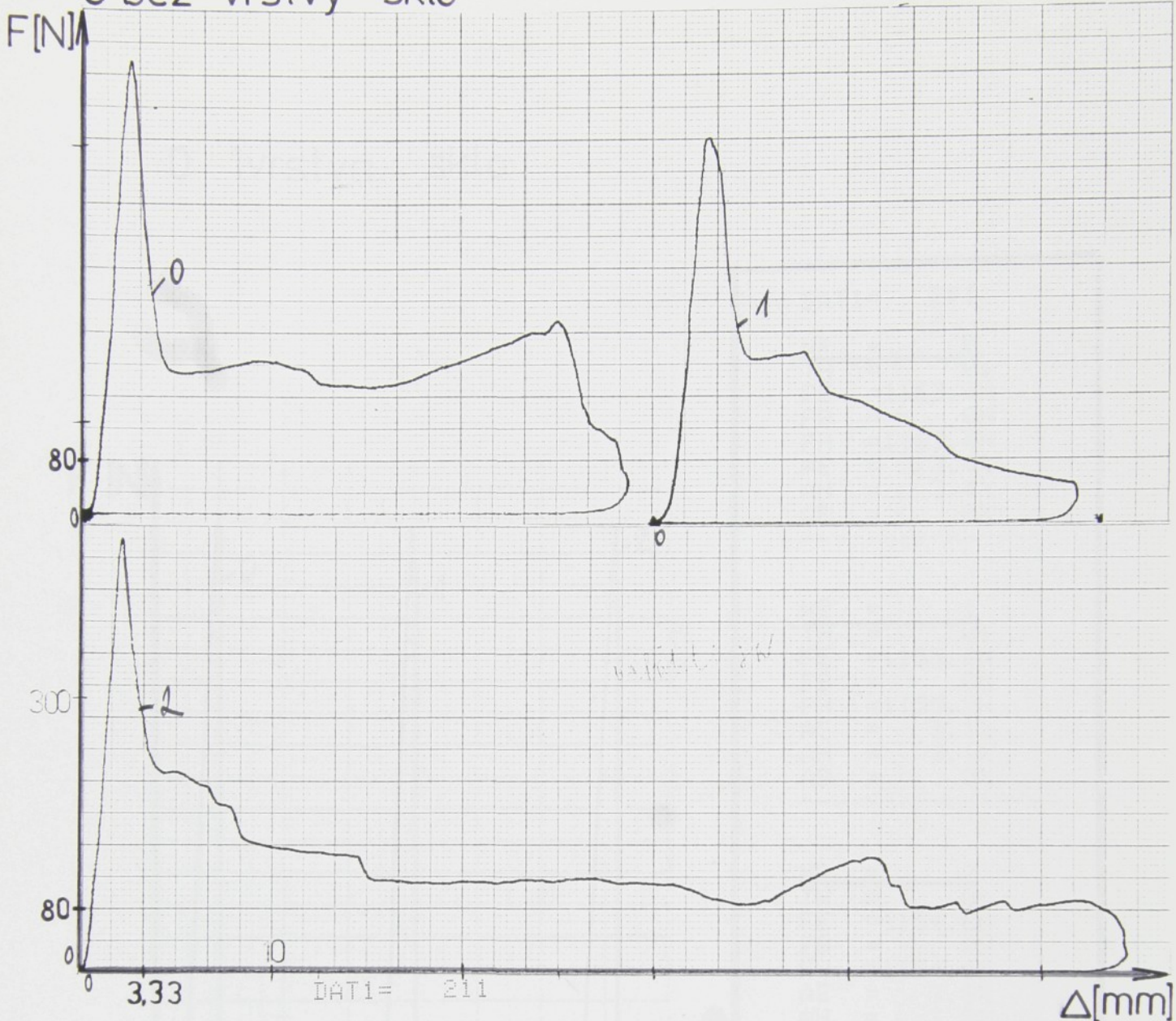
NR	=	2
TH	=	7.8801s
FE	=	0%
FB	=	0%
FH	=	256.9N
AE	=	0%
AH	=	36%
AB	=	0%

KMW:	1KN
DAT1:	133
DIV:	1
LO:	69mm
FO:	0N
Δ1:	0N
Δ2:	100N
NR:	3

R/FH=261.46N
 s/FH=19.554N
 V/FH=7.4786%
 P/FH=18.566%
 E/FH=241.91N

R/AH=37.333%
 s/AH=1.4240%
 V/AH=3.8143%
 P/AH=9.4695%
 E/AH=35.909%

O bez vrstvy sklo



$NR = 0$
 $TH = 1.0600s$
 $FE = 0N$
 $FB = 0N$
 $FH = 564.6N$
 $AE = 0\%$
 $AH = 2.8\%$
 $AB = 0\%$

$KMW: 1KN$
 $DAT1 = 211$
 $DIV = 1$
 $L0 = 100mm$
 $F0 = 0N$
 $\Delta 1 = 0N$
 $\Delta 2 = 100N$

$NR = 1$
 $TH = 1.1600s$
 $FE = 0N$
 $FB = 0N$
 $FH = 475.9N$
 $AE = 0\%$
 $AH = 3\%$
 $AB = 0\%$

$R/FH = 528.2N$
 $s/FH = 46.439N$
 $V/FH = 8.7920\%$
 $P/FH = 21.827\%$
 $E/FH = 481.76N$

$NR = 2$
 $TH = 0.9600s$
 $FE = 0N$
 $FB = 0N$
 $FH = 544.1N$
 $AE = 0\%$
 $AH = 2.5\%$
 $AB = 0\%$

$R/AH = 2.7666\%$
 $s/AH = 0.2516\%$
 $V/AH = 9.0963\%$
 $P/AH = 22.582\%$
 $E/AH = 2.515\%$

0 1vrstva sklo



DAT1= 211

NR = 0
TH = 0s
FE = 1163.4N
FB = 0N
FH = 1163.4N
AE = 3.4%
AH = 3.4%
AB = 0%

NR = 1
TH = 0s
FE = 1155.2N
FB = 0N
FH = 1155.2N
AE = 3.1%
AH = 3.1%
AB = 0%

NR = 2
TH = 0s
FE = 1154.6N
FB = 0N
FH = 1154.6N
AE = 3.8%
AH = 3.8%
AB = 0%

KMU: 1KN
DAT1= 211
DIV = 1
LG = 60mm
FO = 0N
Δ1 = 0N
Δ2 = 100N
NR = 3

Σ/FH=1157.7N
s/FH=4.9244%
V/FH=0.4253%
P/FH=1.0559%
E/FH=1152.8N

Σ/AH=5.7222%
s/AH=0.5853%
V/AH=10.228%
P/AH=25.394%
E/AH=5.1369%

O 2vrstvy sklo



DAT1= 221

NR = 0
TH = 1.5600s
FE = 0N
FB = 1605N
FH = 1605N
AE = 0%
AH = 9.75%
AB = 9.75%

NR = 1
TH = 1.5200s
FE = 0N
FB = 1138N
FH = 1283N
AE = 0%
AH = 9.75%
AB = 10.25%

NR = 2
TH = 1.1000s
FE = 0N
FB = 0N
FH = 1030N
AE = 0%
AH = 7%
AB = 0%

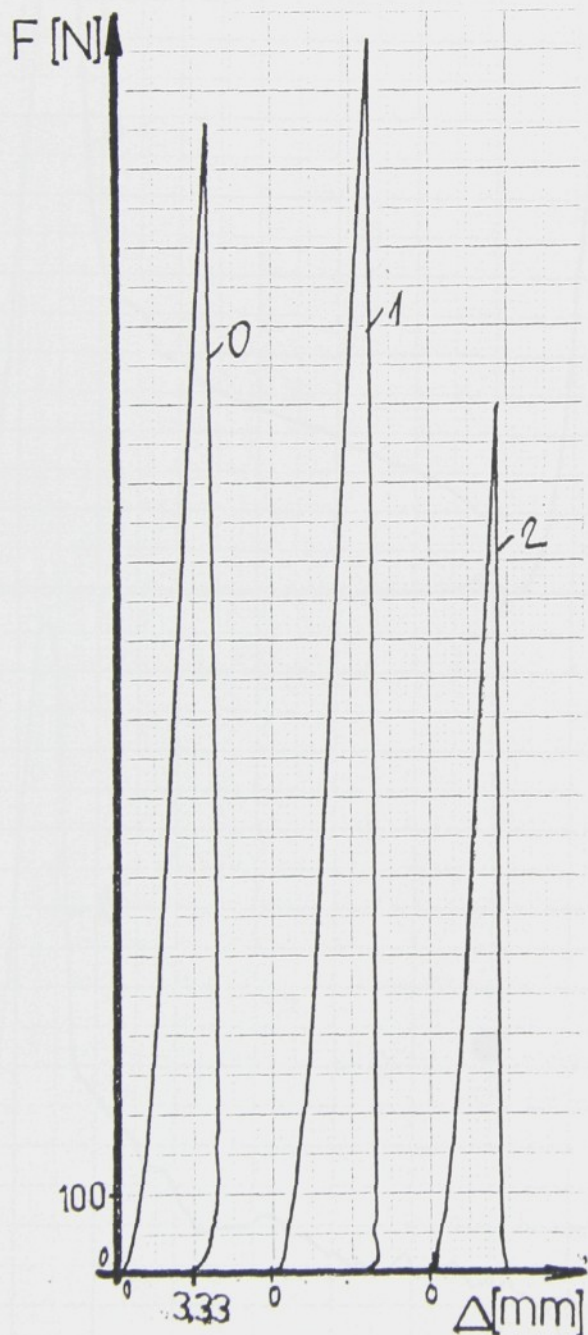
KMW: 10KN
DAT1= 221
DIV = 1
L0 = 40mm
F0 = 0N
s1 = 0N
s2 = 100N

NR = 3

$\bar{x}/FH = 1306N$
 $s/FH = 288.18N$
 $V/FH = 22.066\%$
 $P/FH = 54.782\%$
 $E/FH = 1017.8N$

$\bar{x}/AH = 8.8333\%$
 $s/AH = 1.5877\%$
 $V/AH = 17.974\%$
 $P/AH = 44.622\%$
 $E/AH = 7.2456\%$

0 3vrstvy sklo



DAT1= 231

NR	=	0
TH	=	1.6000s
FE	=	0N
FB	=	1368N
FH	=	1470N
AE	=	0%
AH	=	10.25%
AB	=	10.75%

NR	=	1
TH	=	1.6200s
FE	=	0N
FB	=	1564N
FH	=	1586N
AE	=	0%
AH	=	10.25%
AB	=	10.5%

NR	=	2
TH	=	1.1800s
FE	=	0N
FB	=	1135N
FH	=	1135N
AE	=	0%
AH	=	7.5%
AB	=	7.5%

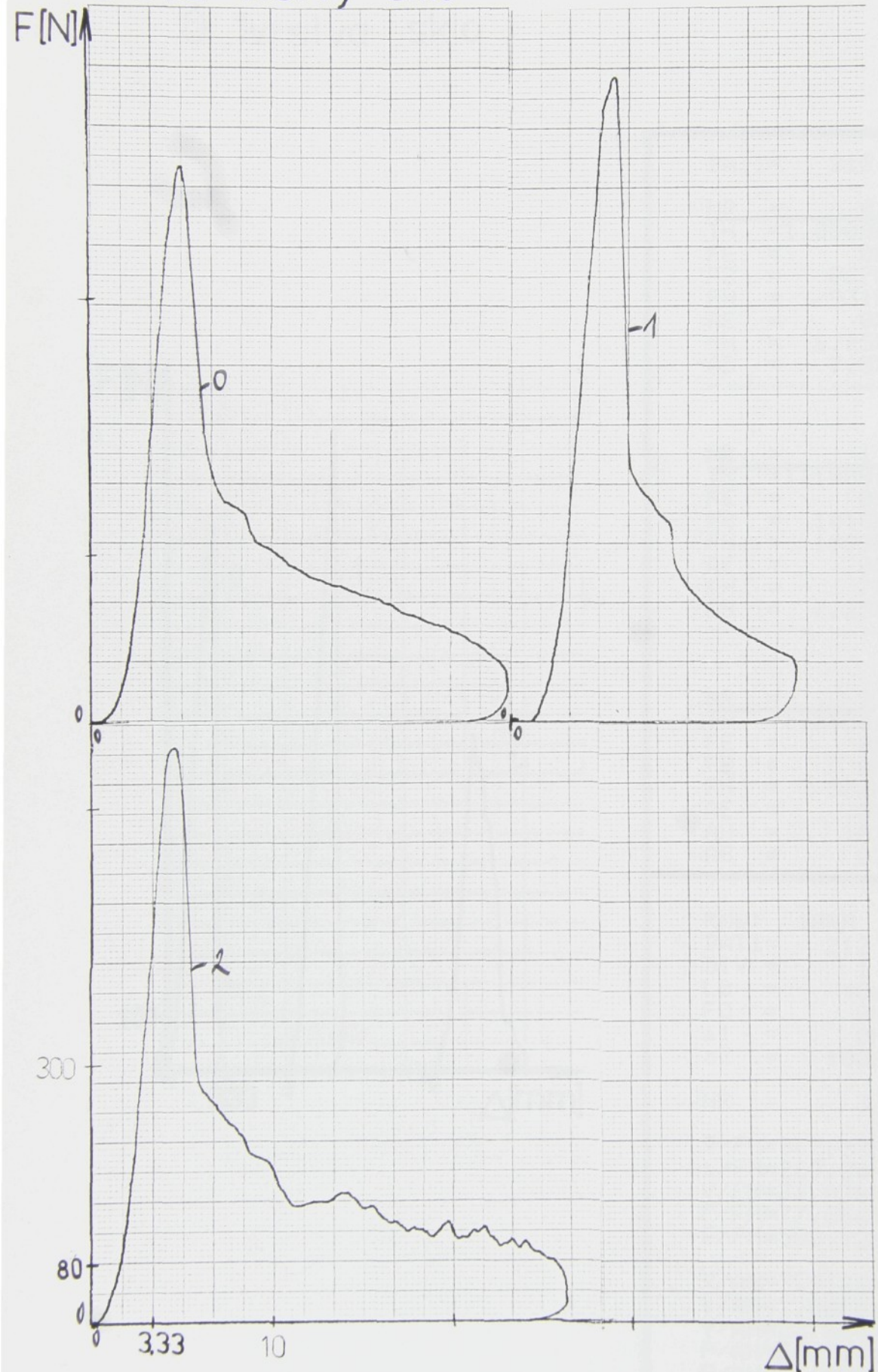
KMW: 10KN
 DAT1= 231
 DIV = 1
 L0 = 40mm
 F0 = 0N
 Δ_1 = 0N
 Δ_2 = 100N

NR = 2

$\bar{x}/FH=1360.5N$
 $s/FH=318.90N$
 $V/FH=23.440%$
 $P/FH=71.271%$
 $E/FH=1041.5N$

$\bar{x}/AH= 8.875%$
 $s/AH=1.9445%$
 $V/AH=21.910%$
 $P/AH=66.619%$
 $E/AH=6.9304%$

Ú běz vrstvy sklo



DAT1= 221

NR = 0
TH = 1.7600s
FE = 0N
FB = 0N
FH = 770.6N
AE = 0%
AH = 4.7%
AB = 0%

NR = 1
TH = 2.2200s
FE = 0N
FB = 0N
FH = 874.1N
AE = 0%
AH = 5.8%
AB = 0%

NR = 2
TH = 1.9200s
FE = 0N
FB = 0N
FH = 753.3N
AE = 0%
AH = 5%
AB = 0%

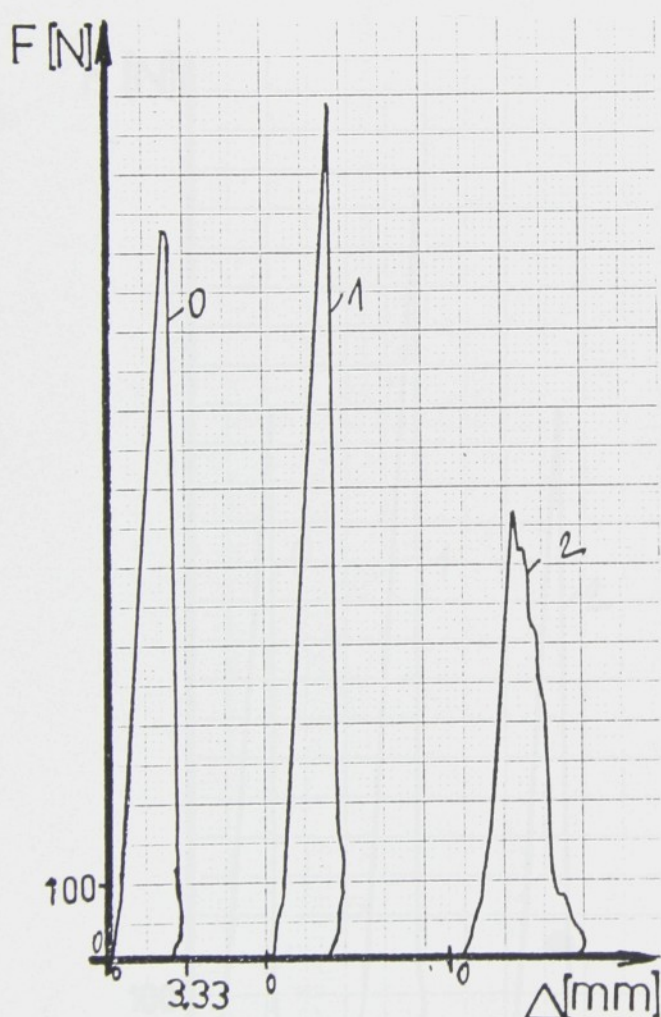
KMW: 1KN
DAT1= 221
DIV = 1
L0 = 100mm
F0 = 0N
a1 = 0N
a2 = 100N

NR = 3

X/FH=799.33N
s/FH=65.324N
V/FH=8.1723%
P/FH=20.288%
E/FH=734.00N

X/AH=5.1666%
s/AH=0.5686%
V/AH=11.005%
P/AH=27.322%
E/AH=4.5980%

Ú 1vrstva sklo



DAT1= 212

NR	=	0
TH	=	1.0800s
FE	=	0N
FB	=	867N
FH	=	931N
AE	=	0%
AH	=	6.75%
AB	=	7.5%

NR	=	1
TH	=	1.1000s
FE	=	0N
FB	=	1016N
FH	=	1099N
AE	=	0%
AH	=	7%
AB	=	7.25%

NR	=	2
TH	=	1.5600s
FE	=	0N
FB	=	0N
FH	=	572N
AE	=	0%
AH	=	10%
AB	=	0%

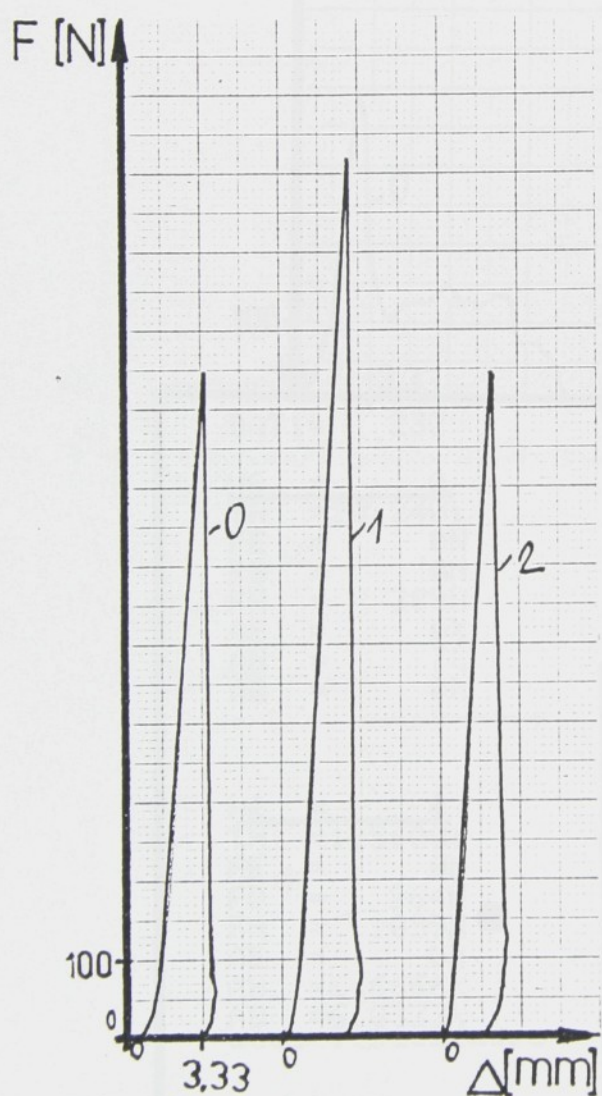
KMW:	10KN
DAT1=	212
DIV	= 1
L0	= 40mm
F0	= 0N
a1	= 0N
a2	= 100N

NR = 3

X/FH	= 867.33N
s/FH	= 269.20N
V/FH	= 31.038%
P/FH	= 77.056%
E/FH	= 598.12N

X/AH	= 7.9166%
s/AH	= 1.8085%
V/AH	= 22.844%
P/AH	= 56.714%
E/AH	= 6.1081%

Ú 2vrstvy sklo



DAT1= 222

NR	=	0
TH	=	1.3800s
FE	=	0N
FB	=	813N
FH	=	844N
AE	=	0%
AH	=	8.75%
AB	=	9%

NR	=	1
TH	=	1.1600s
FE	=	0N
FB	=	1117N
FH	=	1130N
AE	=	0%
AH	=	7.25%
AB	=	7.5%

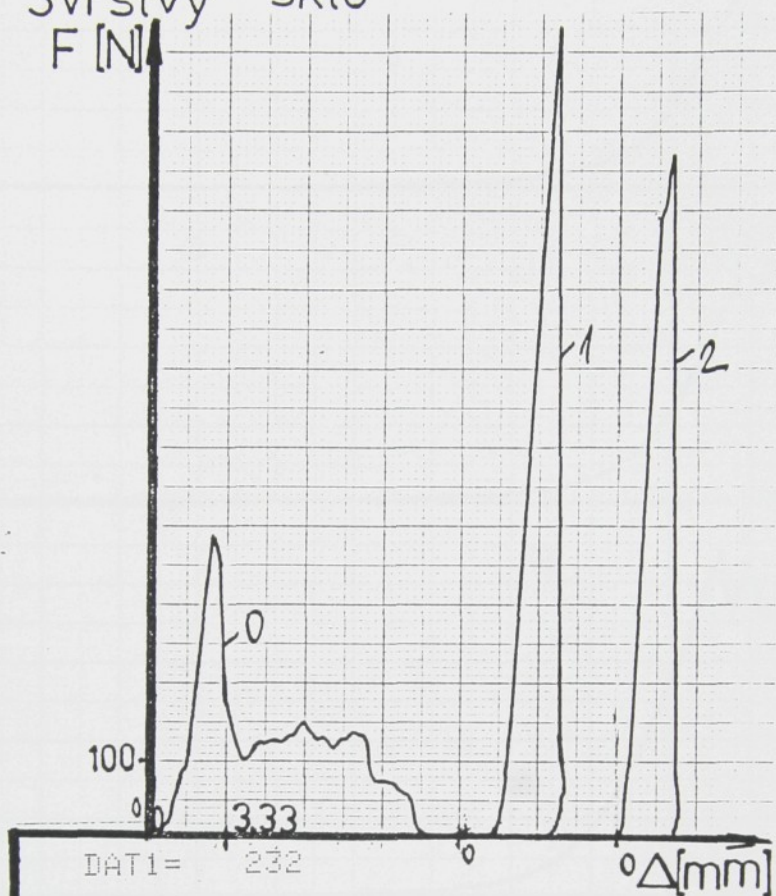
NR	=	2
TH	=	0.9000s
FE	=	0N
FB	=	739N
FH	=	846N
AE	=	0%
AH	=	5.75%
AB	=	6%

KMW: 10KN
 DAT1= 222
 DIV = 1
 $L_0 = 40\text{mm}$
 $F_0 = 0\text{N}$
 $\Delta_1 = 0\text{N}$
 $\Delta_2 = 100\text{N}$

NR = 3
 $\bar{x}/FH = 940\text{N}$
 $s/FH = 164.54\%$
 $V/FH = 17.505\%$
 $P/FH = 43.458\%$
 $E/FH = 775.45\%$

$\bar{x}/AH = 7.25\%$
 $s/AH = 1.5\%$
 $V/AH = 20.689\%$
 $P/AH = 51.364\%$
 $E/AH = 5.75\%$

Ú 3vrstvy sklo
F [N]



NR	=	0
TH	=	20.240s
FE	=	0N
FB	=	0N
FH	=	388N
AE	=	0%
AH	=	7%
AB	=	0%

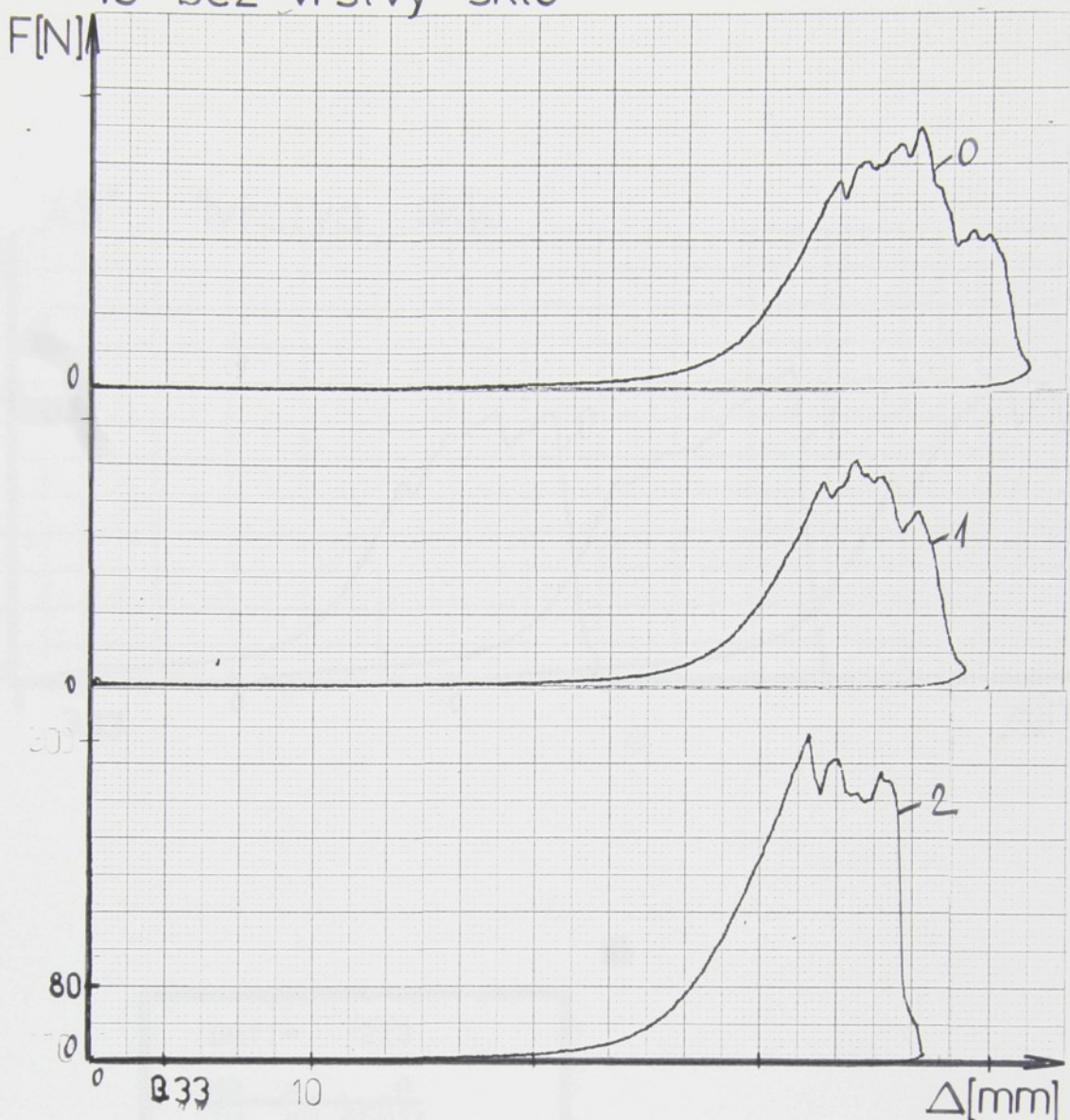
NR	=	1
TH	=	1.5600s
FE	=	0N
FB	=	964N
FH	=	1055N
AE	=	0%
AH	=	6.6666%
AB	=	6.8333%

NR	=	2
TH	=	0.9000s
FE	=	0N
FB	=	767N
FH	=	877N
AE	=	0%
AH	=	3.8333%
AB	=	4%

KMU:	=	10KN
DAT1:	=	232
DIY:	=	1
L0:	=	60mm
FO:	=	0N
a1:	=	0N
a2:	=	100N
NR:	=	2
X/FH=		964N
s/FH=		125.86%
V/FH=		13.029%
P/FH=		39.617%
E/FH=		840.13N

X/AH=		5.25%
s/AH=		2.0034%
V/AH=		38.161%
P/AH=		116.03%
E/AH=		3.2465%

45° bez vrstvy sklo



DAT1 = 231

NR = 0
TH = 12.040s
FE = 0N
FB = 0N
FH = 356.3N
AE = 0%
AH = 32%
AB = 0%

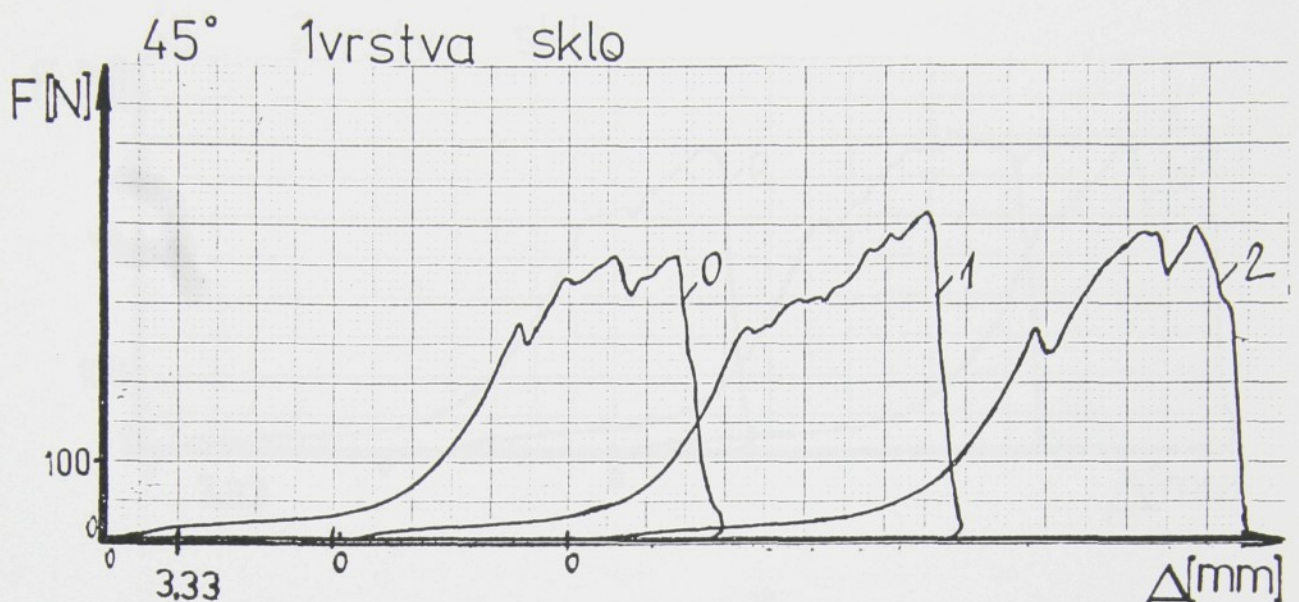
KMW: 1KN
DAT1 = 231
DIV = 1
L0 = 100mm
F0 = 0N
Δ1 = 0N
Δ2 = 100N

NR = 1
TH = 12.720s
FE = 0N
FB = 0N
FH = 245.7N
AE = 0%
AH = 33.8%
AB = 0%

NR = 3
 $\bar{x}/FH = 293.33\%$
 $s/FH = 56.872\%$
 $V/FH = 19.388\%$
 $P/FH = 48.133\%$
 $E/FH = 236.46\%$

NR = 2
TH = 13.640s
FE = 0N
FB = 0N
FH = 278N
AE = 0%
AH = 36.3%
AB = 0%

$\bar{x}/AH = 34.033\%$
 $s/AH = 2.1594\%$
 $V/AH = 6.3451\%$
 $P/AH = 15.752\%$
 $E/AH = 31.873\%$



DAT1= 213

NR	=	0
TH	=	9.4601s
FE	=	0N
FB	=	0N
FH	=	359N
AE	=	0%
AH	=	61%
AB	=	0%

NR	=	1
TH	=	9.6081s
FE	=	0N
FB	=	0N
FH	=	412N
AE	=	0%
AH	=	62%
AB	=	0%

NR	=	2
TH	=	10.040s
FE	=	0N
FB	=	0N
FH	=	394N
AE	=	0%
AH	=	64.75%
AB	=	0%

KMU: 10KN

DAT1= 213

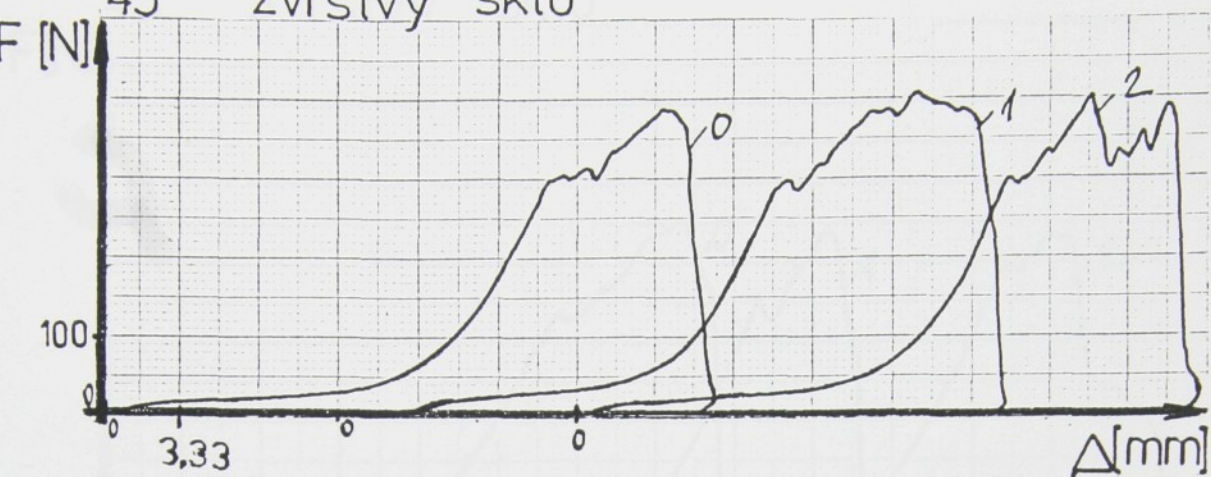
DIV	=	1
L0	=	40mm
F0	=	0N
z1	=	0N
z2	=	100N

NR = 3

$\Sigma/FH=388.33N$
 $s/FH=26.951N$
 $V/FH=6.9402\%$
 $P/FH=17.229\%$
 $E/FH=361.38N$

$\Sigma/AH=62.583\%$
 $s/AH=1.9420\%$
 $V/AH=3.1031\%$
 $P/AH=7.7038\%$
 $E/AH=60.641\%$

45° 2vrstvy sklo



DAT1= 223

NR	=	0
TH	=	9.0601s
FE	=	0N
FB	=	0N
FH	=	381N
AE	=	0%
AH	=	58.5%
AB	=	0%

NR	=	1
TH	=	9.2201s
FE	=	0N
FB	=	0N
FH	=	401N
AE	=	0%
AH	=	59.5%
AB	=	0%

NR	=	2
TH	=	9.3601s
FE	=	0N
FB	=	0N
FH	=	402N
AE	=	0%
AH	=	53.75%
AB	=	0%

KMW: 10KN

DAT1= 223

DIV = 1

L0 = 40mm

F0 = 0N

Δ1 = 0N

Δ2 = 100N

NR = 3

Σ/FH=394.66N

s/FH=11.847%

V/FH=3.0018%

P/FH=7.4524%

E/FH=382.81N

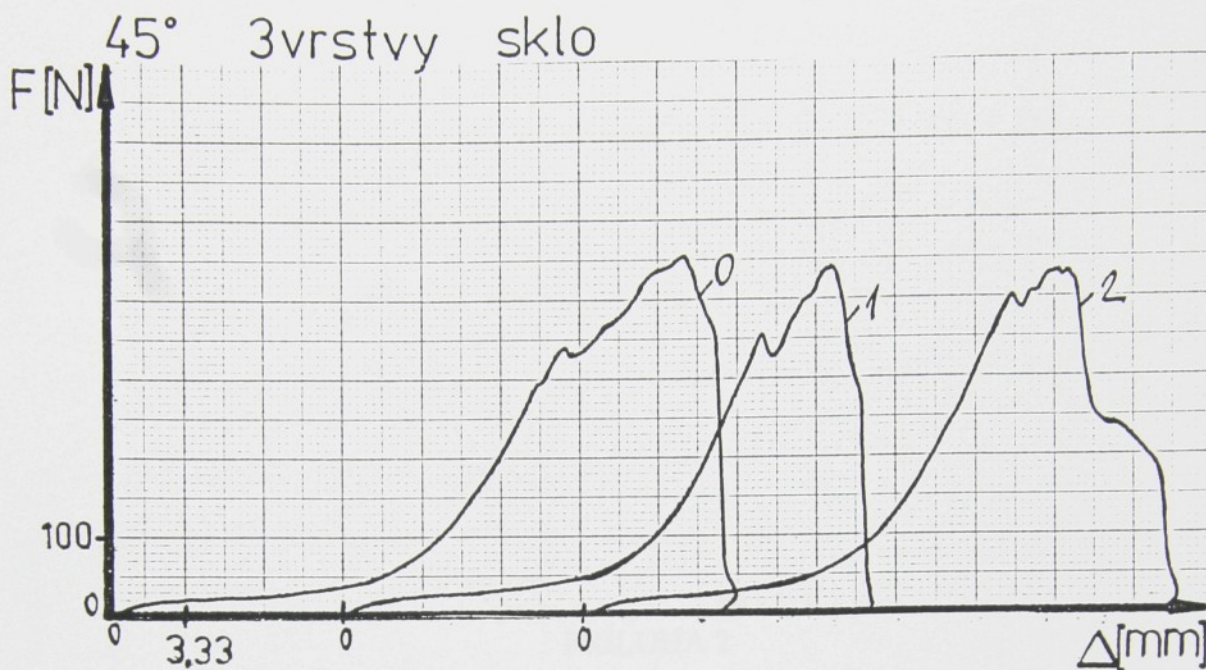
Σ/AH= 57.25%

s/AH=3.0721%

V/AH=5.3661%

P/AH=13.322%

E/AH=54.177%

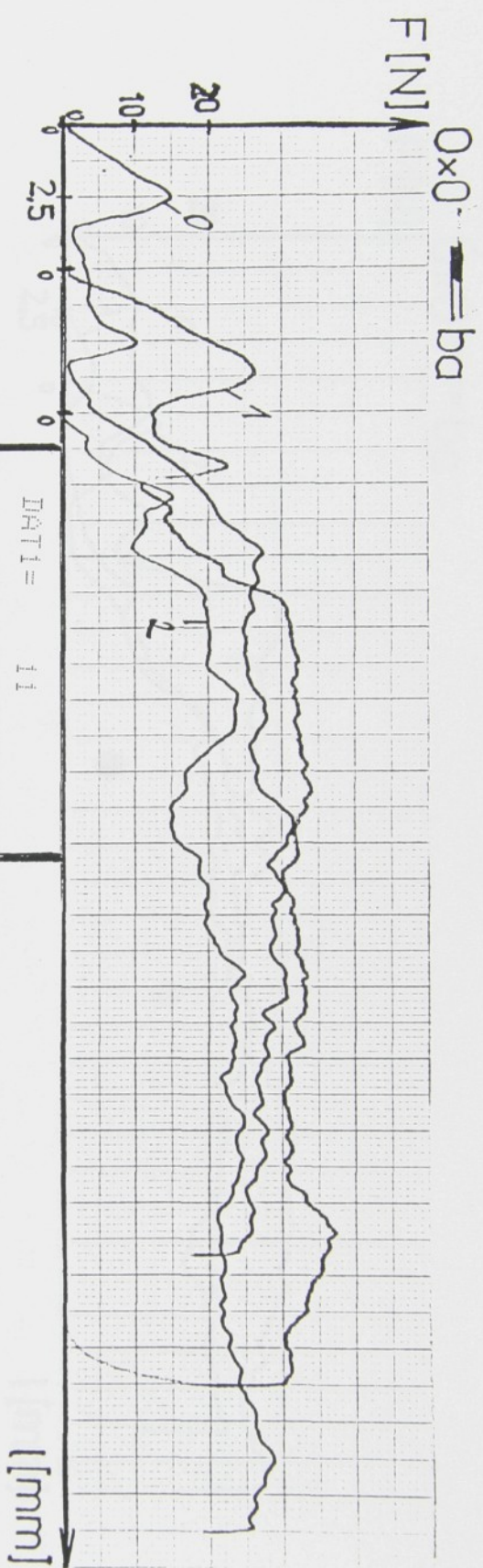


DAT1= 233	KMW: 10KN
NR = 0	DAT1= 233
TH = 9.3801%	DIV = 1
FE = 0N	L0 = 60mm
FB = 0N	F0 = 0N
FH = 453N	a1 = 0N
AE = 0%	a2 = 100N
AH = 40.333%	NR = 3
AB = 0%	X/FH=444.33N s/FH=7.7721N V/FH=1.7491% P/FH=4.3425% E/FH=436.56N
NR = 1	X/AH=35.944% s/AH=3.8236% V/AH=10.637% P/AH=26.409% E/AH=32.120%
TH = 7.9401%	
FE = 0N	
FB = 0N	
FH = 442N	
AE = 0%	
AH = 34.166%	
AB = 0%	
NR = 2	
TH = 7.7601%	
FE = 0N	
FB = 0N	
FH = 438N	
AE = 0%	
AH = 33.333%	
AB = 0%	

PRÍLOHA 2

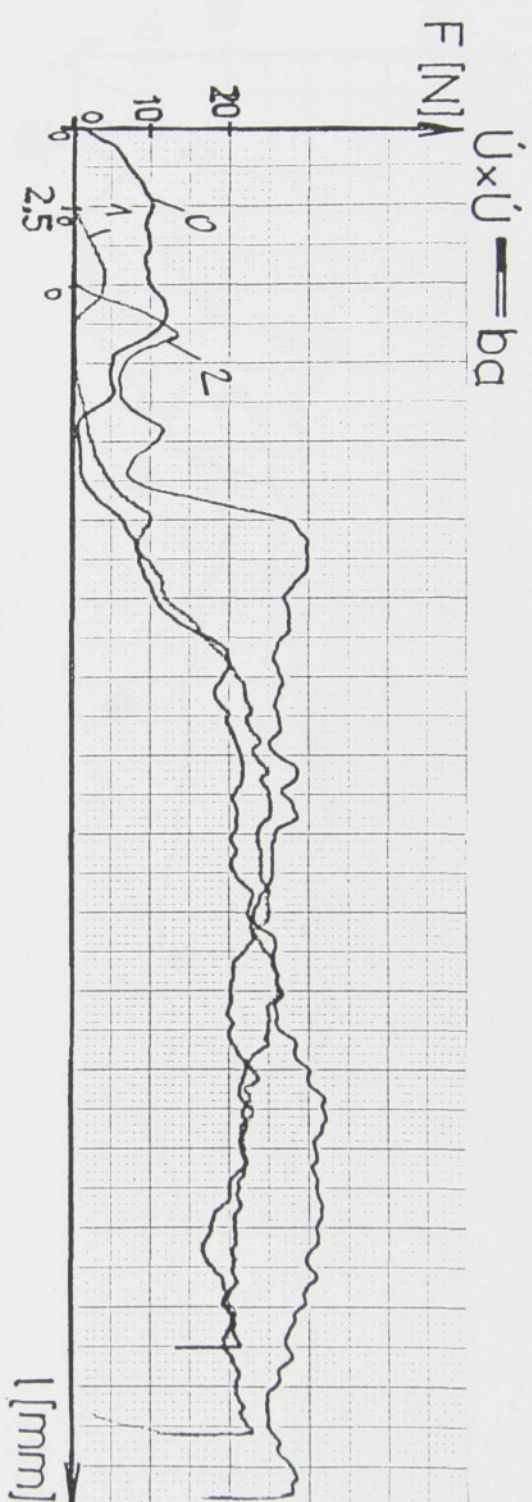
Grafy a výsledky skúšky pevnosti spoja vrstiev

(počet stran 10)

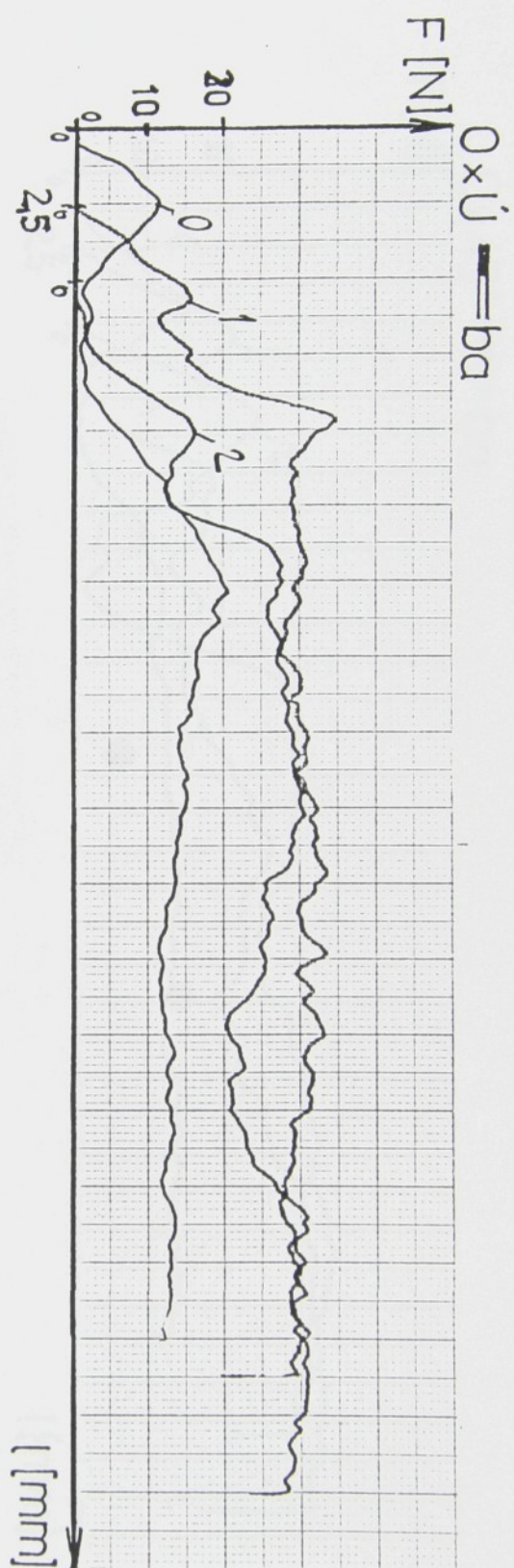


1

NR	=	3
F1	=	0N
F*	=	19.655N
DATA 1 = 11		
NR	=	1
F1	=	0N
F*	=	26.834N
KMH = 1KH		
DATA	=	11
DIV	=	1
L0	=	20mm
A1	=	0%
NR	=	3
$\Delta / F^* = 22.899\%$		
$\Delta / F^* = 4.1008\%$		
$R / F^* = 18.556\%$		
$B / F^* = 46.067\%$		
$E / F^* = 17.996\%$		



DAT1 =	15
NE	0
TR1	0
FR	0
TR*	14.822 N
HR	1
TR1	0
FR*	16.106 N
HR	3
KML:	1 kN
DAT1 =	15
DIv	1
L0	20 mm
Ä1	0%
FR	0
TR1	0
HR	0
FR*	23.894 N
TR1	0
HR	0
$\Delta / F^* = 13.274\%$	
$\Delta / F^* = 4.959\%$	
$\Delta / F^* = 2.6.864\%$	
$\Delta / F^* = 6.6.695\%$	
$\Delta / F^* = 13.354\%$	



DAT1 = 14

HR = 0

F1 = 0N

F* = 12.117N

NR = 1

T1 = 0N

F* = 27.375N

l [mm]

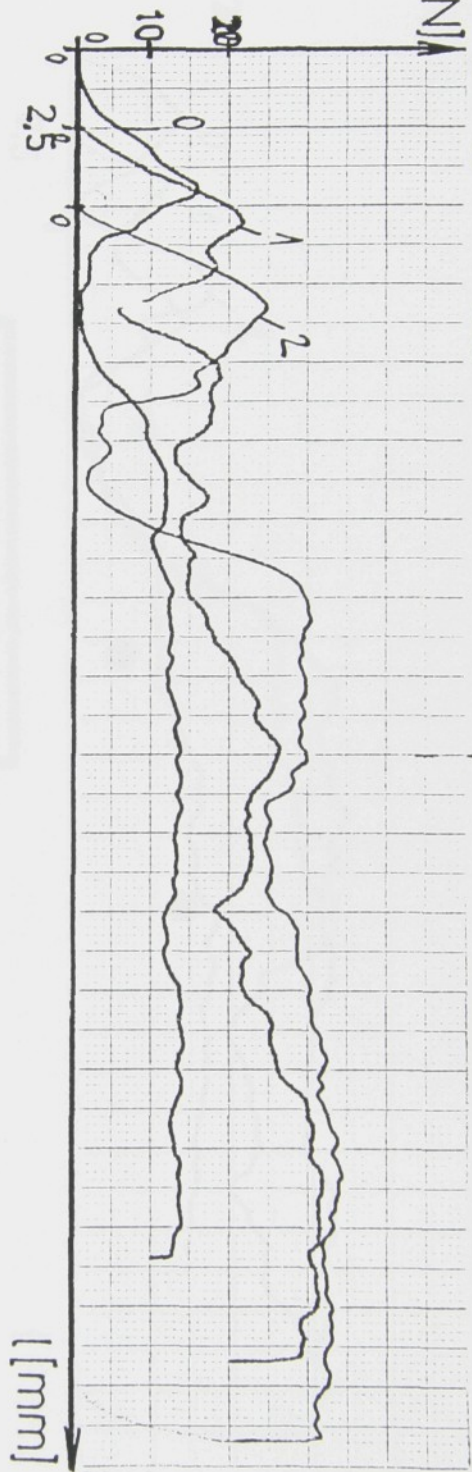
3

KHU = 1KH
DAT1 = 14
DIV = 1
L0 = 20mm
D1 = 0%
HR = 0
T1 = 0N
F* = 27.375N

X/F* = 21.012N
y/F* = 7.9382N
v/F* = 37.7782%
P/F* = 93.7092%
E/F* = 13.074N
T* = 23.545N

$F[N] \uparrow$

$0 \times 45^\circ = ba$



DAT1 = 13

HR = 0
F1 = 0.64594
 $F^* = 9.64594$

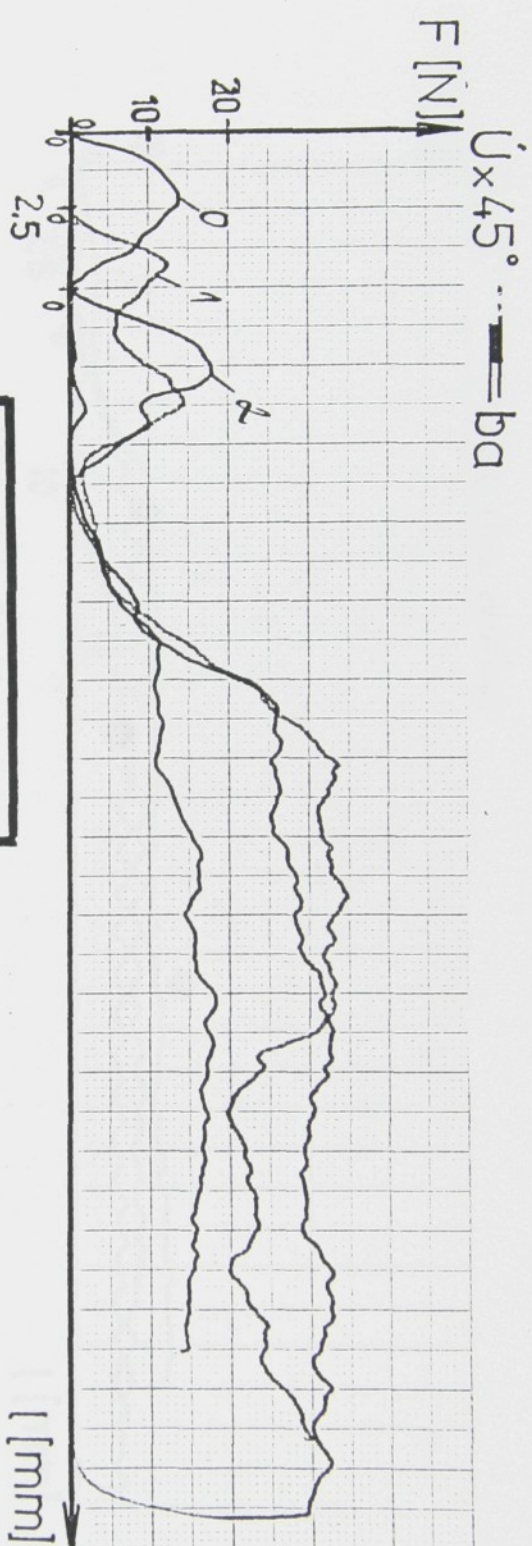
HR = 1
F1 = 0.64
 $F^* = 20.6624$

HR = 2
F1 = 0.64
 $F^* = 24.3994$

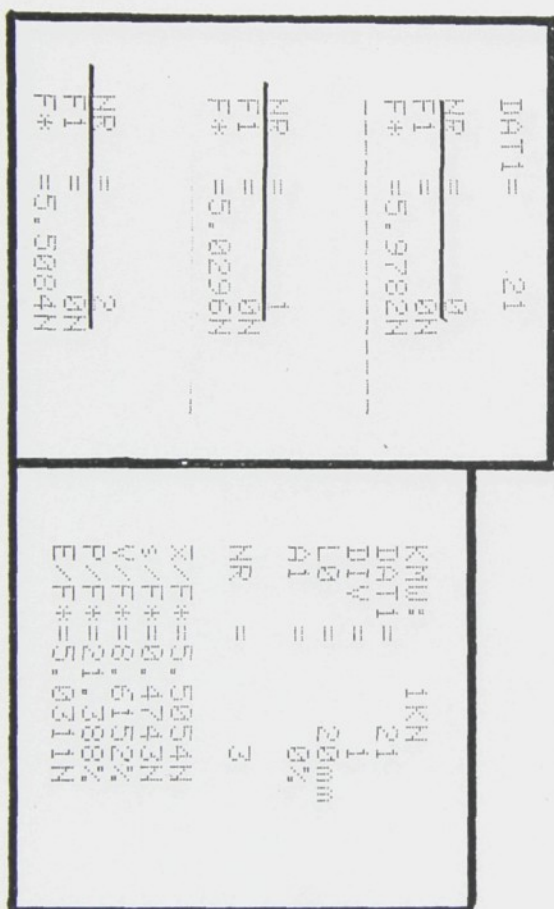
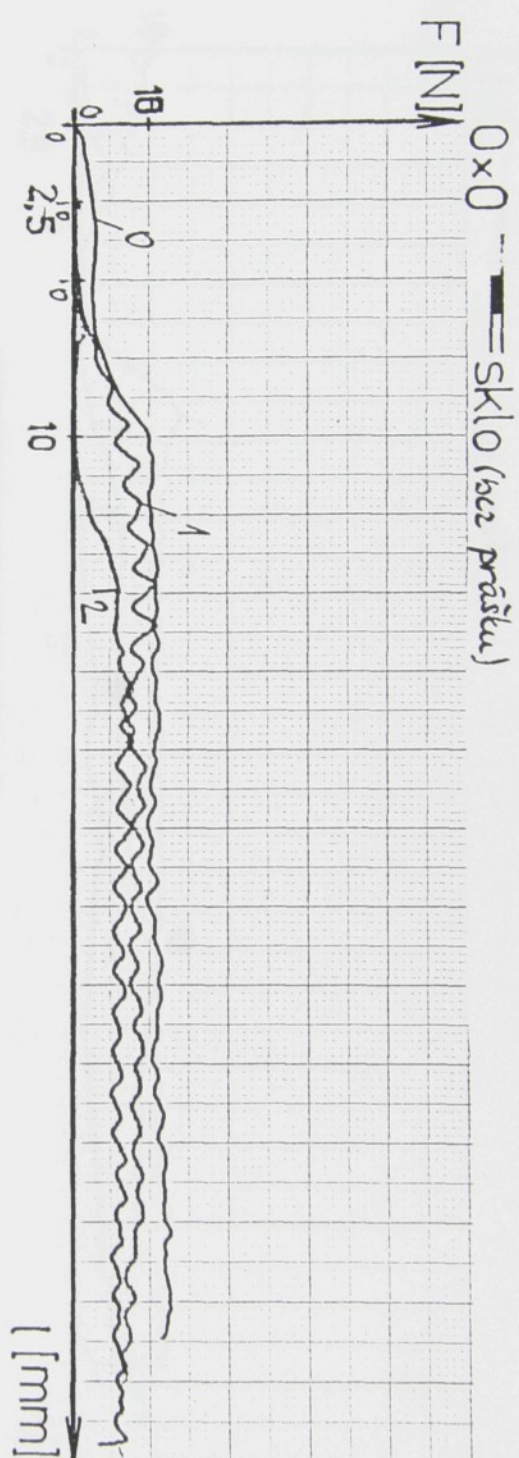
KNU = 1KH
DAT1 = 13
DIV = 1
L0 = 20mm
A1 = 0%

HR = 3

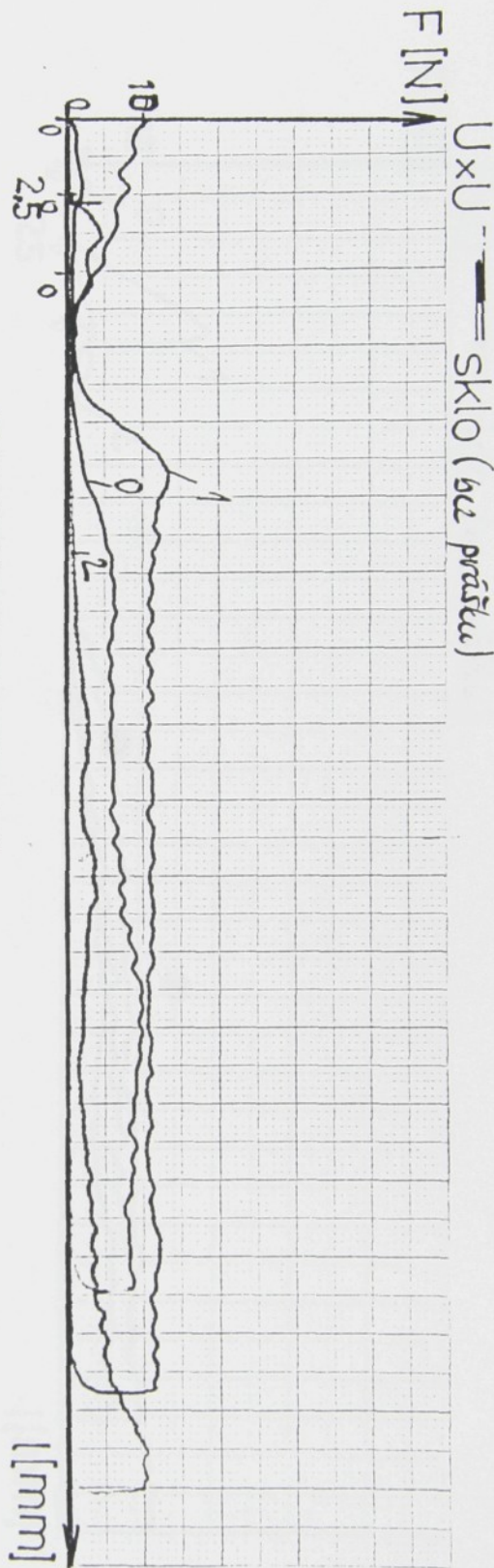
$\Delta F^*/F^* = 18.302\%$
 $\Delta F^*/F^* = 7.7327\%$
 $\Delta F^*/F^* = 42.065\%$
 $E/F^* = 104.48\%$
 $E/F^* = 10.5994$



DAT1 =	12
NR =	0
F1 =	0 N
F* =	10.306 N
-----	-----
NR =	1
F1 =	0 N
F* =	19.396 N
-----	-----
NR =	2
F1 =	0 N
F* =	22.298 N
-----	-----
NR =	3
X/F* =	17.333 N
Y/F* =	5.2562 N
Z/F* =	36.092%
E/F* =	0.9.603%
E/F* =	11.0777%



ÚxÚ — SKLO (bez průšku)



DAT1 = 25

NR = 0
F1 = 0 N
F* = 4.3739 N

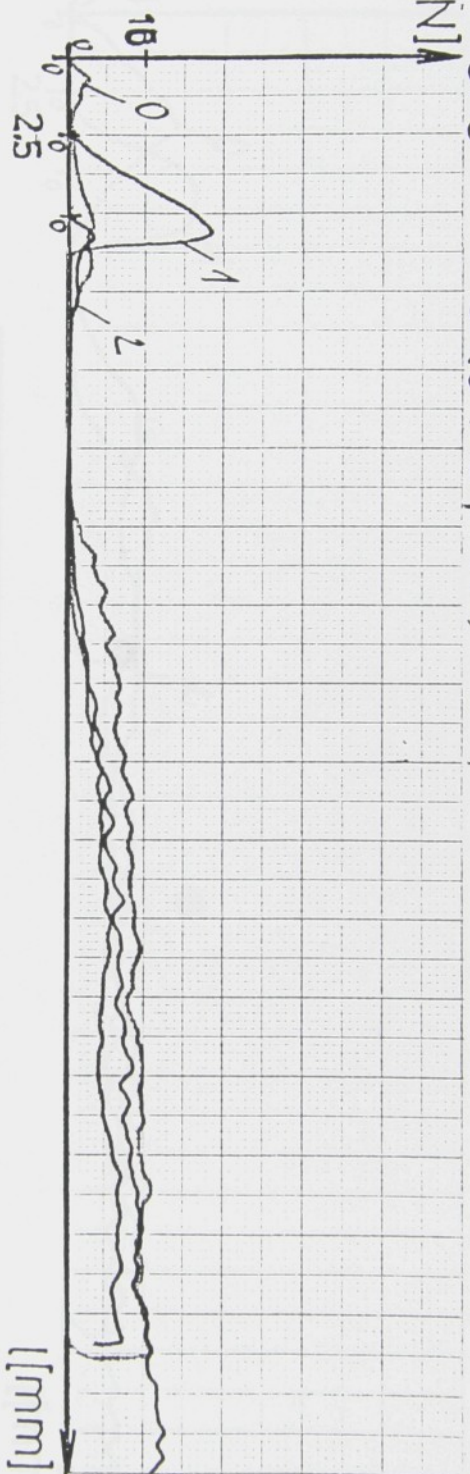
NR = 1
F1 = 0 N
F* = 8.4321 N

KHU: DAT1 = 1 KN
DIV = 25
L0 = 20 mm
A1 = 0 %
NR = 3

NR = 2
F1 = 0 N
F* = 1.7501 N

$\Delta / F^* = 4.9547 \text{ Hz}$
 $\delta / F^* = 3.3628 \text{ Hz}$
 $\psi / F^* = 6.9126 \text{ Hz}$
 $E / F^* = 171.96 \text{ N/mm}$
 $E / F^* = 1.4919 \text{ N}$

$F[N]$ Δ $0 \times \Delta$ - sklo (bez průšlu)



DAT1 = 24

NR = 0
F1 = 0 N
 F^* = 5.3619 N

Kmlu: 1 KN
DAT1 = 24
DIV = 1
L0 = 200 mm
A1 = 0.2 m
HR = 1
F1 = 0 N
 F^* = 3.4644 N

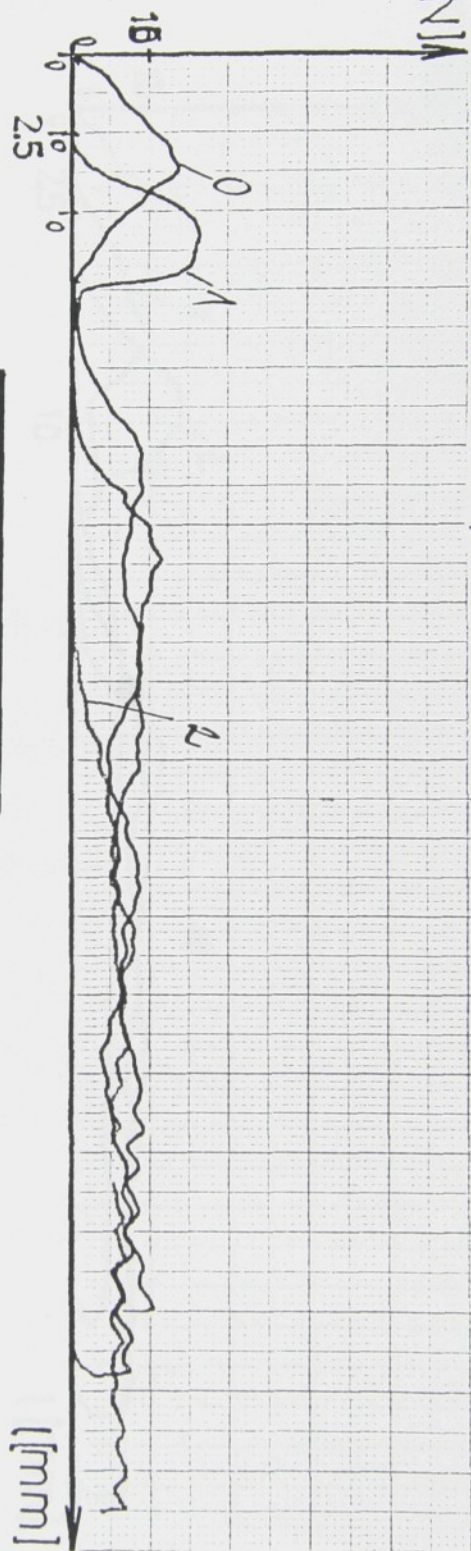
HR = 3

NR = 2
F1 = 0 N
 F^* = 4.6458 N

$\Sigma / F^* = 4.49035 N$
 $\delta / F^* = 0.9581 N$
 $\psi / F^* = 21.337^\circ$
 $P / F^* = 52.971\%$
 $E / F^* = 3.5323 N$

$F [N]$

0x45 - sklo (bez príku)



DAT1 = 23

NR	=	0
F1	=	0N
F*	=	6,1419H

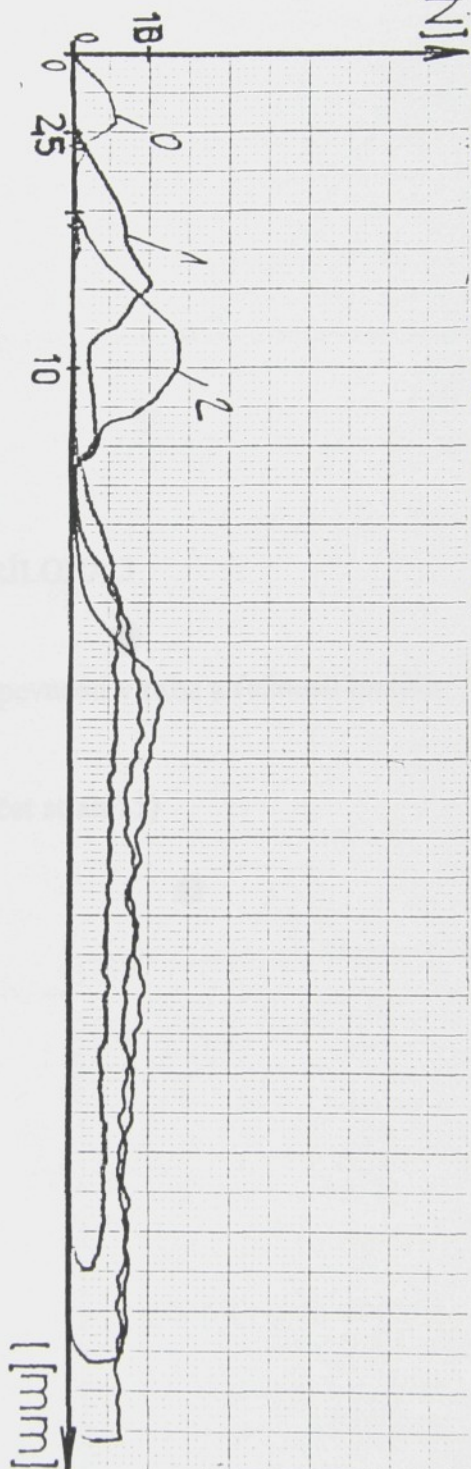
NR	=	1
F1	=	0N
F*	=	6,5551H

KMU:	1KH
DAT1:	23
DIV:	1
LQ:	20mm
A1:	0%
NR:	3

NR	=	2
F1	=	0N
F*	=	3,8292H

$\Sigma F^* = 5,5087N$
 $\Sigma F_1 = 1,4691N$
 $\Sigma F = 25,6682$
 $\Sigma F^*/F^* = 65,9382$
 $\Sigma F/F^* = 4,3706H$

$F [N]$ — ŠKLO (bez průšku)



DÁT 1 = 22

HR	=	0
F_1	=	0 N
F^*	=	3, 4036 N

HR	=	1
F_1	=	0 N
F^*	=	5, 4612 N

Kmit: 1 kHz
DÁT 1 = 22
DIV = 1
LQ = 20 mm
A1 = 0.5

HR = 3

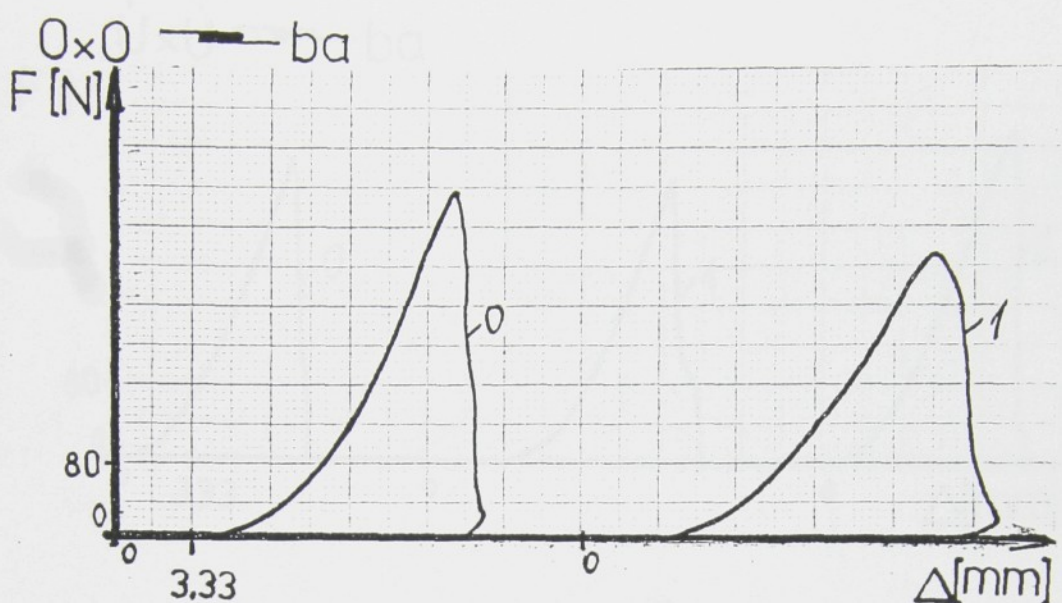
HR	=	5
F_1	=	0 N
F^*	=	6, 5756 N

$\Delta F^* = 5, 1469 N$
 $\delta / F^* = 1, 6891 N$
 $\psi / F^* = 31, 2638$
 $P / F^* = 77, 5162$
 $E / F^* = 3, 5377 N$

PRÍLOHA 3

Grafy a výsledky skúšky pevnosti v ťahu a ťažnosti textílie

(počet stran 15)



$\Delta_1 = 11\text{N}$	KMU: 1KN
<u>NR = 1</u>	DAT1= 35
TH = 5.4000s	DIV = 1
FE = 352.8N	L0 = 40mm
FB = 0N	FO = 0N
FH = 352.8N	$\Delta_1 = 11\text{N}$
AE = 36%	$\Delta_2 = 100\text{N}$
AH = 36%	NR = 2
AB = 0%	$\Sigma/FH = 320.65\text{N}$
	$s/FH = 45.466\%$
	$V/FH = 14.179\%$
	$P/FH = 43.113\%$
	$E/FH = 275.18\text{N}$

<u>NR = 1</u>	
TH = 5.4000s	$\Sigma/AH = 36\%$
FE = 288.5N	$s/AH = 0\%$
FB = 0N	$V/AH = 0\%$
FH = 288.5N	$P/AH = 0\%$
AE = 36%	$E/AH = 36\%$
AH = 36%	
AB = 0%	



DATI = 15

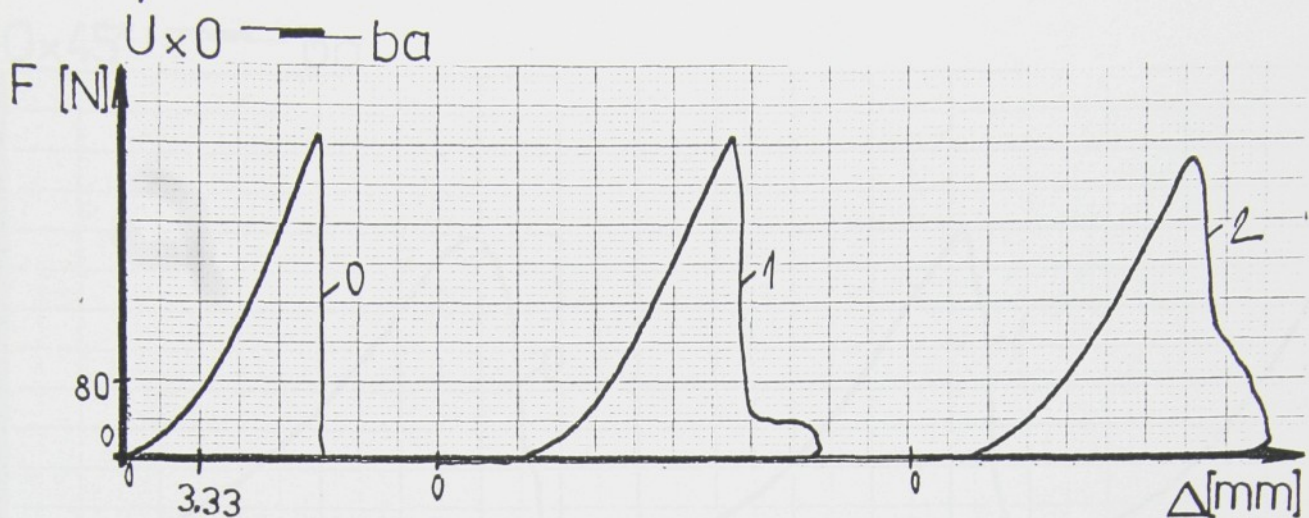
NR =	0
TH =	2.8400s
FE =	316.1N
FB =	0N
FH =	316.1N
AE =	19%
AH =	19%
AB =	0%

NR =	1
TH =	3.8800s
FE =	293N
FB =	0N
FH =	293N
AE =	25.75%
AH =	25.75%
AB =	0%

NR =	2
TH =	2.9200s
FE =	337.5N
FB =	0N
FH =	337.5N
AE =	19.5%
AH =	19.5%
AB =	0%

KMW:	1KN
DATI:	15
DIV:	1
L0:	40mm
F0:	0N
a1:	11N
a2:	100N

NR =	3
\bar{x}/FH :	315.53N
s/FH :	22.256N
V/FH :	7.0535%
P/FH :	17.511%
E/FH :	293.27N
\bar{x}/AH :	21.416%
s/AH :	3.7611%
V/AH :	17.561%
P/AH :	43.598%
E/AH :	17.655%



DAT1= 14

NR =	0
TH =	3.1600s
FE =	332.2N
FB =	300.8N
FH =	332.2N
AE =	21%
AH =	21%
AB =	21.25%

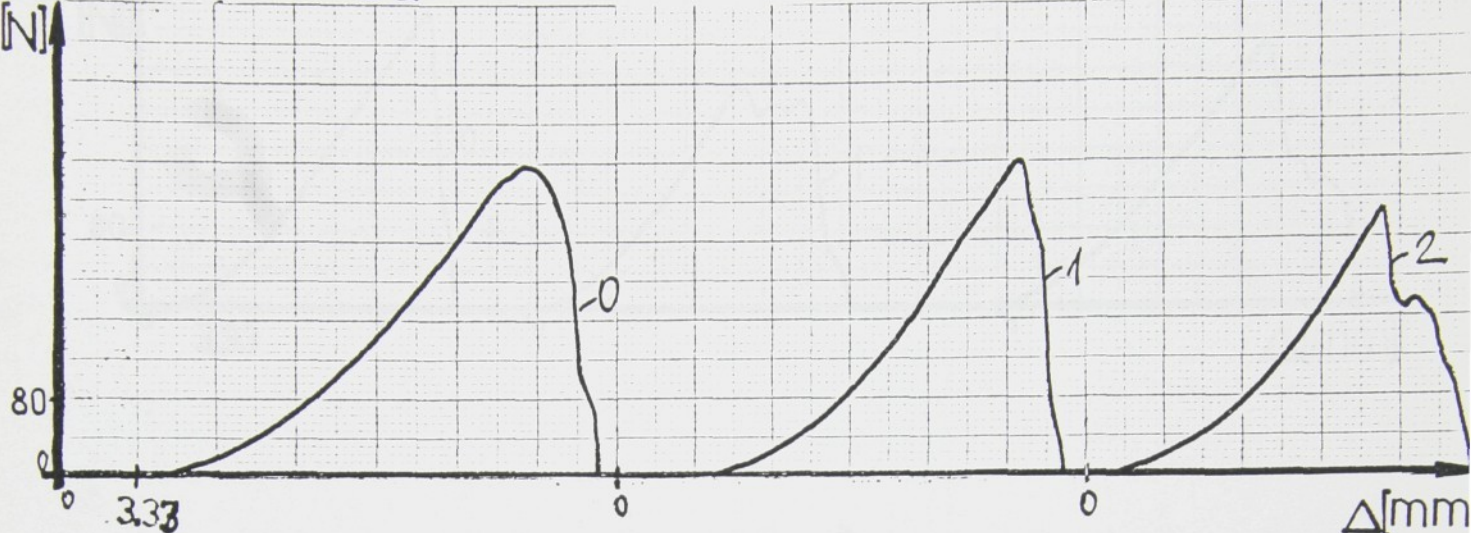
NR =	1
TH =	4.2600s
FE =	328.6N
FB =	0N
FH =	328.6N
AE =	31%
AH =	31%
AB =	0%

NR =	2
TH =	4.3800s
FE =	302.1N
FB =	0N
FH =	302.1N
AE =	28.5%
AH =	28.5%
AB =	0%

KMU:	1KN
DAT1=	14
DIV =	1
L0 =	40mm
F0 =	0N
a1 =	11N
a2 =	100N
NR =	3
$\Sigma/FH=$	320.96%
$\bar{s}/FH=$	16.438%
$V/FH=$	5.1215%
$P/FH=$	12.714%
$E/FH=$	304.52N

$\Sigma/AH=$	26.833%
$\bar{s}/AH=$	5.2041%
$V/AH=$	19.394%
$P/AH=$	48.148%
$E/AH=$	21.629%

$0 \times 45^\circ$ — ba



DAT1 = 13

NR	=	0
TH	=	7.1001%
FE	=	313.5N
FB	=	0N
FH	=	313.5N
AE	=	47.25%
AH	=	47.25%
AB	=	0%

NR	=	1
TH	=	6.3200%
FE	=	321.8N
FB	=	0N
FH	=	321.8N
AE	=	42.25%
AH	=	42.25%
AB	=	0%

NR	=	2
TH	=	4.5800%
FE	=	272.5N
FB	=	0N
FH	=	272.5N
AE	=	30.5%
AH	=	30.5%
AB	=	0%

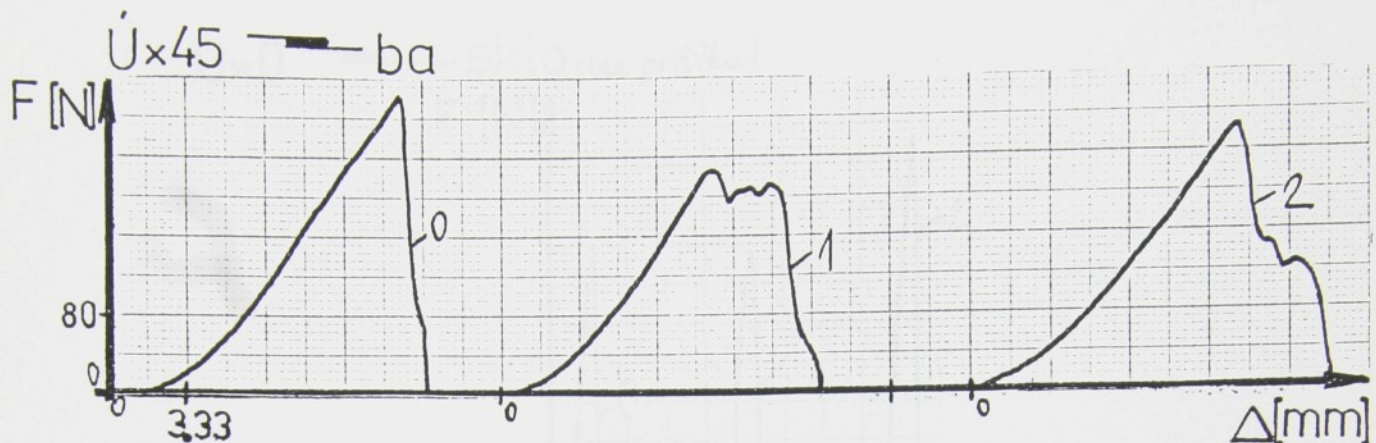
KMU: 1KN

DAT1	=	13
PIV	=	1
LG	=	40mm
FO	=	0N
a1	=	11N
a2	=	100N

NR = 3

R/FH	=	302.6N
s/FH	=	26.396%
V/FH	=	8.7230%
P/FH	=	21.656%
E/FH	=	276.20N

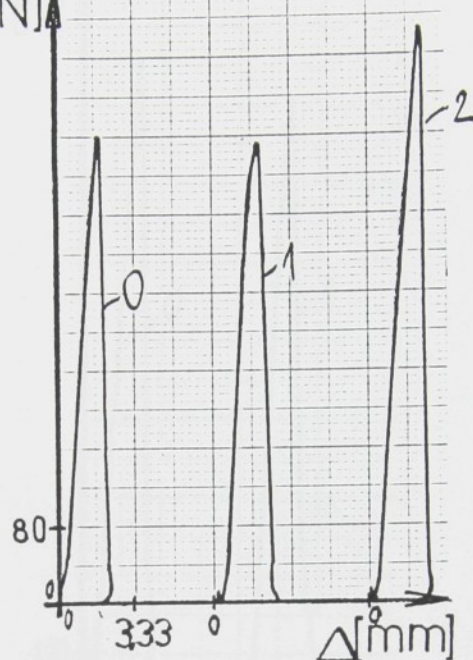
R/AH	=	40%
s/AH	=	8.5986%
V/AH	=	21.496%
P/AH	=	53.367%
E/AH	=	31.401%



DAT1= 12	KMU: 1KN
NR = 0	DAT1= 12
TH = 4.6400s	DIV = i
FE = 305.5N	L0 = 40mm
FB = 0N	FO = 0N
FH = 305.5N	z1 = 11N
AE = 31%	z2 = 100N
AH = 31%	NR = 3
AB = 0%	$\Sigma/FH=267.66N$
-----	$s/FH=39.106N$
NR = 1	$V/FH=14.610%$
TH = 3.3800s	$P/FH=36.271%$
FE = 227.4N	$E/FH=228.56N$
FB = 0N	-----
FH = 227.4N	$\Sigma/AH=29.75%$
AE = 22.5%	$s/AH=6.7128%$
AH = 22.5%	$V/AH=22.564%$
AB = 0%	$P/AH=56.018%$
-----	$E/AH=23.037%$
NR = 2	
TH = 5.3600s	
FE = 270.1N	
FB = 0N	
FH = 270.1N	
AE = 35.75%	
AH = 35.75%	
AB = 0%	

0x0 — Sklo (bez prasku)

F [N]



DAT1= 21

NR = 0
TH = 0.9000s
FE = 0N
FB = 380.4N
FH = 479.4N
AE = 0%
AH = 5.75%
AB = 6.25%

NR = 1
TH = 0.7400s
FE = 0N
FB = 393.1N
FH = 472.5N
AE = 0%
AH = 4.75%
AB = 5.75%

NR = 2
TH = 0.9000s
FE = 0N
FB = 508.9N
FH = 592.1N
AE = 0%
AH = 5.75%
AB = 6%

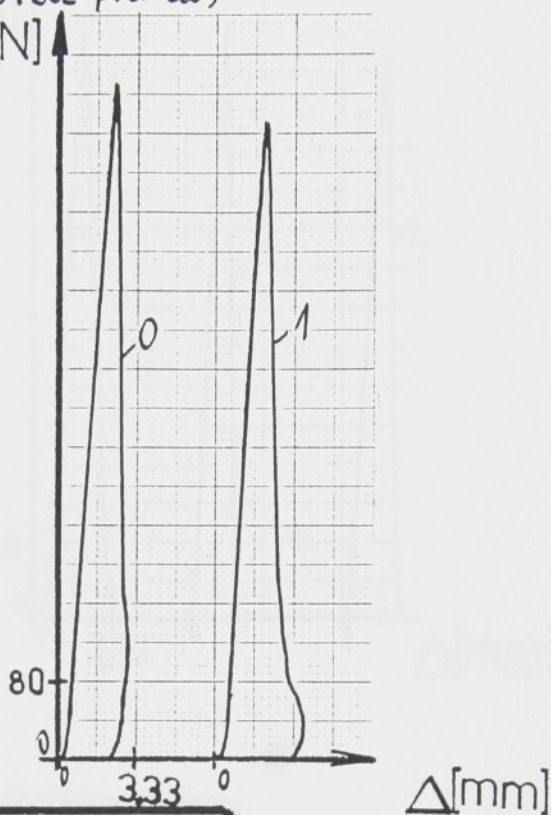
KMW: 1KN

DAT1= 21
DIV = 1
L0 = 40mm
F0 = 0N
Δ1 = 0N
Δ2 = 100N
NR = 3

R/FH=514.66%
s/FH=67.148%
V/FH=13.047%
P/FH=32.390%
E/FH=447.51N

R/AH=5.4166%
s/AH=0.5773%
V/AH=10.658%
P/AH=26.461%
E/AH=4.8393%

ÚxÚ — Sklo (bez průšku)
F [N]



DAT1= 23

NR	=	0
TH	=	0.96000s
FE	=	0N
FB	=	514.2N
FH	=	696.9N
AE	=	0%
AH	=	6%
AB	=	6.75%

NR	=	1
TH	=	1.0000s
FE	=	0N
FB	=	0N
FH	=	520.4N
AE	=	0%
AH	=	6.25%
AB	=	0%

NR	=	2
TH	=	0.98000s
FE	=	0N
FB	=	0N
FH	=	656.6N
AE	=	0%
AH	=	5.75%
AB	=	0%

KMU: 1KN

DAT1= 23

DIV	=	1
L0	=	40mm
F0	=	0N
Δ1	=	0N
Δ2	=	100N

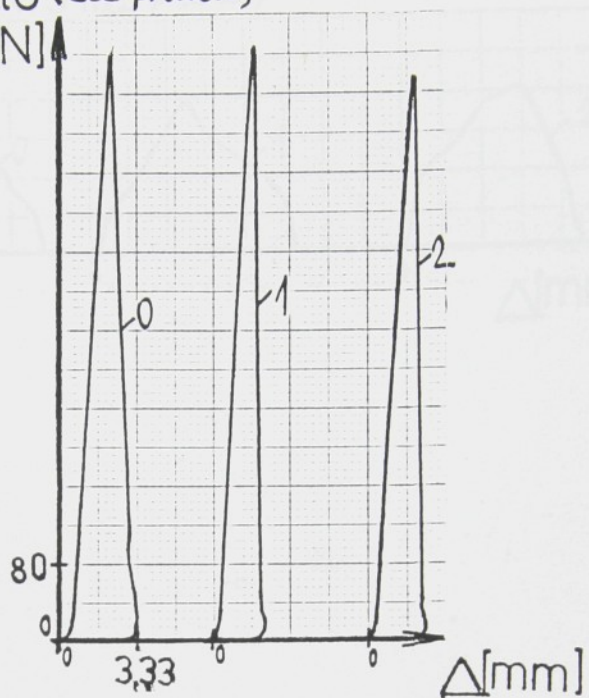
NR = 3

$\bar{x}/FH=624.63N$
 $s/FH=92.491N$
 $V/FH=14.807\%$
 $P/FH=36.760\%$
 $E/FH=532.14N$

$\bar{x}/AH= 6\%$
 $s/AH=0.2500\%$
 $V/AH=4.1667\%$
 $P/AH=10.344\%$
 $E/AH=5.7499\%$

0xÚ — sklo (bez prášku)

F [N]



DAT1= 24

NR = 0
TH = 0.90000s
FE = 0N
FB = 0N
FH = 605.7N
AE = 0%
AH = 5.75%
AB = 0%

NR = 1
TH = 0.80000s
FE = 0N
FB = 563.5N
FH = 606.3N
AE = 0%
AH = 5%
AB = 5.25%

NR = 2
TH = 0.82000s
FE = 0N
FB = 493.6N
FH = 577.7N
AE = 0%
AH = 5.25%
AB = 5.5%

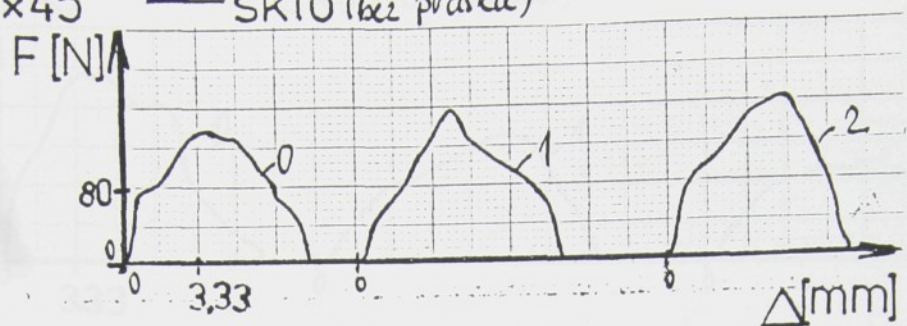
KMW: 1KN

DAT1= 24
DIV = 1
L0 = 40mm
F0 = 0N
a1 = 0N
a2 = 100N

NR = 3
 $\bar{x}/FH=596.56\%$
 $s/FH=16.342\%$
 $V/FH=2.7393\%$
 $P/FH=6.8007\%$
 $E/FH=580.22\%$

$\bar{x}/AH=5.3333\%$
 $s/AH=0.3818\%$
 $V/AH=7.1604\%$
 $P/AH=17.776\%$
 $E/AH=4.9514\%$

$0 \times 45^\circ$ — sklo (bez prášku)



DAT1= 25

NR	=	0
TH	=	1.32000
FE	=	0H
FB	=	0H
FH	=	135.6H
AE	=	0%
AH	=	8.5%
AB	=	0%

NR	=	1
TH	=	1.64000
FE	=	0H
FB	=	0H
FH	=	156.9H
AE	=	0%
AH	=	10.25%
AB	=	0%

NR	=	2
TH	=	1.96000
FE	=	0H
FB	=	0H
FH	=	163.9H
AE	=	0%
AH	=	12.25%
AB	=	0%

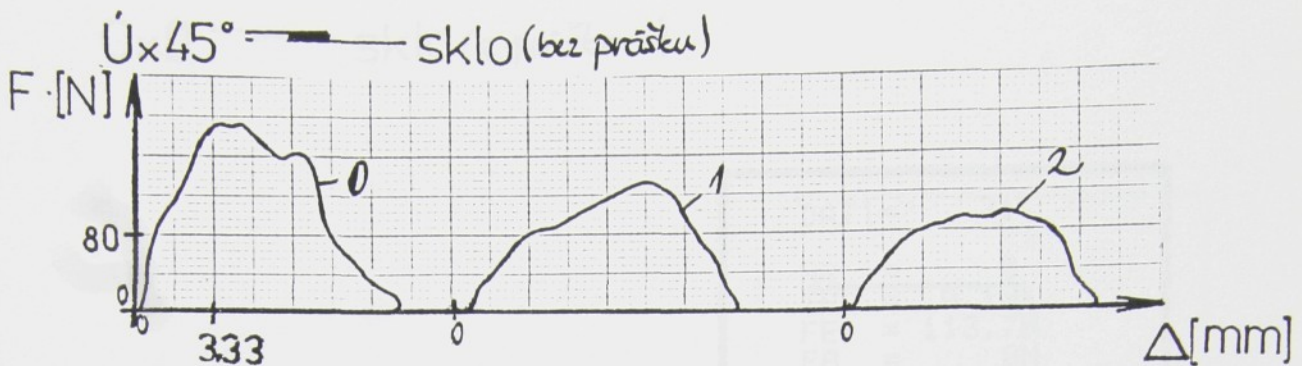
KMW: 1KN

DAT1=	25
DIV	= 1
L0	= 40mm
F0	= 0H
A1	= 0H
A2	= 100H

NR = 3

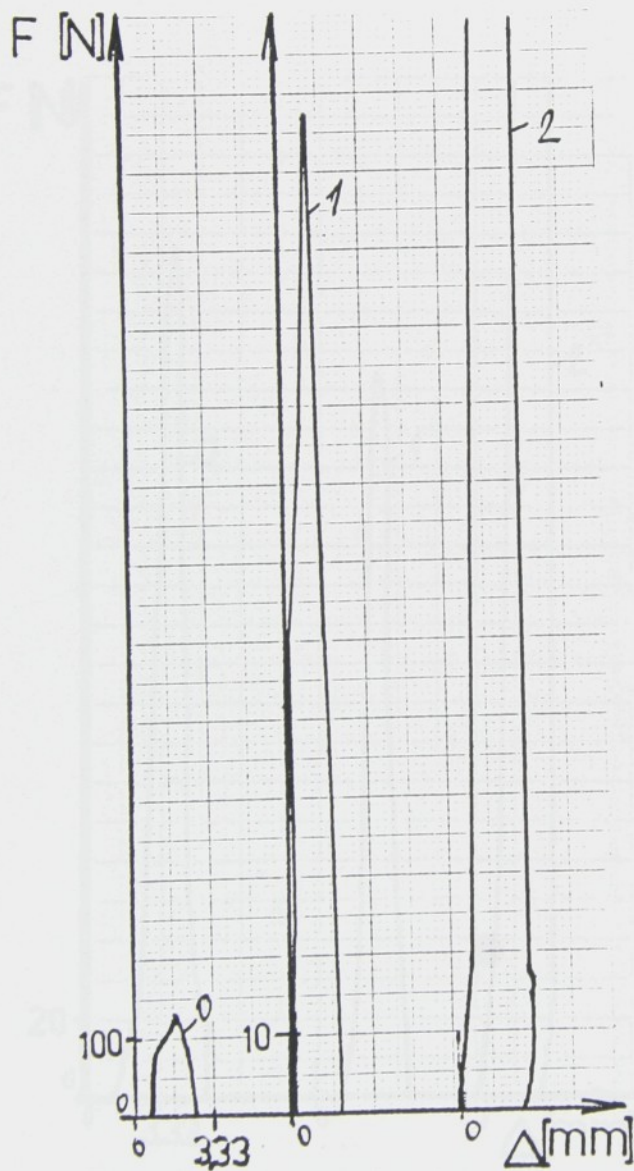
$\Sigma/FH=152.13H$
 $s/FH=14.740H$
 $V/FH=9.6889\%$
 $P/FH=24.053\%$
 $E/FH=137.39H$

$\Sigma/AH=10.333\%$
 $s/AH=1.8763\%$
 $V/AH=18.158\%$
 $P/AH=45.080\%$
 $E/AH=8.4569\%$



DAT1= 22	KMW: 1KN
NR = 0	DAT1= 22
TH = 1.4800s	DIV = 1
FE = 0N	L0 = 40mm
FB = 0N	F0 = 0N
FH = 193.3N	Δ1 = 0N
AE = 0%	Δ2 = 100N
AH = 9.5%	NR = 3
AB = 0%	$\Sigma/FH = 142.33N$
	$s/FH = 47.174N$
NR = 1	$V/FH = 33.143\%$
TH = 3.2000s	$P/FH = 82.282\%$
FE = 0N	$E/FH = 95.158N$
FB = 0N	$\Sigma/AH = 15.75\%$
FH = 133.5N	$s/AH = 5.7282\%$
AE = 0%	$V/AH = 36.369\%$
AH = 20.75%	$P/AH = 90.291\%$
AB = 0%	$E/AH = 10.021\%$
NR = 2	
TH = 2.6600s	
FE = 0N	
FB = 0N	
FH = 100.2N	
AE = 0%	
AH = 17%	
AB = 0%	

0x0 — sklo (s průškem)



DAT1= 31

NR	=	0
TH	=	0.18%
FE	=	113.7N
FB	=	0N
FH	=	113.7N
AE	=	4%
AH	=	4%
AB	=	0%

NR	=	4
TH	=	0.24%
FE	=	129.8N
FB	=	0N
FH	=	129.8N
AE	=	3%
AH	=	3%
AB	=	0%

NR	=	2
TH	=	0.7800%
FE	=	335.2N
FB	=	0N
FH	=	335.2N
AE	=	5.25%
AH	=	5.25%
AB	=	0%

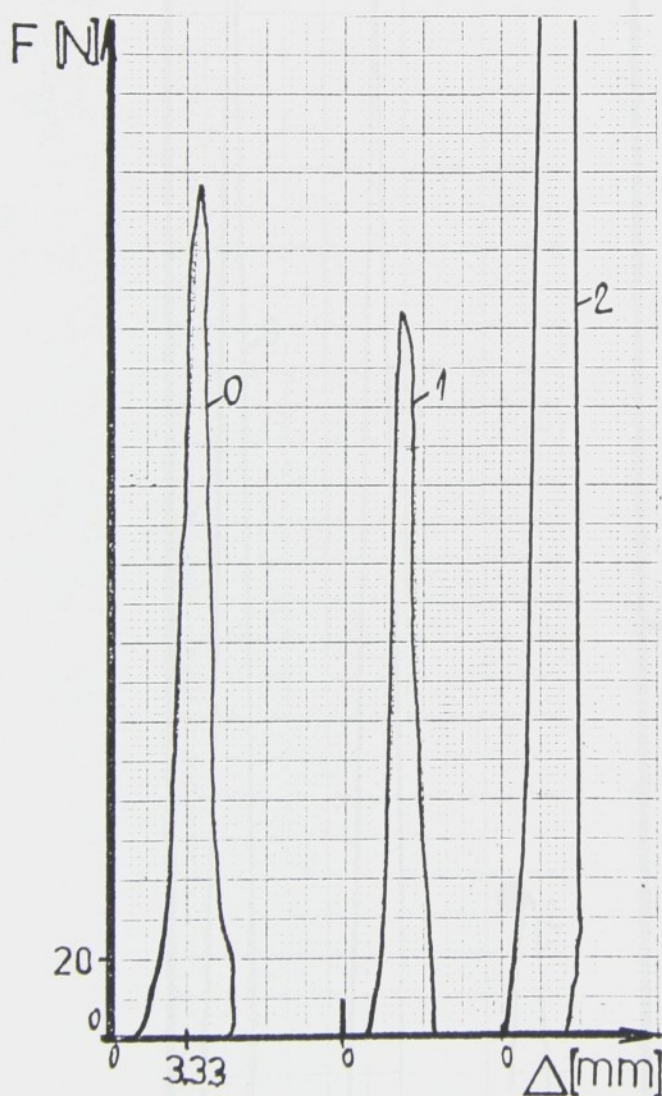
KMW: 1KN
DAT1= 31
DIV = 1
L0 = 40mm
F0 = 0N
a1 = 11N
a2 = 100N

NR = 2

$\bar{x}/FH = 232.5\%$
 $s/FH = 145.24\%$
 $V/FH = 62.468\%$
 $P/FH = 189.94\%$
 $E/FH = 87.260N$

$\bar{x}/AH = 4.125\%$
 $s/AH = 1.5909\%$
 $V/AH = 38.569\%$
 $P/AH = 117.27\%$
 $E/AH = 2.5340\%$

ÚxÚ — sklo (s práškom)



DAT1= 32

NR	=	0
TH	=	1.4600s
FE	=	218.4N
FB	=	0N
FH	=	218.4N
AE	=	9.75%
AH	=	9.75%
AB	=	0%

NR	=	1
TH	=	0.9800s
FE	=	187.1N
FB	=	0N
FH	=	187.1N
AE	=	6.5%
AH	=	6.5%
AB	=	0%

NR	=	2
TH	=	1.1400s
FE	=	638.9N
FB	=	571.8N
FH	=	638.9N
AE	=	7.5%
AH	=	7.5%
AB	=	0%

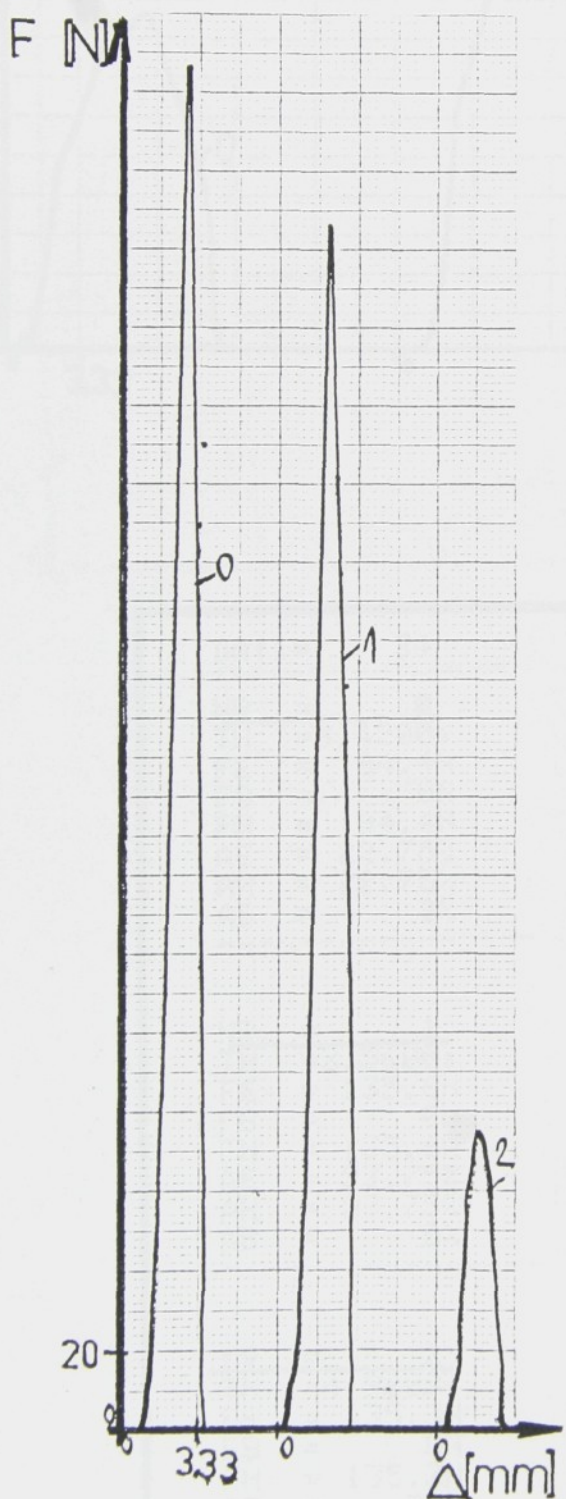
KMW: 1KN
 DAT1= 32
 DIV = 1
 L0 = 40mm
 F0 = 0N
 z1 = 11N
 z2 = 100N

NR = 3

$\bar{x}/FH=348.13\%$
 $s/FH=252.29\%$
 $V/FH=72.471\%$
 $P/FH=179.91\%$
 $E/FH=95.836N$

$\bar{x}/AH=7.9166\%$
 $s/AH=1.6645\%$
 $V/AH=21.026\%$
 $P/AH=52.200\%$
 $E/AH=6.2520\%$

$O \times U$ — sklo (s práskom)



DAT1 = 33

NR	=	0
TH	=	1.18000
FE	=	350.7N
FB	=	0N
FH	=	350.7N
AE	=	7.25%
AH	=	7.25%
AB	=	0%

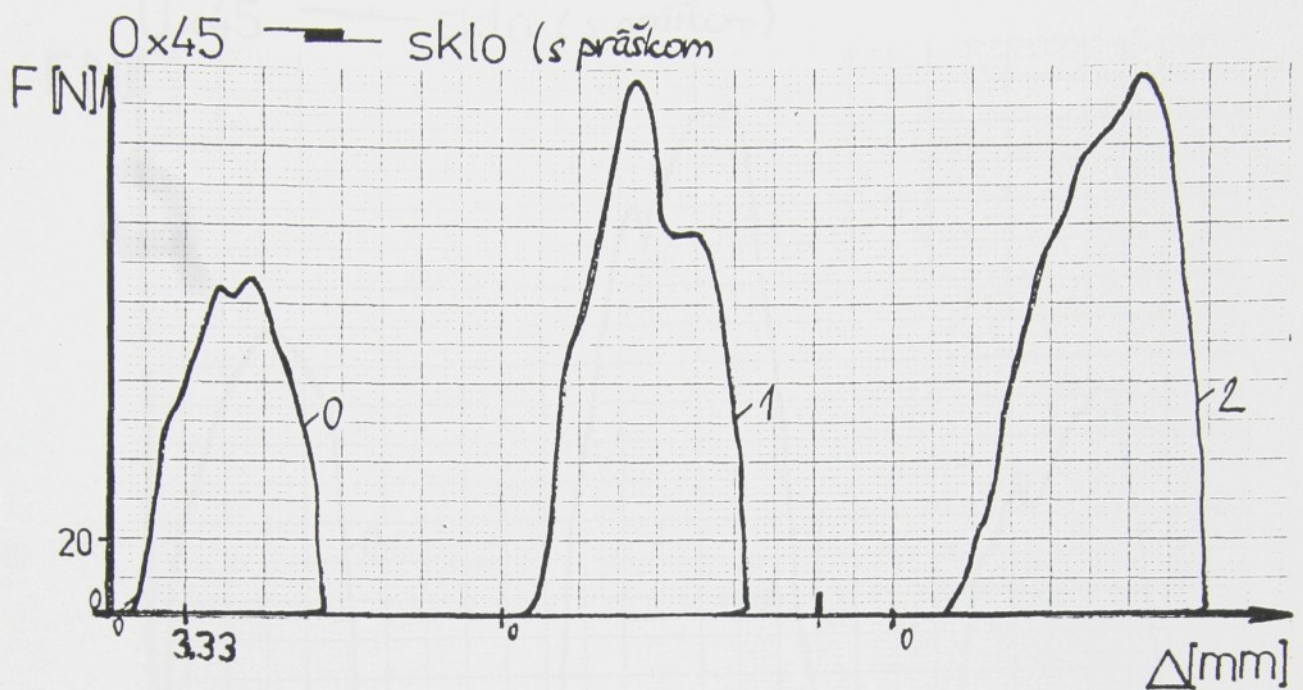
NR	=	1
TH	=	0.80000
FE	=	312.8N
FB	=	0N
FH	=	312.8N
AE	=	5.25%
AH	=	5.25%
AB	=	0%

NR	=	2
TH	=	0.54000
FE	=	75N
FB	=	0N
FH	=	75N
AE	=	3.5%
AH	=	3.5%
AB	=	0%

KMW: 1KN
 DAT1 = 33
 DIV = 1
 L0 = 40mm
 F0 = 0N
 a1 = 11N
 a2 = 100N
 NR = 3

$\bar{x}/FH=246.16\%$
 $s/FH=149.44\%$
 $V/FH=60.707\%$
 $P/FH=150.71\%$
 $E/FH=96.725\%$

$\bar{x}/AH=5.3333\%$
 $s/AH=1.8763\%$
 $V/AH=35.182\%$
 $P/AH=87.343\%$
 $E/AH=3.4569\%$

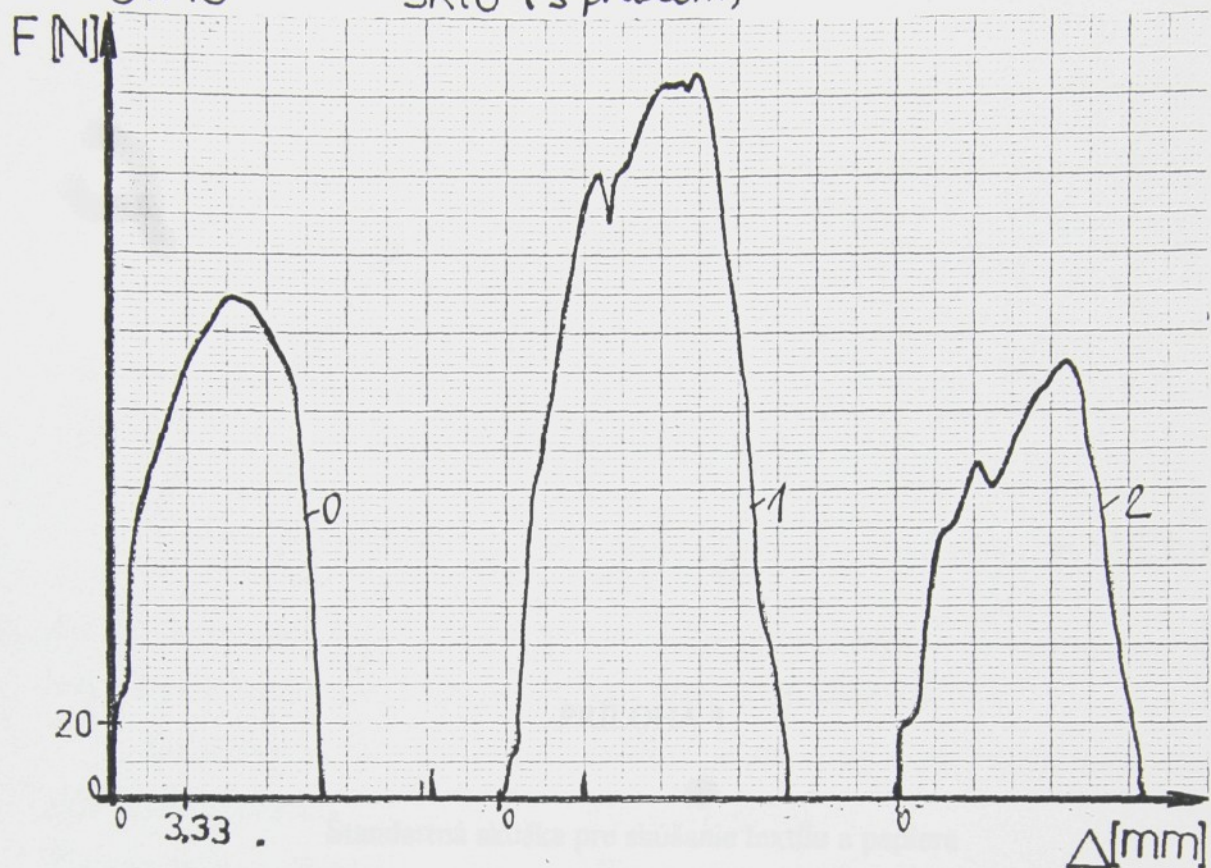


DAT1= 34	KMW: 1KN
NR = 0	DAT1= 34
TH = 3.4200s	DIV = 1
FE = 84.4N	L0 = 40mm
FB = 0N	F0 = 0N
FH = 84.4N	A1 = 11N
AE = 22.75%	A2 = 100N
AH = 22.75%	
AB = 0%	

NR = 1	NR = 3
TH = 3.5600s	X/FH=118.43N
FE = 135.6N	s/FH=29.474N
FB = 0N	V/FH=24.886%
FH = 135.6N	P/FH=61.783%
AE = 23.75%	E/FH=88.959N
AH = 23.75%	
AB = 0%	

NR = 2	X/AH= 26.5%
TH = 4.9600s	s/AH=5.6513%
FE = 135.3N	V/AH=21.325%
FB = 0N	P/AH=52.943%
FH = 135.3N	E/AH=20.848%
AE = 33%	
AH = 33%	
AB = 0%	

$\text{U} \times 45$ — sklo (s práskom)



DAT1= 35

NR	=	0
TH	=	1.9400s
FE	=	127.5N
FB	=	0N
FH	=	127.5N
AE	=	12.75%
AH	=	12.75%
AB	=	0%

NR	=	1
TH	=	3.6400s
FE	=	185.8N
FB	=	0N
FH	=	185.8N
AE	=	27.5%
AH	=	27.5%
AB	=	0%

NR	=	2
TH	=	2.4600s
FE	=	110.8N
FB	=	0N
FH	=	110.8N
AE	=	18.25%
AH	=	18.25%
AB	=	0%

KMW: 1KN

DAT1= 35

DIV = 1

L0 = 40mm

FO = 0N

a1 = 11N

a2 = 100N

NR = 3

s/FH=141.36%

s/FH=39.376%

V/FH=27.853%

P/FH=69.150%

E/FH=101.99%

s/AH= 19.5%

s/AH=7.4540%

V/AH=38.225%

P/AH=94.899%

E/AH=12.046%

PRÍLOHA 4

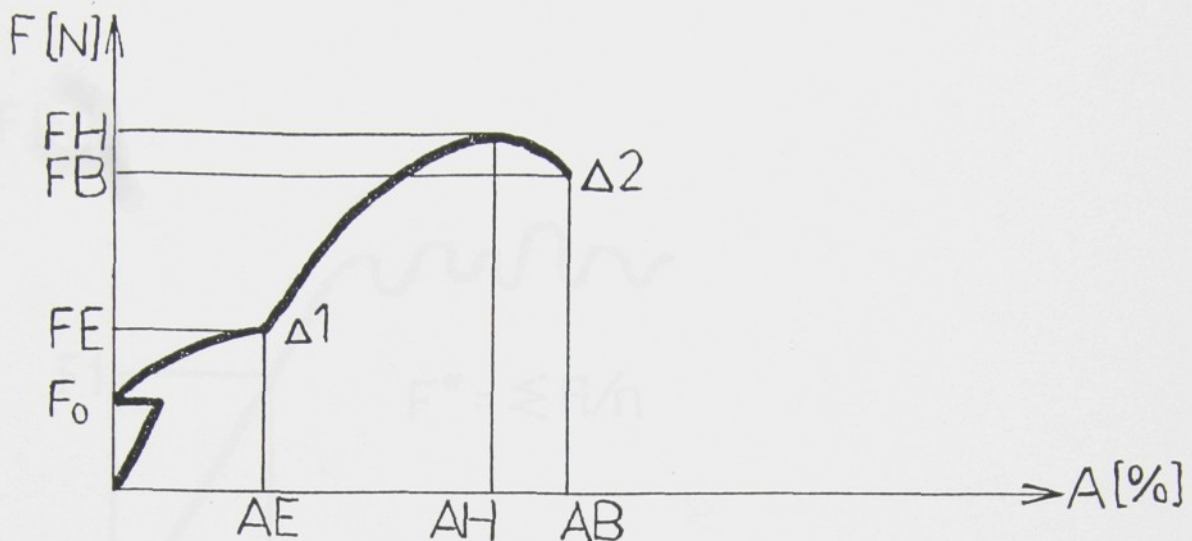
Štandardná skúška pre skúšanie textilu a papiera

Skúška d'alšieho roztrhnutia

(počet stran 2)

Štandardná skúška pre skúšanie textilu a papiera.

T1 (ATP 1)



IN : DAT 1- 4: vstupné data

OUT : NR : bežné číslo skúšky

DIV : 0 pred číslom (tex) - N/tex

TH: doba roztrhnutia v S

1 hodnoty v N

FE: sila prvého roztrhnutia (narušenie) v N

LO: upínacia dĺžka

FB: sila roztrhnutia v N

FO: predpätie v N

FH: maximálna sila v N

1: pokles prvej sily roztrhnutia v N - sklz

AE: pretiahnutie pri sklze v %

2: pokles sily roztrhnutia v N

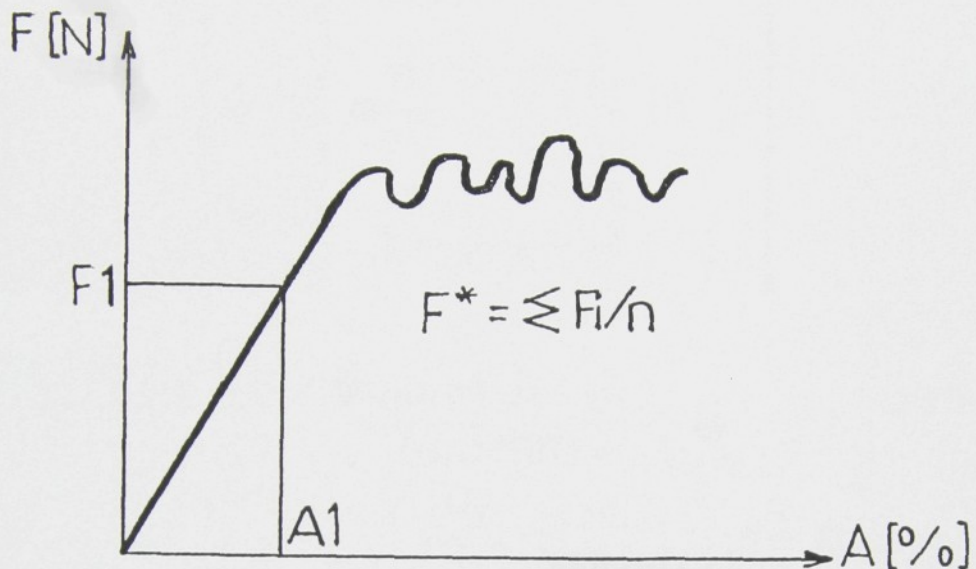
AH: pretiahnutie pri max. sile v %

AB: pretiahnutie pri sile roztrhnutia v %

U tohto programu sa pri dosiahnutí predpäťia FO skoriguje zadaná dĺžka upnutia LO o veľkosť zmeny dĺžky, ku ktorej až do tohto okamžiku dôjde. Keď dôjde k poklesu sily, ktorá je väčšia ako zadaný pokles sily 1, potom to počítač interpretuje, ako dosiahnutie sily prvého roztrhnutia a vypočíta príslušnú hodnotu roztriahnutia. Keď po novom vzostupe sily dôjde k ďalšiemu poklesu sily, ktorý je rovnaký alebo väčší ako zadaná hodnota 2, je dosiahnuté roztrhnutie vzorku a vypočíta sa sila roztrhnutia a tāžnosť. Keď platí, že 2 je väčšie ako FH - potom sa pre FB a AB určí hodnota 0. Najväčšiu silu, ku ktorej dôjde behom skúšky ľahom - max. pevnosť - a príslušná hodnota pretiahnutia - max. pretiahnutie - potom počítač uloží do pamäti. Mimo to počítač zistí dobu od začiatku skúšky ľahom až po dosiahnutie max. sily.

Skúška d'alšieho roztrhnutia .

T 6 (ATP 6)



IN : DAT : (1-4) vstupné data

DIV : 0 pred číslom tex - N/tex

1 hodnoty v N

≠ 1 hodnoty v N/mm

L0 : upínacia dĺžka v mm

AL : hodnota pretiahnutia v % - po dosiahnutí AL dôjde k vytvoreniu strednej hodnoty F

OUT : NR : číslo skúšky

F1 : hodnota sily v N pri dosiahnutí AL

F : stredná hodnota v N

NUTNO MANUÁLNE PRERUŠIŤ PRIEBEH SKÚŠKY.

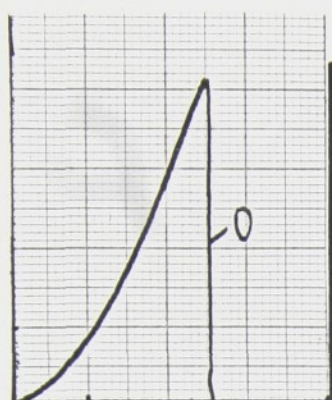
Keď sa u tohto programu dosiahne zadané vziažné preťaženie AL, určí sa príslušná hodnota sily. Po dosiahnutí vziažného preťaženia sa zistia a spočítajú aktuálne hodnoty sily F_1 až užívateľ zastaví pohon stisknutím tlačítka STOP. Po ukončení skúšky t'ahom sa suma týchto hodnôt sily delí počtom nameraných hodnôt a tým sa F určí ako aritmetická stredná hodnota hodnôt sily.

PRÍLOHA 5

Vzor výpočtu adhéznej práce

(počet stran 1)

VZOROVÝ VÝPOČET DEFORMAČNEJ PRÁCE :



DAT1=	14
NR	0
TH	3.1600s
FE	332,2N
FB	300,8N
FH	332,2N
AE	21%
AH	21%
AB	21,25%

m_y [mm/N]: z grafu na ose y
41,5 mm

zistené z výsledkov
332,2 N

$$m_y = \frac{41,5}{332,2} = 0,125 \text{ mm/N}$$

1N

m_x [mm/m]: z grafu na ose x

25 mm

zistené z výsledkov

21%

upínacia dĺžka

40 mm

21% zo 40mm = 16,2mm

$$m_x = \frac{1000 \cdot 25}{84} = 2976,2 \text{ mm/m}$$

1000mm

DEFORMAČNÁ PRÁCA :

$$A[J] = \frac{S[\text{mm}^2]}{m_x[\text{mm/m}] \cdot m_y[\text{mm/N}]}$$

$$A = \frac{8}{0,125 \cdot 2976,2} = 0,0215 = 215 \cdot 10^2 \text{ J}$$

Prohlášení

Jsem si vědom/a toho, že diplomová práce je majetkem školy, že s ní nemohu sám /sama/ bez svolení školy disponovat a že může být zapůjčena či objednána za účelem využití jejího obsahu.

Beru na vědomí, že po pěti letech si mohu diplomovou práci vyžádat v Univerzitní knihovně Technické univerzity v Liberci, kde je uložena. Pokud tak neučiním, bude po pěti letech skartována.

Dřávornková

podpis

Jméno a příjmení ALENA DŘAVORNKOVÁ

Adresa stálého bydliště P. NÁYA 491/2 099 01 SVIČNÉ, SR